



17-168

АЗӘРБАЙЧАН ССР ЕЛМЛӘР АКАДЕМИЯСЫ
АКАДЕМИЯ НАУК АЗЕРБАЙДЖАНСКОЙ ССР

МӘРҮЗӘЛӘР ДОКЛАДЫ

ТОМ 11. ЧИЛД

1977 • 11

ЛИФЛӘР ҮЧҮН ГАЈДАЛАР

УВАЖАЕМНЫ ЧИТАТЕЛЬ !

Просмотрев издание,
укажите номер
читательского билета
и код категории
читателя.

(Пример: 325/3Е1)

Академијасыны Мә'рүззәләриңдә нәзәри вә тәчрүби арын тамамланмыш вә һәлә дәрч едилмәмиш иетичә-чап олунур.

Биртә бир нечә айры-айры мә'лumatlar шәклини салын-фактики мә'лumatлардан мәһирам мубаһис хәрактерли

умијәшдирмәләрсиз көмәкчи тәчрүбәләри тәсвириң-исниал, тәсвири вә ичмал хәрактерли ишләр, төвсүе-лмајан сырф методик мәгаләләр, һабелә битки вә һеј- (елм үчүн хүсуси әһәмијәтә малик тапыштыларын тәс-р дәрч едилмир.

А мәгаләләр һәмни мә'лumatларын даһа көниш шәкиндә

үчүн мүэллифин һүгүгүнү әлиңдөн алмыр.

асына дахил олан мәгаләләр јалиыз ихтирас үзәр бир

и соира редаксија һеј'ети тәрәфиңдән нәзәрдән кечири-дән чох олмамаг шәртилә мәгәләләр тәгдим едә биләр.

Академијасыны мүхбір үзвіләри мәгаләләрни тәгди-

ханиш едир ки, мәгаләләрни тәгдим едәркән онларын

и, һабелә мәгаләнин јерләшдириләчәни белмәнин ады-

илиф илә 3 магалә дәрч етдири биляр.

Э дә дахил олмагла, мүэллиф вәргәенин дөрдә бирин-насында јазылмыш 6—7 сәнифә һәчминде (10000 чап р.

ис дилиндә хұласәси олмалыдыр; бундан башга, Азәр-ләрә, рус дилиндә хұласә әлавә едилмәлидир. Рус ди-Азәрбајчан дилиндә хұласәси олмалыдыр.

Итеп ишишин јеринә јетирилди елми идарәнин ады вә

стәрілмәлидир.

Іан тәдигигат ишләринин иетичәләринин дәрч олунмасы

үнүн ичәзеси олмалыдыр.

дахил олмагла) вәрәгенин бир үзүндә ики хәтт ара бу-едилмәли вә ики нұсхә тәгдим едилмәлидир. Дүстур-

м дә бейүк һәрфләрни алтындан, кичикләрни иса үс-жекилмәлидир; юнаш әлифбасы һәрфләрни гырмызы

әдебијат сәнифәнин ахырында чыхыш шәклиндә де-амилијасына көрә) мәгаләнин сонунда мәтидәки

ијаһы үзәр верилмәлидир. Эдебијатын сијаһысы

ири:

иилијасы вә инициалы, китабын бүтөв ады, чил-и или;

мәгаләләр үчүн: мүэллифин фамилијасы вә ини-циалыннан ады, чилд, бурахылыш, иешр олундуғу

илифин фамилијасы вә инициалы, мәгаләнин адь, ылыш), сәнифә көстәрілмәлидир.

Ітлар вә елми идарәләрдә саҳланан диссертасија-газ.

Іүэллифин фамилијасы, мәгаләнин адь вә шәклини азылмыш шәкилалты сөзләр айрыча вәрәгдә тәг-

чификасија олунмуш оннинлик тәснифат үзәр мә-фератив журнал» үчүн реферат әлавә етмәли.

Ик материалларда вә мәгаләнин мәтиннән бу-шо жол вермәмәлидирләр.

Үчүн иетичәләр јалиыз зәзури һалларда ве-

ни едилдикдә онларын дәрчедилмә ардычыллы.

І гајда олараг, мүэллифләрә көндәрилми. Кор-

ынаг мәтбәе сәһивләрни дүзәлтмәк олар.

Іраг мәгаләнин 15 нұсхә айрыча оттискини верир.

Писать разборчиво

M-168

Цифр

7/4/1

МӘРҮЗӘЛӘР ДОКЛАДЫ

ТОМ XXXIII ЧИЛД

11

«ВЛМ» НӘШРИЈАТЫ-ИЗДАТЕЛЬСТВО «ВЛМ»
БАКЫ-1977-БАКУ



РЕДАКЦИОННАЯ КОЛЛЕГИЯ:

Г. Б. Абдуллаев (главный редактор),
 Ал. А. Ализаде, Г. А. Алиев, В. Р. Волобуев, Г. Г. Гасанов,
 Дж. Б. Гулиев, Н. А. Гулиев, А. И. Гусейнов, М. З. Джафаров,
 Ю. М. Сендов (зам. главного редактора), Г. Ф. Султанов,
 А. С. Сумбатзаде, М. А. Топчибашев, Т. Н. Шахтахтинский,
 Г. Г. Зейналов (ответств. секретарь).

УДК 518:513.88

МАТЕМАТИКА

Р. А. ШАФИЕВ

ФОРМУЛЫ ДЛЯ ВЫЧИСЛЕНИЯ ПСЕВДООБРАТНОГО ОПЕРАТОРА

(Представлено академиком АН Азербайджанской ССР А. И. Гусейновым)

1. Понятие псевдообратного оператора [1] находит приложения в различных разделах математики и, прежде всего, в численном анализе. Важность этого понятия стимулировало появление ряда работ (см., например, [2]—[4]), посвященных методам вычисления псевдообратного оператора, но главным образом псевдообратной матрицы.

В настоящей работе предлагается один подход получения формул для псевдообратного оператора к нормально разрешимому оператору $A \in L(X, Y)$, где X и Y —гильбертовы пространства. Идея этого метода состоит в том, что в формуле

$$A^+ = (A^* A)^+ A^* \quad (1)$$

(для матриц формула (1) получена в [5]) вместо $(A^* A)^+$ используется обратимое расширение оператора $A^* A$, рассмотренного на $R(A^*)$. Естественно, таких расширений существует бесчисленное множество, и, вообще говоря, любое из них пригодно для нашей цели.

Иногда удобно исходить из формулы

$$A^+ = A^* (A A^*)^+ \quad (2)$$

и заменять $(A A^*)^+$ обратимым расширением оператора $A A^*$, рассмотренного на $R(A)$.

В общем случае получены формулы, требующие для своей реализации нахождения проектора на ядро или коядро оператора. В частных случаях информация о ядре не нужна.

2. Условимся обозначать через $N(U)$ и $R(U)$ ядро и область значений оператора U соответственно, $P_{N(U)}$ —проектор на $N(U)$.

Лемма 1. *Операторы*

$$G_\tau = \tau P_{N(A)} + A^* A, \quad G_\tau = \tau P_{N(A^*)} + A A^*, \quad \forall \tau \neq 0, \quad (3)$$

обратимы.

Доказательство. Очевидно $G_\tau \in L(X)$. Пусть $G_\tau x = 0$, но $x \neq 0$. Тогда $x = x_1 + x_2$, где $x_1 \in N(A)$, $x_2 \in N(A)^\perp = R(A^*)$ ([6], стр. 435), и

$$G_{\tau}x = \tau P_{N(A)}x + A^*Ax = \tau x_1 + A^*Ax_2.$$

Так как $\tau x_1 \in N(A)$, $A^*Ax_2 \in R(A^*)$, то из $G_{\tau}x = 0$ следует $x_1 = 0$, $A^*Ax_2 = 0$. Но оператор A^*A на $R(A^*)$ взаимнооднозначен, следовательно, $x_2 = 0$, и пришли к противоречию.

Пусть теперь $z \in X$ произвольный вектор. Так как $z = z_1 + z_2$, где $z_1 \in N(A)$, $z_2 \in R(A^*)$, то очевидно, прообразом элемента z является вектор

$$x = \frac{1}{\tau}z_1 + (A^*A|_{R(A^*)})^{-1}z_2.$$

В самом деле, ввиду $\frac{1}{\tau}z_1 \in N(A)$, $(A^*A|_{R(A^*)})^{-1}z_2 \in R(A^*)$

$$G_{\tau}x = \tau P_{N(A)}\left(\frac{1}{\tau}z_1\right) + A^*A(A^*A|_{R(A^*)})^{-1}z_2 = z_1 + z_2 = z.$$

Таким образом, $N(G_{\tau}) = \{0\}$ и $R(G_{\tau}) = X$, следовательно, на основании теоремы Банаха оператор G_{τ} имеет на X ограниченный обратный. Аналогично доказывается обратимость на Y оператора G_{τ} .

Теорема 1. Справедливы формулы

$$A^+ = G_{\tau}^{-1}A^* = A^*\tilde{G}_{\tau}^{-1}, \quad \forall \tau \neq 0. \quad (4)$$

Доказательство. Из (3) видно, что сужения операторов G_{τ} при $\forall \tau \neq 0$ и A^*A на подпространство $R(A^*)$ совпадают. Значит оператор G_{τ}^{-1} , рассмотренный на $R(A^*)$, при $\forall \tau \neq 0$ совпадает с $(A^*A|_{R(A^*)})^{-1}$ и, следовательно, с $(A^*A)^+$. Теперь равенство $A^+ = G_{\tau}^{-1}A^*$ вытекает из (1). Аналогично из (2) следует формула $A^+ = A^*\tilde{G}_{\tau}^{-1}$, ч. т. д.

Заметим, что удачный выбор числа τ может упростить вычисления. Отметим также, что для матриц формула, подобная первому равенству в (4), получена в [7] из других соображений.

Следствие 1. Если $N(A) = \{0\}$, то оператор A^*A обратим и

$$A^+ = (A^*A)^{-1}A^*$$

Следствие 2. Если $N(A^*) = \{0\}$, то оператор AA^* обратим и

$$A^+ = A^*(AA^*)^{-1}$$

При выполнении условий следствия I пространство X можно считать произвольным банаховым, а в условиях следствия 2-произвольным банаховым пространство Y [8].

3. Пусть X — μ -мерное, а Y — ν -мерное вещественные евклидовые пространства векторов-столбцов. Очевидно, всякий оператор $A \in L(X, Y)$ является нормально разрешимым и определяется прямоугольной $\nu \times \mu$ -матрицей:

$$\|a^1 a^2 \dots a^{\mu}\|. \quad (5)$$

где a^j ($j = 1, \dots, \mu$) — ν -мерный вектор. Пусть матрица (5) имеет ранг $r \leqslant \min(\mu, \nu)$. Не нарушая общности, можно предположить, что выполнено условие: невырожденный минор r -го порядка матрицы (5) расположен в левом верхнем углу.

Если матрица не удовлетворяет этому условию, то ее предварительно следует преобразовать с помощью матриц перестановки к нужному виду. После нахождения псевдообратной матрицы следует сделать обратную перестановку строк и столбцов.

Обозначим через b^k коэффициенты разложения вектора a^k ($k = -r+1, \dots, \mu$) через базисные векторы матрицы (5) ([9], стр. 28).

Легко видеть, что $R(A^*) = \{x \in X : x = (x_1, \dots, x_r, \sum_{i=1}^{r+1} b_i^{r+1} x_i, \dots, \sum_{i=1}^{\mu} b_i^{\mu} x_i)^T\}$.

Введем в рассмотрение матрицу

$$\begin{vmatrix} (a^1, \bar{a}^1) & \dots & (a^1, \bar{a}^r) & 0 & \dots & 0 \\ \dots & \dots & \dots & \dots & \dots & \dots \\ (a^r, \bar{a}^1) & \dots & (a^r, \bar{a}^r) & 0 & \dots & 0 \\ (a^{r+1}, \bar{a}^1) - b_1^{r+1} \dots & (a^{r+1}, \bar{a}^r) - b_r^{r+1} & 1 & \dots & 0 \\ \dots & \dots & \dots & \dots & \dots & \dots \\ (a^{\mu}, \bar{a}^1) - b_1^{\mu} & \dots & (a^{\mu}, \bar{a}^r) - b_r^{\mu} & 0 & \dots & 1 \end{vmatrix}, \quad (6)$$

где вектор $\bar{a}^m = a^m + \sum_{l=r+1}^{\mu} b_l^m a^l$, (\dots) — скалярное произведение,

Лемма 2. Оператор $G \in L(X, Y)$, определенный матрицей (6), обратим.

Доказательство. Определитель матрицы (6) равен

$$\det \begin{vmatrix} (a^1, \bar{a}^1) & \dots & (a^1, \bar{a}^r) \\ \dots & \dots & \dots \\ (a^r, \bar{a}^1) & \dots & (a^r, \bar{a}^r) \end{vmatrix} \quad (7)$$

Если предположить, что (7) равен нулю, то отсюда будет следовать, что определитель Грама базисных векторов a^1, \dots, a^r равен нулю, а это противоречит их линейной независимости, ч. т. д.

Теорема 2. Справедлива формула

$$A^+ = G^{-1}A^* \quad (8)$$

Доказательство. Непосредственными вычислениями можно убедиться, что на векторах $x \in R(A^*)$, $A^*Ax = Gx$. Следовательно, оператор G^{-1} , рассмотренный на $R(A^*)$ совпадает с $(A^*A)^+$. Формула (8) теперь следует из (1), ч. т. д.

4. В качестве примера рассмотрим применение формул (3)–(4) к оператору $A \in L(X)$, для которого при некотором $\alpha \neq 0$ выполнено условие

$$A^{*2} = \alpha A^*. \quad (9)$$

Лемма 3. Оператор

$$G_{\tau} = \tau \left(I - \frac{1}{\alpha} A^* \right) + A^*A \quad (10)$$

обратим.

Доказательство. В силу (9) $\left(\frac{1}{\alpha} A^*\right)^2 = \frac{1}{\alpha} A^*$, следовательно, $\frac{1}{\alpha} A^*$ — оператор проектирования X на $R(A^*)$. Переписав условие (9)

в виде $\frac{1}{\alpha}A^*\left(I - \frac{1}{\alpha}A^*\right) = 0$, находим, что $I - \frac{1}{\alpha}A^* = P_{N(\lambda)}$. Теперь согласно лемме I оператор (10) обратим, ч. т. д.

Замечание. Если оператор A имеет вид $A = \lambda I - K$, то G_α наиболее прост при $\tau = \alpha\lambda$, при этом $G_{\alpha\lambda} = \alpha I - A^*K$. Если A удовлетворяет (9) и самосопряжен, то $G_{\alpha\lambda} = \alpha^2 I$.

Любая особенная симметричная матрица второго порядка удовлетворяет условию (9) при $\alpha = a_{11} + a_{22}$. Другим примером может служить следующий линейный интегральный оператор в $L_2(0,1)$:

$$A = \frac{1}{4} - \int_0^1 ts^2(\cdot) ds \quad (11)$$

Оператор (11) удовлетворяет условию (9) при $\alpha = \frac{1}{4}$. В силу леммы 3 оператор $G_{\alpha\lambda} = \frac{1}{16} - \frac{1}{12} \int_0^1 t(3 - 4t)s^2(\cdot) ds$ обратим. Пользуясь формулой (4), находим

$$A^+ = 4 - 12 \int_0^1 ts(\cdot) ds + 5 \int_0^1 t(3 - 4t)s^2(\cdot) ds.$$

Литература

1. Desoer C. A., Whalen B. H. J. SIAM, 1963, 11.
2. Ben-Israel A., Charnes A., там же.
3. Petryshyn W. V. J. Math. Anal. and Appl., 1967, 18.
4. Katz J. Linear Algebra and Appl., 1972, 5, № 1.
5. Penrose R. Proc. Cambridge Phil. Soc., 1955, 51, Part. 3.
6. Канторович Л. В., Акилов Г. П. Функциональный анализ в нормированных пространствах. Физматгиз, 1959.
7. Турбин А. Ф. Ж. Вычисл. матем. и матем. физ., 1974, 14, № 3.
8. Шафиев Р. А. Изв. АН Азерб. ССР, серия физ.-матем., 1976, № 5.
9. Ефимов Н. В., Розендорф Э. Р. Линейная алгебра и многомерная геометрия. Наука, 1970.

Институт математики и механики

Поступило 1.III 1977

Р. А. Шафиев

ҮМУМІЛӘШМІШ ТӘРС ОПЕРАТОРЫ ҢЕСАБЛАМАГ ҮЧҮН ДҮСТУРЛÄР

Мәғаләдә үмумиләшмиш тәрс операторы ңесабламаг үчүн дүстурлар тапталыштырылды. Сонында оператор нұласында мәлumatдан истифада олунмур.

R. A. Shafiev

FORMULAE FOR PSEUDO-INVESRE OPERATOR COMPUTING

In the paper there are discovered formulae for pseudo-inverse operator computing to normally decidable operator from one Hilbert space into another.

In the finite-dimensional case the formula doesn't use an information about the operator kernel.

Г. Н. АГАЕВ, В. С. ГАМИДОВ

О ПРИБЛИЖЕННОМ РЕШЕНИИ ОДНОГО ЛИНЕЙНОГО ИНТЕГРАЛЬНОГО УРАВНЕНИЯ В ПРОСТРАНСТВЕ АНАЛИТИЧЕСКИХ ФУНКЦИЙ

(Представлено академиком АИ Азербайджанской ССР А. И. Гусейновым)

В данной работе проекционный метод применяется для решения линейного интегрального уравнения в пространстве аналитических функций и доказывается устойчивость этого метода.

Пусть E пространство Фреше с базисом, топология которого определяется счетной системой полунонорм $\{P_n\}$ ($n \in N$) и T линейный компактный оператор, действующий в E (оператор, действующий в E называется компактным, если существует по крайней мере одна окрестность нуля в E , которую он переводит в относительно компактное множество).

Рассмотрим уравнения:

$$u - Tu = f \quad (1)$$

$$(J - Q_m T)u_m = Q_m f \quad (2)$$

$$[(J - Q_m T) - \Gamma_m]v_m = Q_m f - \delta_m, \quad (3)$$

где Q_m — проекционный оператор вида $Q_m(u) = \sum_{i=1}^m L_i(u)\varphi_i$, L_i — элемент сопряженного пространства E^* , причем $L_i(\varphi_i) = \begin{cases} 0, & i \neq i \\ 1, & i = j \end{cases}, \{\varphi_i\}_{i=1,2,\dots}$ — ба-

зис пространства E , $Q_m(E) = E_m$, Γ_m — линейный ограниченный оператор, действующий в E_m (оператор, действующий в E , называется ограниченным, если существует по крайней мере одна окрестность нуля в E , которую он переводит в ограниченное множество), $\delta_m \in E_m$.

Рассмотрим такую окрестность нуля

$$V_{r_m} = \{x \in E_m : p_{n_0}(x) \leq 1\}, \text{ что } \Gamma_m(V_{r_m})$$

было ограничено.

$$\Gamma_m \rightarrow p_n(\Gamma_m) = \text{supp}_n[\Gamma_m(x)]$$

Дадим следующее

Определение 1. Если уравнения (1), (2) однозначно разрешимы, $u_m \rightarrow u$ и для любого $p_n \in [p_m]$ существуют такие независимые от t постоянные d_n, c_n, r_n , что при $p_n(\Gamma_m) \leq r_n$ и любых δ_m уравнения (3) разрешимы и справедливо неравенство

$$p_n(v_m - u_m) < d_n v_n(\Gamma_m) + c_n p_n(\delta_m),$$

где u, u_m, v_m соответственно решения уравнений (1), (2), (3), то будем говорить, что уравнение (1) проекционным методом устойчиво разрешимо.

Из результатов [1] вытекает следующая

Теорема 1. Если уравнение (1) однозначно разрешимо при любой правой части из E , то оно проекционным методом устойчиво разрешимо.

Применим теорему 1 для приближенного решения уравнения

$$F(z) - \frac{1}{2\pi i} \int_{|t|=\rho} K(z, t) F(t) dt = G(z), \quad (4)$$

где $G(z)$ любая однозначная аналитическая функция в единичном круге и $K(z, t)$ удовлетворяет условиям

1) $K(z, t)$ регулярна при $|z| < \rho, |t| > \rho, \rho_1 \leq \rho < 1; \rho_1 > 0$;

$$2) K(z, t) = \sum_{n=0}^{\infty} \frac{z^{n+1}}{t^{n+1}} k_n(z), \quad k_n(z) = \sum_{m=0}^{\infty} \epsilon_{n,m} z^m;$$

$$3) \lim_{n \rightarrow \infty} \sum_{m=0}^{\infty} |\epsilon_{n,m}| \rho^{m+1} = \theta(\rho), \quad \theta(\rho) < 1 \text{ при } \rho < 1.$$

Введем пространство аналитических однозначных функций в круге $O = |t| < 1$ комплексной плоскости.

Пусть $O_1 \subset O_2 \subset \dots \subset O_n \subset \dots$ последовательность кругов с радиусами $0 < \rho_1 \leq \rho_2 \leq \dots \leq \rho_n \leq \dots$ таких, что $\rho_n \xrightarrow{n \rightarrow \infty} 1$.

Последовательность полунорм введем по формуле

$$P_n(F) = \max_{t \in O_n} |F(t)|, \quad (n = 1, 2, \dots),$$

где $F(t)$ любая однозначная аналитическая функция в единичном круге. Полученное пространство обозначим через $H(O)$. Известно, что пространство $H(O)$ является пространством Фреше и всякую функцию $F \in H(O)$ можно разложить в ряд $F(t) = \sum_{n=0}^{\infty} a_n t^n$, равномерно сходящийся на любом замкнутом круге O_n , лежащем в круге O , и при этом единственным образом, т. е. $\{t^n\}_{n=1,2,\dots}$ будет базисом в пространстве $H(O)$.

Если вместо круга O взять односвязную область D и топологию ввести аналогичным образом, то пространство $H(D)$ будет обладать всеми перечисленными свойствами пространства $H(O)$, т. е. оно будет

пространством Фреше с базисом, в частности система $\{\varphi(t)\}_{n=1,2,\dots}$, где $\varphi(t)$ — любая функция, взаимно однозначно и компактно отображающая D на единичный круг, образует базис в $H(D)$ (см. [2]).

Для исследования разрешимости уравнения (4) проекционным методом перепишем его в следующем виде

$$F - TF = G,$$

$$\text{где } T(\cdot) = \frac{1}{2\pi i} \int_{|t|=\rho} K(z, t)(\cdot) dt.$$

Так как пространство $H(O)$ содержит базис, то можно построить

проекционный оператор вида $Q_m(F) = \sum_{l=1}^m L_l(F) \varphi_l$, где L_l элемент со-

пряженного пространства $H^*(O)$ и

$$L_l(\varphi_j) = \delta_{lj} = \begin{cases} 0, & l \neq j \\ 1, & l = j \end{cases}.$$

Учитывая результаты [3], можно конкретизировать общий вид линейного функционала $L \in H^*(O)$, т. е.

$$L(F) = \frac{1}{2\pi i} \int_{|t|=\rho} F(t) \psi(t) dt,$$

где контур $|t|=\rho$ выбран так, чтобы $F(t)$ была аналитическая внутри $|t|<\rho$ и на $|t|=\rho$, а $\psi(t)$ вне $|t|\leq\rho$ и на $|t|=\rho$, причем $\psi(t) \in H(CO)$, CO — дополнение к O .

Проекционное уравнение, соответствующее уравнению (4), будет иметь следующий вид

$$F_m - Q_m T F_m = Q_m G$$

Последнее уравнение будем решать в пространстве $Q_m[H(O)] \equiv H_m(O)$.

Докажем, что оператор T является компактным в $H(O)$. Так как $H(O)$ является монтельевским пространством, то для доказательства компактности оператора T достаточно показать его ограниченность.

Рассмотрим окрестность нуля

$$U_{k_0} = \{F \in H(O) : P_{k_0}(F) = \max_{Z \in O_{k_0}} |F(Z)| \leq 1\},$$

где k_0 таково, что $\rho_{k_0} \gg \rho$.

Для $\forall F \in U_{k_0}$ имеем, что

$$P_n(TF) = \max_{Z \in O_n} \left| \frac{1}{2\pi i} \int_{|t|=\rho} K(Z, t) F(t) dt \right| \leq \max_{Z \in O_n} \left| \frac{1}{2\pi i} \int_{|t|=\rho} |K(Z, t)| |F(t)| dt \right| \leq$$

$$\leq \frac{1}{2\pi} C_n \cdot 2\pi \rho \cdot \max_{t \in (|t|=\rho)} |F(t)| \leq C_n,$$

где $C_n = \max_{(z,t) \in O_n \times (|t|=p)} |K(z,t)|$.

Следовательно, оператор

$$T(\cdot) = \frac{1}{2\pi} \int_{|t|=p} K(z,t)(\cdot) dt$$

в пространстве $H(O)$ является линейным компактным оператором. Далее, учитывая, что при условиях 1)–3) уравнение (4) имеет однозначное решение из $H(O)$ (см. [2]), на основании теоремы 1 заключаем, что уравнение (4) проекционным методом устойчиво разрешимо.

Следует отметить, что полученные результаты могут найти конкретное применение при приближенном решении задач теории упругости (см. [4]).

Литература

- Гамидов В. С. О сходимости и устойчивости проекционного метода в сепаральном пространстве Фреше с базисом. Депонировано в ВИНИТИ № 377—75, стр. 15.
- Евграфов М. А. Метод близких систем в пространстве аналитических функций и его применения к интерполяции. ТММО, т. 5, 1956.
- Маркушевич А. И. О базисе в пространстве аналитических функций. Матем. сб., т. 17, № 2, 1945.
- Мусхелишвили Н. И. Некоторые основные задачи математической теории упругости. М., 1966.

Институт математики
и механики

Поступило 25. V 1977

Н. Н. Агаев, В. С. Гамидов

АНАЛИТИК ФУНКСИЯЛАР ФӘЗАСЫНДА БИР ХӘТТИ ИНТЕГРАЛ ТӘНЛИЈИН ТӘГРИБИ ҺӘЛЛИ ҺАГГЫНДА

Мәгаләдә аналитик функциялар фәзасында проексија үсулу илә иккичи нөв хәтти интеграл тәнлик тәгриби һәлл олуныш вә үсулун дајаныглығы исбат едилмишdir.

G. N. Agaev, V. S. Gamidov

ON APPROXIMATE SOLUTION OF ONE LINEAR INTEGRAL EQUATION IN THE SPACE OF ANALYTICAL FUNCTIONS

In the paper the linear integral second genus equation is determined in the space of analytical functions by the projective method and it is proved the stability of this method.

УДК 512. 7513. 8

МАТЕМАТИКА

РАГА МУХАММЕД БАХА ЭЛЬ-ДИН АГАМИ

БЛИЗОСТНЫЕ И РАВНОМЕРНЫЕ БУЛЕВЫ АЛГЕБРЫ

(Представлено академиком АН Азербайджанской ССР А. И. Гусейновым)

Минакши [2] ввел и исследовал близостные алгебры как булевые алгебры с отношением близости. Привлекая конструкцию полигонального произведения булевых алгебр М. Р. Бунятов ввел равномерные булевые алгебры.

Естественно, возникает вопрос о связи этих двух структур на булевых алгебрах.

Цель данной работы — исследование связи между близостными и равномерными булевыми алгебрами.

Для этого предварительно мы вводим понятие равномерной булевой алгебры по Ю. М. Смирнову, являющееся булевым обобщением аксиоматики Ю. М. Смирнова равномерных пространств.

При этом мы приходим к двум неэквивалентным структурам на булевых алгебрах, следуя терминологии и обозначениям работы [1]. Open S — множество всех открытых элементов булевой алгебры S , $\bigcup \lambda \in \Sigma(S)$, $S(\lambda)$ — подалгебра алгебры S , порожденная множеством λ . Cov(S) — множество всех открытых покрытий единицы булевой алгебры S , т. е. Cov(S) = { $u \subset S$ / $\forall u = 1, u \subset \text{open } S$ }

$$\text{Cov}_s(\lambda) = \{u \in \text{Cov}(S) \mid u \subset S(\lambda)\}$$

$$\text{Cov}_s(S) = \bigcup \{\text{Cov}_s(\lambda) \mid \lambda \in \Sigma(S)\}$$

Лемма 1. 1) $\lambda < \mu \Rightarrow \text{Cov}_s \lambda \subset \text{Cov}_s \mu$

$$2) \forall \lambda, \mu \in \Sigma(S) \text{ Cov}_s \lambda \wedge \text{Cov}_s \mu \subset \text{Cov}_s (\lambda \wedge \mu)$$

$$3) \text{Cov}_s(S) \wedge \text{Cov}_s(S) \subset \text{Cov}_s(S)$$

$$4) \text{для каждого полного булевого гомоморфизма } f: S \rightarrow S'$$

$$f(u) \in \text{Cov}_s, (f[\lambda]), \forall u \in \text{Cov}_s \lambda,$$

$$5) f(\text{Cov}_s(S)) \subset \text{Cov}_s(S')$$

Определение 1. Равномерной структурой на булевой алгебре S (по Смирнову) называется множество $\pi \subset \bigcup \text{Cov}_s \lambda$, удовлетворяющее условиям:

L 1) если покрытие $\alpha \in \pi$ вписано в покрытие $\beta \in \text{Cov}_s(S)$, то $\beta \in \pi$;

L 2) произведение $\alpha \wedge \beta$ любых двух покрытий $\alpha, \beta \in \pi$ также принадлежат π ;

L.3) $\forall \alpha \in \text{Cov}(\lambda) \cap \exists \beta \in \text{Cov}(\lambda) \text{ st}_\beta \lambda > \alpha$,
где $\text{st}_\beta \lambda = \{\text{st}_\beta x | x \in \lambda\} \in \text{Cov}(\lambda)$, $\text{st}_\beta x = \bigcup_{x \in \beta} \Gamma_x | \Gamma_x \setminus x = x$

Определение 2. Пусть (S_1, π_1) и (S_2, π_2) —две равномерные булевы алгебры по Смирнову. Булев гомоморфизм $f: S_1 \rightarrow S_2$ называется морфизмом структур Смирнова, если: $f(\alpha) \in \pi_2 \quad \forall \alpha \in \pi_1$, где $f(\alpha) = \{f(x) | x \in \alpha\}$.

Построим категорию Bool Sm . Объекты этой категории являются равномерными булевыми алгебрами по Смирнову, морфизмы этой категории являются морфизмами структур Смирнова, композиция морфизмов определяется обычным образом.

Теорема 1. Пусть (S, π) —равномерная булева алгебра по Смирнову и для каждого разбиения единицы $\lambda \in \Sigma(S)$, $\pi_\lambda = \pi \cap \text{Cov}_S \lambda$. Тогда: (i) $\forall \lambda \in \Sigma(S)$, π_λ есть равномерная структура по Смирнову в λ и для любых $\lambda < \mu \in \Sigma(S)$ отображение $(P_\mu^\lambda)^* 2^\lambda \rightarrow 2^\mu$ является изоморфизмом структур Смирнова (где P_μ^λ)* есть булев гомоморфизм, индуцированный отображение P_μ^λ).

(ii) Равномерная булева алгебра (S, π) изоморфна с булевским индуктивным пределом семейства $\{(2^\lambda, \pi_\lambda), P_\mu^\lambda | \lambda < \mu \in \Sigma(S)\}$
 $(S, \pi) = \lim_{\lambda \in \Sigma(S)} \text{Ind}(2^\lambda, \pi_\lambda)$.

Доказательство. Мы покажем, что π_λ удовлетворяет аксиомам Смирнова для равномерных пространств [4]:

$$C_1) \alpha \in \pi_\lambda \rightarrow \alpha \in \pi, \beta \in \text{Cov}_S \lambda, \alpha > \beta \stackrel{L_1}{\rightarrow} \beta \in \pi \quad \beta \in \pi_\lambda.$$

$$C_2) \alpha \in \pi_\lambda, \beta \in \pi_\lambda \rightarrow \alpha, \beta \in \pi \stackrel{L_1}{\rightarrow} \alpha \wedge \beta \in \pi \rightarrow \alpha, \beta \in \pi_\lambda.$$

$$C_3) \alpha \in \pi_\lambda \rightarrow \alpha \in \text{Cov}_S \lambda \rightarrow \exists \beta \in \text{Cov}_S \lambda \cap \pi, \text{st}_\beta \lambda > \alpha$$

Легко доказать, что семейство булеанов $\{2^\lambda\}, \lambda \in \Sigma(S)$ относительно семейства морфизмов $\{(P_\mu^\lambda)^*\}, \lambda \in \Sigma(S), \lambda < \mu$ образуют прямой спектр булевых алгебр. Для того, чтобы доказать, что $(P_\mu^\lambda)^*$ морфизм структур Смирнова, необходимо, чтобы для каждого $\alpha \in \pi_\lambda$ $(P_\mu^\lambda)^*(\alpha) \in \pi_\mu$. Но это ясно из леммы 1(I). $((2^\lambda, \pi_\lambda), (P_\mu^\lambda)^*)$ прямой спектр равномерных по Смирнову булевых алгебр $(S, \pi) = \lim_{\lambda \in \Sigma(S)} \text{Ind}(2^\lambda, \pi_\lambda)$.

Обозначим категорию всех равномерных пространств Вейля и их равномерных непрерывных гомоморфизмов через Well , и категорию равномерных пространств по Смирнову и их морфизмов через Sm . Функтор изоморфизма Кочеткова $K: \text{Well} \rightarrow \text{Sm}$ определяется следующим образом. Пусть u —равномерная вейлевская структура на X . Каждому множеству $v \in u$ поставим в соответствие покрытие γ_v , состоящее из окрестностей $v(x)$ точек $x \in X$.

$$\gamma_v = \{v(x) | x \in X\}$$

$K(u) = \pi = \{\text{все возможные покрытия } \gamma \text{ пространства } X, \text{ в каждое из которых вписано покрытие вида } \gamma_v, v \in u\}$.

Пусть π —равномерная структура по Смирнову. Тогда каждому покрытию $\gamma \in \pi$ ставится в соответствие множество v_γ , являющееся теоретико-множественной суммой произведений $\Gamma_x \Gamma$ каждого $\Gamma \in \gamma$ на себя

$$V_\gamma = \bigcup_{\Gamma \in \gamma} (\Gamma \times \Gamma)$$

$$K^{-1}(\pi) = \{V \subseteq X \times X | \exists \gamma \in \pi, V_\gamma \subseteq V\}$$

Функтор изоморфизма Кочеткова $K: \text{Well} \rightleftarrows \text{Sm}$ индуцирует функтор изоморфизма K_* .

$$K_*: \text{Dir Well} \rightleftarrows \text{Dir Sm},$$

где Dir Well —категория прямого спектра вейлевских равномерных пространств, Dir Sm —категория прямого спектра равномерных пространств по Смирнову.

Для равномерных булевых алгебр имеет место канонический функторный изоморфизм

$$\text{Itm} K_* 0^{2^x}: \text{Bool Well} \rightarrow \text{Bool Sm},$$

→

где Σ функтор, сопоставляющий каждой булевой алгебре S обратный спектр $\Sigma(S)$ и 2^x —булеан этого обратного спектра

$$2^x: (S, u \rightarrow (2^{\Sigma(S)}, u))$$

Здесь, где Bool Well —категория равномерных булевых алгебр по Буняковскому, Bool Sm —категория равномерных булевых алгебр по Смирнову. Таким образом, мы доказали эквивалентность равномерных булевых алгебр по Смирнову, т. е.

$$\text{Bool Well} \rightleftarrows \text{Bool Sm}.$$

Определение 3. Глобальной равномерной структурой по Смирнову булевой алгебры S называется множество $\Sigma \subseteq \text{Cov } S$, удовлетворяющее условиям:

Г₁) если покрытие $\alpha \in \Sigma$ вписано в покрытие β , то $\beta \in \Sigma$;

Г₂) произведения $\alpha \wedge \beta$ любых двух покрытий $\alpha, \beta \in \Sigma$ также принадлежат Σ ;

Г₃) для всех $\alpha \in \Sigma$ существует $\beta \in \Sigma$ $\text{st}_\beta S > \alpha$ где $\text{st}_\beta S = \{\text{st}_\beta x | \forall x \in S\}$

Определение 4. Булева алгебра S называется близостной булевой алгеброй, если для любых двух его элементов указано, считаются ли они близкими или нет (в последнем случае будем говорить, что они далеки друг от друга, мы пишем $a \delta b$, если a близко к b , и $a \delta b$ если a далеко от b), так, что при этом выполнены следующие условия:

δ₁) если элемент a близок к b , то и b близок к a , где $a, b \in S$

δ₂) $(a \delta b) \delta c \Leftrightarrow a \delta c$ или $b \delta c$

δ₃) каждый элемент $a \in S$ близок к самому себе;

δ₄) единица булевой алгебры далека от нулевого элемента 0.

δ₅) для всех $a \delta b \in S$ существует c и $d | c \delta d = 1$ что $a \delta c, b \delta d$:

Введем понятия δ-окрестности (пишем $a \ll b$ значит b есть δ-окрестность a), таким образом:

$$a \ll b \stackrel{\text{def}}{\Leftrightarrow} \exists c, a \delta c, c \ll b$$

Легко видеть, что условие δ₅ эквивалентно условию:

δ_{5'}) любые далекие друг от друга элементы имеют непересекающиеся δ-окрестности.

Действительно, можно определить отношение «как основное», которое удовлетворяет следующим аксиомам:

P₁) для всех $a \in S, a \ll a, a \ll 1$

P₂) $a \ll b \Rightarrow a \ll b$

P₃) (I) $(a_1 \vee a_2) \ll b \Leftrightarrow a_1 \ll b$ и $a_2 \ll b$

(II) $a \ll (b_1 \wedge b_2) \Leftrightarrow a \ll b_1$ и $a \ll b_2$.

P_4) если $a \ll b$, то $b' \ll a'$

P_5) если $a \ll b$, то существует c , $a \ll c$, $c \ll b$

и пишем $a \delta b \Leftrightarrow a \ll b'$

Эти два подхода эквивалентны.

Теорема 2. Всякая глобальная равномерность $\Sigma \subseteq \text{Cov}(S)$ на булевой алгебре S естественным образом превращает его в близостную булеву алгебру (S, δ) , а именно

$$a \delta b \Leftrightarrow \forall \gamma \in \Sigma, \exists \Gamma \in \Gamma_a \neq 0, \Gamma b \neq 0$$

Покажем, что условия $(\delta_1, \delta_2, \delta_3, \delta_4, \delta_5')$ выполнены. Условия $(\delta_1, \delta_3, \delta_4)$ выполняются автоматически. Проверим выполнение условия δ_2 .

Если $a V b$ далеко от элемента C (т. е. не близко в смысле только, что определено в S близости), то и каждое из элементов a или b далеко от C . Действительно, $a V b \delta C \Rightarrow \exists \gamma \in \Sigma, st_\gamma c$ не пересекаются с $a V b$, значит $st_\gamma c$ не пересекаются с обеими a и b . Обратно, пусть каждый из элементов a и b далек от C . Тогда существуют такие покрытия $\alpha \in \Sigma$ и $\beta \in \Sigma$, что $st_\alpha c$ не пересекаются с a , а $st_\beta c$ не пересекаются с b . Но в силу условия (Γ_2) , для покрытия $\alpha \wedge \beta$, принадлежащего Σ , имеем $st_{\alpha \wedge \beta} c \leq st_\alpha c \wedge st_\beta c$. Так, что $st_{\alpha \wedge \beta} c$ не пересекается с $a V b$, а это значит что C далеко от $a V b$, что и требовалось доказать.

Покажем, что выполнено и условие δ_5' . Пусть элементы a и $b \in S$ далеки. Возьмем сначала такое покрытие $\gamma \in \Sigma$, что $a \wedge st_\gamma b = 0$; после этого к γ подберем покрытие $\alpha \in \Sigma$ согласно условию (Γ_3) , т. е. так, чтобы множество $st_\alpha S = \{st_\alpha x \mid \forall x \in S\}$ было вписано в γ .

Докажем теперь, что δ —окрестности $st_\alpha a$, $st_\alpha b$ элементов a и b не пересекаются. В самом деле, если бы нашелся элемент $x \in st_\alpha a \wedge st_\alpha b$, то тогда $st_\alpha x$ элемента x пересекалась бы и с a и с b , но $st_\alpha x$ содержитя в некотором $\Gamma \in \Gamma_\alpha$, а значит Γ пересекается и с a и с b , чего не может быть. Итак, условие δ_5' также имеет место и теорема 2 доказана.

Построим категорию Bool ProxIm , объектами этой категории являются близостные булевые алгебры. Морфизмом объекта (S, δ) в объект (S', δ') этой категории называется гомоморфизм булевых алгебр $h: S \rightarrow S'$, удовлетворяющий условию: $a \delta b \Rightarrow h(a) \delta' h(b)$. Построим также категорию Bool Sm Globol . Объектами этой категории являются булевые алгебры с глобальной равномерной структурой по Смирнову (S, Σ) а морфизмы этой категории являются морфизмами структур Смирнова.

Правило, которое каждому объекту (S, Σ) сопоставляют объект (S, δ) и каждому морфизму категории Bool Sm Globol канонический морфизм категории Bool ProxIm является ковариантным функтором G

$$G: \text{Bool Sm Globol} \rightarrow \text{Bool ProxIm}$$

Ясно, что категория Bool Sm есть подкатегория категории Bool Sm Globol . Окончательно мы имеем следующую связь:

$$\text{Bool Well} \cong \text{Bool Sm} \subseteq \text{Bool Sm Globol} \subseteq \text{Bool ProxIm}.$$

Автор выражает глубокую благодарность своему научному руководителю М. Р. Бунятову за руководство и помощь при исполнении данной работы.

Литература

1. Бунятов М. Р. Равномерные булевые алгебры. *ДАН СССР*, т. 224, № 2 1975.
2. Meenakshi K. N. Proximity structures in Boolean Algebras, *Acta sci.*

Math. Szeged, 27, 1966, f5, 92, 3. Смирнов Ю. М. О пространствах близости. Матем. сб., 31, 73, № 3, 1952. 4. Ward A. J. Representation of proximity lattices. Ann. Univ. Sci. Budapest. Sec. math. 1974—1975, 17, 41—57.

АГУ им. С. М. Кирова

Поступило 20. VI 1977

Raha Məhəmməd Bahaa Əldin Agamy

МҮНТЭЗЭМ ВƏ JAХЫНЛЫГ БУЛ ЧӘБРЛӘРИ

Мәгаләдә Бунядов М. Р. тәրәфиидән дахил едилиниш мүнтэзэм Бул чәбрләри илә jaхынлыг Бул чәбрләри арасындакы əлагә тәдгиг едилир.

Ragaa Mohamed Bahaa Eldin Agamy

PROXIMITY AND UNIFORM BOOLEAN ALGEBRAS

In this article investigate relations between proximity and uniform Boolean algebras.

УДК 517.5

МАТЕМАТИКА

С. Я. ЯКУБОВ, В. Б. ШАХМУРОВ

ТЕОРЕМЫ ВЛОЖЕНИЯ И ТЕОРЕМЫ О СЛЕДАХ
 В АНИЗОТРОПНЫХ ПРОСТРАНСТВАХ ВЕКТОР-ФУНКЦИЙ

(Представлено академиком АИ Азербайджанской ССР И. И. Ибрагимовым)

Пусть A — позитивный оператор с областью определения $D(A)$ в гильбертовом пространстве H , т. е. $\overline{D(A)} = H$ и

$$\|(A+\lambda)^{-1}\| \leq c(1+\lambda)^{-1}, \lambda \geq 0.$$

Обозначим $H(\bar{A}) = \{u \mid u \in D(\bar{A}), \|u\|_{H(\bar{A})}^2 = \|Au\|_H^2 + \|u\|_H^2\}$ (Определение дробных степеней см. [4])

Пусть G — открытое множество в R^n , $D_k = \frac{\partial}{\partial x_k}$, $e = (e_1, \dots, e_n)$,

$$L_2(G; H) = \{u \mid \|u\|_{L_2(G; H)}^2 = \int_G \|u(x)\|_H^2 dx\}, W_2^1(G; H(\bar{A}), H) =$$

$$= \{u \mid u \in L_2(G; H(\bar{A})), D_k^e u \in L_2(G; H), k = \overline{1, n}, \|u\|_{W_2^1(G; H(\bar{A}), H)}^2 = \\ = \|u\|_{L_2(G; H(\bar{A}))}^2 + \sum_{k=1}^n \|D_k^e u\|_{L_2(G; H)}^2\}.$$

В данной статье доказываются некоторые теоремы вложения и теоремы о следах для указанных пространств.

В одномерном случае эти результаты совпадают с результатами, имеющимися в [1], в изотропном — совпадают с результатами, имеющимися в [2], а в скалярном случае совпадает с результатами, имеющимиися в [3].

Теорема 1. Пусть A — позитивный оператор.

Тогда при $|(\alpha + \varepsilon) : e| = \frac{\alpha_1 + \varepsilon_1}{l_1} + \dots + \frac{\alpha_n + \varepsilon_n}{l_n} \leq 1, \varepsilon_i \geq 0, i = \overline{1, n}$ имеет место вложение

$$D^{\alpha} W_2^e(R^n; H(A), H) \subset W_2^e(K^n; H(A^{1-(\alpha+e)}), H), D^{\alpha} = D_1^{\alpha_1} \dots D_n^{\alpha_n}.$$

Доказательство. Пусть $u \in W_2^e(R^n; H(A), H)$, тогда, применяя преобразование Фурье, получаем

$$\|D^{\alpha} u\|_{W_2^e(R^n; H(A^{1-(\alpha+e)}), H)}^2 \leq c \left\{ \int_{R^n} y_1^{2\alpha_1} \dots y_n^{2\alpha_n} (\|A^{1-(\alpha+e)} u\|_H^2 + \|u\|_H^2) dy + \right. \\ \left. + \|\hat{u}\|_H^2 \right\} dy + \int_{R^n} (y_1^{2(\alpha_1+\varepsilon_1)} \dots y_n^{2\alpha_n} + \dots + y_1^{2\varepsilon_1} \dots y_n^{2(\alpha_n+\varepsilon_n)}) \|\hat{u}\|_H^2 dy \}.$$

Далее, применяя неравенство моментов и Юнга [4], получаем, что

$$\|D^{\alpha} u\|_{W_2^e(R^n; H(A^{1-(\alpha+e)}), H)}^2 \leq c \left\{ \int_{R^n} \left(1 + \sum_{k=1}^n y_k^{2\varepsilon_k} \right) \|\hat{u}\|_H^2 dy + \right. \\ \left. + \int_{R^n} \|A\hat{u}\|_H^2 dy \right\} \leq c \|u\|_{W_2^e(R^n; H(A), H)}^2.$$

Лемма 1. Пусть G — множество, удовлетворяющее условию e -го рода [3].

Тогда существует линейный ограниченный оператор продолжения, действующий из $W_2^e(G; H(A), H)$ в $W_2^e(R^n; H(A), H)$.

Теорема 2. Пусть A — позитивный оператор.

Тогда при $|(\alpha + \varepsilon) : e| \leq 1$ имеет место вложение

$$D^{\alpha} W_2^e(G; H(A), H) \subset W_2^e(G; H(A^{1-(\alpha+e)}), H).$$

Доказательство. Пусть $u \in W_2^e(G; H(A), H)$. Тогда $D^{\alpha} u = D^{\alpha} \times r_0 P u$, где P оператор продолжения из $W_2^e(G; H(A), H)$ в $W_2^e(R^n; H \times (A), H)$, r_0 оператор сужения из $L_2(R^n; H)$ в $L_2(G; H)$. Тогда $\|D^{\alpha} u\|_{W_2^e(G; H(A^{1-(\alpha+e)}), H)} = \|D^{\alpha} r_0 P u\|_{W_2^e(G; H(A^{1-(\alpha+e)}), H)} \leq c \|D^{\alpha} P u\|_{W_2^e(R^n; H(A^{1-(\alpha+e)}), H)} \leq c \|P u\|_{W_2^e(R^n; H(A), H)} \leq c \|u\|_{W_2^e(G; H(A), H)}$.

$$\leq c \|P u\|_{W_2^e(R^n; H(A), H)} \leq c \|u\|_{W_2^e(G; H(A), H)}.$$

Отметим, что в случае $H = L_2(R)$ и $A = \left[i \frac{d}{dx_{n+1}} \right]^{1/n+1}$ из теоремы 1 следует в L_2 теорема В. П. Ильина $D^{\alpha} W_2^e(G) \subset L_2(G)$.

Теорема 3. Пусть $A = A^* \geq c^2 I$

Тогда, при $\left| \left(\alpha + \frac{1}{2} \right) : e \right| = \frac{\alpha_1 + \frac{1}{2}}{e_1} + \dots + \frac{\alpha_n + \frac{1}{2}}{e_n} < 1$, отображение $u \rightarrow D^{\alpha} u(o)$ является непрерывным и сюръективным из $W_2^e(R^n, H(A), H)$ на $H(A^{1-(\alpha + \frac{1}{2}) : e})$.

Доказательство. Непрерывность и сюръективность отображения $u \rightarrow D^{\alpha} u(o)$ из $W_2^e(R^n; H(A), H)$ на $H(A^{1-(\alpha + \frac{1}{2}) : e})$ доказывается при помощи преобразования Фурье и диагонализации оператора A [5].

Теорема 4. Пусть G область, удовлетворяющая условию e -го рода, и пусть $A=A^* \geq c^2 I$.

Тогда отображение $u \rightarrow D^* u$ и (o) при $\left| \left(a + \frac{1}{2} \right) : e \right| < 1$ является

непрерывным из $W_2^e(G; H(A), H)$ на $H(A)^{1-\left(a+\frac{1}{2}\right):e}$.

Доказательство. С помощью оператора продолжения P из $W_2^e(G; H(A), H)$ в $W_2^e(\mathbb{R}^n; H(A)H)$ доказательство сводится к доказательству теоремы 3.

Результат. Пусть выполнено условие теоремы 4.

Тогда, при $\left| \left(a + \frac{1}{2} \right) : e \right| < 1$ имеет место вложение $D^* W_2^e(G; H \times H(A), H) \subset C(G; H(A))$.

Литература

1. Лионс Ж. Л., Мадженес Е. Неоднородные граничные задачи и их приложения. М., 1971.
2. Grisvard P. Espaces de traces de traces à plusieurs variables, Compt. Rend. Acad. Sci. Paris, 257, 1963, 249–252.
3. Бесов О. В., Ильин В. П., Никольский С. М. Интегральные представления функций и теоремы вложения. М., 1975.
4. Крейн С. Г. Линейные дифференциальные уравнения в банаховом пространстве. М., 1967.
5. Гельфанд И. М., Виленкин Н. Я. Обобщенные функции. М., 1961.

АПИ им. Ленина

Поступило 22. VI 1977

С. Я. Якубов, В. Б. Шакимурев

АБСТРАКТ АНИЗОТРОП ФЭЗАДА ДАХИЛОЛМА ВЭ ИЗ ҺАГГЫНДА

Мэгләдә абстракт анизотроп $W_2^e(G; H(A), H)$ фәзасында дахилолма вә из һаггында теоремләр исбат олунур.

S. Ya. Yakubov, V. B. Shakimurov

IMBEDDING THEOREMS AND THEOREMS ABOUT TRACES IN ANISOTROPIC SPACES OF VECTOR-FUNCTIONS

In this work there are obtained some imbedding theorems and theorems about traces in anisotropic spaces $W_2^e(G; H(A), H)$.

К. С. АХВЕРДИЕВ

НЕЛИНЕЙНАЯ ЗАДАЧА О НЕУСТАНОВИВШЕМСЯ ДВИЖЕНИИ ВЯЗКО-ПЛАСТИЧНОЙ ЖИДКОСТИ МЕЖДУ ШИПОМ И ПОДШИПНИКОМ

(Представлено академиком АН Азербайджанской ССР А. И. Гусейновым)

Рассматривается движение вязко-пластичной жидкости между двумя бесконечными эксцентричными цилиндрами, один из которых (подшипник) находится в покое, а внутренний (шип) совершает заданные крутильные колебания, т. е. рассматривается задача с неподвижными границами, когда несжимаемая вязко-пластичная жидкость заполняет все пространство между шипом и подшипником. Вопрос о влиянии сил инерции на несущую способность подшипника для простоты исследования решается на основе уравнений, которые выводятся на основе уравнений Генки–Ильюшина и уравнения неразрывности методом оценок. Решение задачи ищется в виде ряда по степенным числа Рейнольдса. Строится некоторое мажорирующее уравнение, существование положительных корней которого обеспечивает равномерную сходимость итераций. Найдено условие, при котором отсутствует ядро течения.

§ 1. Пусть шип вращается вокруг своей неподвижной оси с постоянной угловой скоростью Ω , на которую накладываются заданные крутильные колебания. Тогда в полярной системе координат с началом в центре шипа и углом θ уравнения подшипника и шипа залишутся в виде:

$$r=r_1; r=e \cos\theta + \sqrt{r_0^2 - e^2 \sin^2\theta} \quad (1.1)$$

Будем исходить из уравнений движения Генки–Ильюшина и уравнения неразрывности

$$\rho \frac{\partial \bar{v}}{\partial t} + \mu (\bar{v} \cdot \nabla) \bar{v} = -\nabla P + \left(\mu + \frac{\tau_0}{h_1} \right) \Delta \bar{v} - \frac{2\tau_0 T_e}{h_1^2} \nabla h_1, \nabla \bar{v} = 0 \quad (1.2)$$

Здесь h_1 —интенсивность скоростей деформаций, τ_0 —предел текучести при чистом сдвиге, T_e —тензор скоростей деформаций, а остальные обозначения общепринятые. В дальнейшем укажем условие, при котором $\partial v_0 / \partial r \neq 0$ в пространстве между шипом и подшипником, а также на контурах.

Перейдем к безразмерным переменным по формулам

$$v_r = \Omega \delta u^1, v_\theta = \Omega r_1 v^1, P = P^* P^1, r = r_1 + \delta r^1, \delta = r_0 - r_1, \\ P^* = \mu \Omega r_1^2 / \delta^2, \eta = e/\delta, \epsilon = \delta/r_1, t^1 = t^* t, t^* = \delta^2/v. \quad (1.3)$$

Будем иметь:

$$h_1 = \frac{\Omega r_1}{\delta} \left[-\frac{\partial v^1}{\partial r^1} + \epsilon v^1 + o(\epsilon^2) \right], \frac{1}{h_1} = \frac{\delta}{\Omega r_1} \left[\frac{1}{\partial v^1} + \frac{\epsilon v^1}{\left(\frac{\partial v^1}{\partial r^1} \right)^2} + o(\epsilon^2) \right],$$

$$\frac{\partial h_1}{\partial r} = \frac{\Omega r_1}{\delta^2} \left[-\frac{\partial^2 v^1}{\partial r^1 \partial r^2} + \epsilon \frac{\partial v^1}{\partial r^1} + o(\epsilon^2) \right], \frac{\partial h_1}{\partial \theta} = \frac{\Omega r_1}{\Omega} \left[-\frac{\partial^2 v^1}{\partial r_1 \partial \theta} + \epsilon \frac{\partial v^1}{\partial \theta} + o(\epsilon^2) \right]. \quad (1.4)$$

Уравнения движения и граничные условия задачи с учетом формул (1.3) и (1.4) с точностью до членов порядка $o(\epsilon)$ записутся в виде:

$$\frac{\partial v^1}{\partial t} + \frac{\partial p^1}{\partial \theta} - \frac{\partial^2 v^1}{\partial r^1 \partial r^2} = -R \left(u^1 \frac{\partial v^1}{\partial r^1} + v^1 \frac{\partial v^1}{\partial \theta} \right) - A, \frac{\partial P^1}{\partial r^1} = 0, \\ \frac{\partial u^1}{\partial r^1} + \frac{\partial v^1}{\partial \theta} = 0, A = 2\tau\delta/\mu\Omega r_1, R = \Omega\delta^2/v, v = \mu/\rho. \quad (1.5)$$

при $r^1=0, u^1=0, v^1=\varphi^1(t')$; при $r=h=1+\eta\cos\theta, u=v=0$,

при $t=0, u^1=u^0(r, \theta, R), v^1=v^0(r, \theta, R), P^1=P^0(\theta, R)$. $\quad (1.6)$

Ставится вопрос о возможности разложения решения задачи (1.5) — (1.6) в ряд по степеням R . Относительно функций, входящих в начальное условие, предположим, что они удовлетворяют соответствующей стационарной системе, при граничных условиях

$$u^0=0, v^0=1 \text{ при } r^1=0; u^0=v^0=0 \text{ при } r^1=h. \quad (1.7)$$

Для согласования граничных условий (1.6) и (1.7) требуем $\varphi^1(0)=1$. Положим

$$v^1=v^0+v, u^1=u^0+u, P^1=P^0+P. \quad (1.8)$$

Тогда для u, v , и P получим систему с однородными начальными условиями.

$$\frac{\partial v}{\partial t} + \frac{\partial P}{\partial \theta} - \frac{\partial^2 v}{\partial r^1 \partial r^2} = f(u^0, v^0, u, v), \frac{\partial u}{\partial r^1} + \frac{\partial v}{\partial \theta} = 0, \frac{\partial P}{\partial r^1} = 0 \quad (1.9)$$

при $r^1=0, u=0, v=\varphi(t)=\varphi'(t)-1$; при $r=h, u=v=0$,

$$\text{при } t=0, u=v=0, P=0. \quad (1.10)$$

Постоянная A , характеризующая пластичность, входит в правую часть (1.9) через коэффициенты u^0, v^0 .

Сделаем замену

$$r^1=hx, \frac{\partial}{\partial r^1} = \frac{1}{h} \frac{\partial}{\partial x}, \frac{\partial}{\partial \theta} = \frac{\partial}{\partial \theta} + \frac{x\eta\sin\theta}{h} \frac{\partial}{\partial x}. \quad (1.11)$$

Ищем решение задачи (1.9) — (1.10) в виде

$$u = \sum_{k=0}^{\infty} u_k R^k, v = \sum_{k=0}^{\infty} v_k R^k, P = \sum_{k=0}^{\infty} P_k R^k. \quad (1.12)$$

Подстановка в (1.9) и (1.10) с учетом (1.11) дает

$$\frac{\partial v_k}{\partial t} - \frac{1}{h^2(0)} \frac{\partial^2 v_k}{\partial x^2} = f_k - \frac{\partial P_k}{\partial \theta}, \frac{1}{h} \frac{\partial u_k}{\partial x} + \frac{\partial v_k}{\partial \theta} + \frac{x\eta\sin\theta}{h} \frac{\partial v_k}{\partial x} = 0. \quad (1.13)$$

При $x=0, u_k=0, v_k=\varphi_k; x=1, u_k=v_k=0$,

$$\text{При } t=0, u_k=v_k=0, P_k=0; \quad (1.14)$$

$$-f_k = \frac{u^0}{h} \frac{\partial v_{k-1}}{\partial x} + \frac{\partial v^0}{\partial r^1} u_{k-1} + \frac{\partial v^0}{\partial \theta} + v^0 \left(\frac{\partial v_{k-1}}{\partial \theta} + \frac{x\eta\sin\theta}{h} \frac{\partial v_{k-1}}{\partial x} \right) + \\ + \sum_{n=0}^{k-1} \left[\frac{u_{k-n-1}}{h} \frac{\partial v_n}{\partial x} + v_{k-n-1} \left(\frac{\partial v_n}{\partial \theta} + \frac{x\eta\sin\theta}{h} \frac{\partial v_n}{\partial x} \right) \right], k \geq 1.$$

$$f_0 = 0, \varphi_k = \begin{cases} \varphi(t); & k=0 \\ 0 & k \geq 1. \end{cases} \quad (1.15)$$

Решение задачи (1.13) — (1.15) можно записать в виде [2]

$$v_k = -4 \int_0^t \frac{\partial P_k(\theta, \tau)}{\partial \theta} \sum_{n=1}^{\infty} \frac{\sin((2n-1)\pi x)}{\pi(2n-1)} \exp \left[-\frac{(2n-1)^2 \pi^2 (t-\tau)}{h_2} \right] d\tau + \\ + \Phi_k(x, 0, t), \quad (1.16)$$

$$\Phi_k = h^2 \int_0^1 \int_0^t f_k(y, \theta, \tau) G(x, y, \theta, t-\tau) dy d\tau + \int_0^t \varphi_k(\tau) \frac{\partial G(x, 0, \theta, t-\tau)}{\partial y} dy, \quad (1.17)$$

$$G(x, y, \theta, t) = \frac{2}{h^2} \sum_{n=1}^{\infty} e^{-\frac{\pi^2 n^2 t}{h^2(0)}} \sin \pi n x \cdot \sin \pi n y, \quad (1.18)$$

$$u_k = -\frac{\partial}{\partial \theta} \int_0^x h v_k(y, 0, t) dy - x v_k \eta \sin \theta. \quad (1.19)$$

§ 2. Нахождение гидродинамического давления и расхода жидкости. Удовлетворим u_k граничному условию $u_k=0$ при $x=1$. Будем иметь

$$\int_0^1 v_k(y, 0, t) dy = \frac{X_k(t)}{h(0)}, \quad (2.1)$$

где $X_k(t)$ — неизвестная функция (расход), для определения которой осталось условие периодичности давления.

Введя (2.1) в (1.16), получим интегральное уравнение Вольтерра первого рода. Решая это уравнение средствами операционного исчисления [2, 3], получим

$$\frac{\partial P_k}{\partial \theta} = \frac{4}{h^2} \frac{\partial}{\partial t} \int_0^t \left[\psi_k(\theta, \tau) + \frac{X_k(\tau)}{h} \right] \left\{ 3 + 2 \sum_{n=1}^{\infty} \exp \left[-\frac{4\mu_n^2(t-\tau)}{h^2} \right] \right\}, \quad (2.2)$$

$$X_k(t) = \frac{d}{dt} \int_0^t F_k(\tau) K(t-\tau) d\tau, \quad K(t) = s \left[\int_0^{2\pi} \frac{d\theta}{h^2(\theta) \bar{g} \left(\frac{h^2}{4} \cdot s \right)} \right]^{-1}, \quad (2.3)$$

$$F_k(t) = \int_0^t \int_0^{2\pi} \frac{\psi_k(\theta, \tau)}{h^2(\theta)} \left\{ 3 + 2 \sum_{n=1}^{\infty} \exp \left[-\frac{4\mu_n^2(t-\tau)}{h^2(\theta)} \right] \right\} d\theta d\tau, \quad (2.4)$$

$$\psi_k(\theta, t) = - \int_0^1 \Phi_k(x, \theta, t) dx, \quad \bar{g}(s) = \frac{\sqrt{s} - ths}{s\sqrt{s}}; \quad (2.5)$$

μ_k — корни уравнения $x = tgx$.

Введем (2.4) в (2.3) и результат подставим в (2.2). В полученной формуле поменяем порядок интегрирования с помощью формул Дирихле [4].

$$\begin{aligned} \frac{\partial P_k}{\partial \theta} &= \frac{12\psi_k(\theta, t)}{h^2(\theta)} - \frac{3\delta}{h^2(\theta)} \int_0^t \int_0^{2\pi} \frac{\psi_k(\varphi, t-\tau) K(\tau)}{h^2(\varphi)} d\varphi d\tau + \\ &+ 4 \frac{d}{dt} \int_0^t \psi_k(\theta, t-\tau) S(\theta, \tau) d\tau - \frac{12}{h^2(\theta)} \frac{d}{dt} \int_0^t \int_0^{2\pi} \psi_k(\mu, t-\tau) T(\varphi, \tau) d\varphi d\tau - \\ &- \frac{12}{h(\theta)} \frac{d}{dt} \int_0^t \int_0^{2\pi} \frac{\psi_k(\varphi, t-\tau)}{h^2(\varphi)} T(\varphi, \tau) d\varphi d\tau - \\ &- \frac{4}{h(\theta)} \frac{\partial}{\partial t} \left[\int_0^t \int_0^{2\pi} \psi_k(\varphi, t-\tau) T(\varphi, \tau) S(\theta, \tau) d\varphi d\tau + \right. \\ &\left. + \int_0^t \int_0^{2\pi} \psi_k(\varphi, t-\tau) \int_0^{\tau} S(\theta, \tau-\delta) \frac{\partial T(\varphi, \delta)}{\partial \delta} d\delta d\varphi d\tau \right], \end{aligned} \quad (2.6)$$

где

$$S(\theta, t) = \frac{2}{h^2(\theta)} \sum_{n=1}^{\infty} \exp \left[-\frac{4\mu_n^2 t}{h^2(\theta)} \right], \quad T(\theta, t) = \int_0^t S(\theta, \tau) K(t-\tau) d\tau. \quad (2.7)$$

Нетрудно убедиться в абсолютной интегрируемости по t от 0 до ∞ ядер, входящих в (2.6). Относительно $S(\theta, t)$ это обстоятельство очевидно, т. к. $\mu_n \sim \pi n$ при $n \rightarrow \infty$. Доказательство интегрируемости $T(\theta, t)$ сводится к доказательству интегрируемости $K(t)$, т. к. свертка абсолютно интегрируемых функций абсолютно интегрируема [5]. Поэтому

после доказательства интегрируемости $K(t)$ остается найти $T(\varphi, 0)$ и доказать интегрируемость

$$N(\theta, t\varphi) = \int_0^t S(\theta, t, \tau) = \frac{\partial T(\varphi, \tau)}{\partial \tau} d\tau. \quad (2.8)$$

Опуская доказательства [6, 7, 8] интегрируемости ядра $K(t)$, отметим, что существуют такие постоянные $C > 0$ и $\delta > 0$, что ядра $K(t), S(\theta, t), N(\theta, t, \varphi), T(\varphi, t)$ удовлетворяют оценке

$$|K(t)| \leq \frac{C}{Vt} e^{-\delta t}, \quad |S(\theta, t)| \leq \frac{c}{Vt} e^{-\delta t}, \quad (2.9)$$

$|N(\theta, t\varphi)| \leq Ce^{-\delta t}, \quad |T(\varphi, t)| \leq Ce^{-\delta t}$.
Вычислим значение $T(\varphi, 0)$, входящее в (2.7).

$$T(\varphi, 0) = \lim_{t \rightarrow 0} \int_0^t K(\tau) S(\varphi, t-\tau) d\tau.$$

Из оценок (2.9) следует, что этот предел существует. Тогда на основании формул (2.3), (2.5), и (2.7) получим

$$T(\varphi, 0) = \lim_{s \rightarrow \infty} \bar{T}(s) = \lim_{s \rightarrow \infty} \frac{1}{s} \bar{K} \bar{S} = \frac{\sqrt{1-\eta^2}}{2\pi}. \quad (2.10)$$

На основании (2.10) в четвертом, пятом и седьмом слагаемых в (2.6) можно проинтегрировать под знаком интеграла за счет ядра и провести оценку, используя абсолютную интегрируемость производной. Например,

$$\left| \frac{12}{h^2} \frac{d}{dt} \int_0^t \int_0^{2\pi} \psi_k(\varphi, \tau) T(\varphi, t-\tau) d\varphi d\tau \right| \leq C \max_{0, t} |\psi_k| \quad (2.11)$$

Оценке (2.11) удовлетворяют все слагаемые в (2.6), кроме третьего и шестого, которые аналогичны друг другу и достаточно рассмотреть одно из них. Непосредственным вычислением легко можно убедиться, что

$$\left| 4 \frac{\partial}{\partial t} \int_0^t \psi_k(\theta, t-\tau) S(\theta, \tau) d\tau \right| \leq C \|f_k\|. \quad (2.12)$$

Такой же оценке удовлетворяет и шестое слагаемое в (2.6). Из (1.17), (1.18) и (2.5) следует, что

$$\|\Phi_k\| \leq C \|f_k\|, \quad \|\psi_k\| \leq C \|f_k\|. \quad (2.13)$$

§ 3. Доказательство сходимости рядов (1.12)

Учитывая (2.11), (2.12) из (2.6), (1.19), находим

$$\left\| \frac{\partial P_k}{\partial \theta} \right\| \leq C \| f_k \|, \quad \| v_k \| \leq C \| f_k \|, \quad \| u_k \| \leq C \| f_k \| . \quad (3.1)$$

В результате

$$\| f_0 \| \leq C_0, \quad \| f_k \| \leq C \left(\| f_{k-1} \| + \sum_{n=0}^{k-1} \| f_n \| \| f_{k-n-1} \| \right),$$

где

$$C_0 = \max_{\theta, t} \left| \int_0^t \varphi(\tau) \frac{\partial G(x, 0, 0, t-\tau)}{\partial y} d\tau \right|. \quad (3.2)$$

Этот интеграл сходится в силу условия $\varphi'(0)=1$, а если кроме этого $\varphi(0) < C$ при $0 \leq t \leq \infty$, то C_0 не зависит от t и θ . В постоянную C , входящую в (3.2), входят оценки $\|v^0\|$ и $\|u^0\|$ решений задачи об установившемся движении, т. е. постоянная \bar{A} — характеристика пластичности.

Рассмотрим квадратное уравнение

$$CRx^2 + CRx - x + C_0 = 0. \quad (3.4)$$

При $R \rightarrow 0$ это уравнение имеет корень C_0 .

Подставим в (3.4) ряд

$$x = \sum_{k=1}^{\infty} R^k x_k + C_0. \quad (3.5)$$

Получим для x_k рекуррентное соотношение (3.2). Поэтому радиус сходимости ряда (3.5) определяется условием

$$C^2 R^2 - 2C(1+2C_0)R + 1 \geq 0. \quad (3.6)$$

Поскольку при любом $C_0 > 0$, $1+2C_0 > 2\sqrt{C_0+C_0^2}$. Ряды (1.12) имеют отличный от нуля радиус сходимости $0 \leq R \leq (1+2C_0-2\sqrt{C_0+C_0^2})/C$. При любой ограниченной функции $\varphi(t)$, удовлетворяющей условию $\varphi'(0)=1$. Неравенство (3.6) удовлетворяется и при $R \geq (1+2C_0+2\sqrt{C_0+C_0^2})/2$. Однако соответствующий корень уравнения (3.4) не стремится к C_0 при $R \rightarrow 0$. Поэтому в этом случае сходимость рядов (1.12) сомнительна.

Найдем момент пары трения действующей на шип

$$L_{tp} = \frac{\mu \Omega r_1^3}{\delta} \int_0^{2\pi} \frac{1}{h(\theta)} \frac{\partial v^1}{\partial x} \Big|_{x=0} d\theta - 2\tau_0 \pi r_1^2. \quad (3.7)$$

Формула (3.7) справедлива лишь при условии, когда $\partial v^1 / \partial x \neq 0$ во всем пространстве между шипом и подшипником. Это требование выполняется при условии [9] $\eta < \eta_{kp}$, где η_{kp} является положительным корнем уравнения

$$\eta^3 + 4\eta^2 + 2\eta - 1 - \eta(1-\eta^2)^{1/2} A = 0.$$

Литература

1. Огиболов М. М., Мирзаджанзаде А. Х. Нестационарные движения вязко-пластичных сред. М., 1962. СМБ линейные уравнения математической физики. Изд-во "Наука". М., 1964. 3. Уиттекер Е. Т., Ватсон Г. Н. Курс современного анализа, ч. I и II. Физматгиз, 1963. 4. Смирнов В. И. Курс высшей математики, т. I. Изд-во "Наука", М., 1974. 5. Харди Г. Х. Расходящиеся ряды. ИЛ., 1955. 6. Ахнезер Н. И. Элементы теории эллиптических функций. Изд-во "Наука", М., 1970. 7. Эрдэний Асимптотические разложения. Физматгиз, 1962. 8. Диткин, Прудников. Операционное исчисление. Изд-во "Высшая школа", М., 1975. 9. Лойцянский Л. Г. Механика жидкости и газа. Физматгиз, 1973.

Рост. ин-т жел. трансп.

Поступило 13.I 1977

К. С. Ахвердиев

ШИП ВЭ ПОДШИПНИК АРАСЫНДА ӨЗЛҮЛҮ-ПЛАСТИК МАЈЕНИН ГЕРАРЛАШМАМЫШ ҺӘРӘКӘТИНИН ГЕРИ-ХӘТТИ МӘСӘЛӘСИ

Мәгаләдә өзлүлү-пластик мајенин икى сонсуз ексентрик цилиндрләр арасында һәрәкәти мәсәләсисиңе баҳылыр. Бурада харичи цилиндр (подшипник) тәрпәнмәэdir. Даҳиلى (шип) исә верилмиш фырланма һәрәкәтиндә олур.

K. S. Akhverdiyev

NON-LINEAR PROBLEM CONCERNING THE NONSTABILIZED MOTION OF THE VISCOUS-PLASTIC FLUID BETWEEN THE PIN AND BEARING

The motion of the viscous-plastic fluid between two infinite eccentric cylinders, one of them (a bearing) at rest and the other (the inner one—a pin) performing the task of twisting.

Oscillations is being discussed.

УДК 621.315—592

ФИЗИКА ПОЛУПРОВОДНИКОВ
И ДИЭЛЕКТРИКОВ

Чл.-корр. АН СССР Г. Б. АБДУЛЛАЕВ, К. Р. АЛЛАХВЕРДИЕВ,
Е. А. ВИНОГРАДОВ, Г. И. ЖИЖИН, Н. Н. МЕЛЬНИК, Р. Х. НАНИ,
Э. Ю. САЛАЕВ, Р. М. САРДАРЛЫ

О ВОЗМОЖНОСТИ ФАЗОВОГО ПЕРЕХОДА В $TiGaSe_2$

В [1] опубликованы результаты подробных исследований оптических фононов при $T=300^{\circ}\text{K}$, позволившие уточнить пространственную группу симметрии широкозонного полупроводникового соединения $TiGaSe_2$, обладающего структурой слоистого типа. В настоящей работе проведены исследования спектра фононов $TiGaSe_2$ в широком интервале температур. Результаты низкотемпературных ($300 - 85^{\circ}\text{K}$) измерений приводятся впервые. Исследования проведены с применением методов длиноволновой инфракрасной (ДИК) и спектроскопии комбинационного рассеяния света (КРС).

Отражение и пропускание кристаллов $TiGaSe_2$ измерялось в геометрии $\vec{E} \perp \vec{C}$ (где \vec{E} — вектор электрического поля падающей электромагнитной волны, C — направление перпендикулярной плоскости преимущественного скальвания, и совпадающее с направлением оптической оси) с использованием дифракционных FIS-3, FIS-21 и фурье FS-720 спектрофотометров в области $(400-10) \text{ cm}^{-1}$. Разрешение во всей исследованной области спектра было не хуже 2 cm^{-1} . Частоты осцилляторов определены из анализа спектров отражения по соотношению Крамерса—Кронига. Частоты продольных (LO) оптических фононов найдены по максимумам функции $J_m(-\omega)$. Из функции $\varepsilon_2(\omega)$ минимум части диэлектрической проницаемости определены значения частот поперечных (TO) оптических фононов. Геометрия эксперимента позволяла регистрировать только фононы, поляризованные в плоскости преимущественного скальвания. Для исследований были выбраны монокристаллы с удельным сопротивлением $\rho \approx 10^4 \text{ ом} \cdot \text{см}$, чтобы можно было не рассматривать электрон-фононное взаимодействие. Комбинационное рассеяние света в интервале температур $300^{\circ}\text{K}-85^{\circ}\text{K}$ было измерено с помощью спектрометра РНО фирмы Колдерг. Спектр КРС возбуждался линией $\lambda=6328 \text{ \AA}$ Не—Не лазера. Спектры КРС измерялись при одной установке образца в криостате без перестройок, один за другим с шагом по температуре 2° и стабилизацией каждой промежуточной температуры не хуже $\pm 1^{\circ}$.

На рис. 1 приведены спектры КРС $TiGaSe_2$ в геометрии $x(yz)$ при различных температурах. Приводим отличительные особенности спектров (рис. 1):

1. Для заданной геометрии рассеяния не происходит заметного изменения общего числа линий при охлаждении кристалла от комнатной температуры до температуры 100°K .

2. При охлаждении кристалла ниже 100°K в спектрах КРС появляются три новые линии с частотами 46, 237, 243 cm^{-1} .

3. Интенсивность этих линий с понижением температуры возрастает без заметного изменения по частоте в интервале температур $95-86^{\circ}\text{K}$.

4. Нагрев кристалла до комнатной температуры и последующее охлаждение показывает обратимость появления новых линий в спектрах КРС.

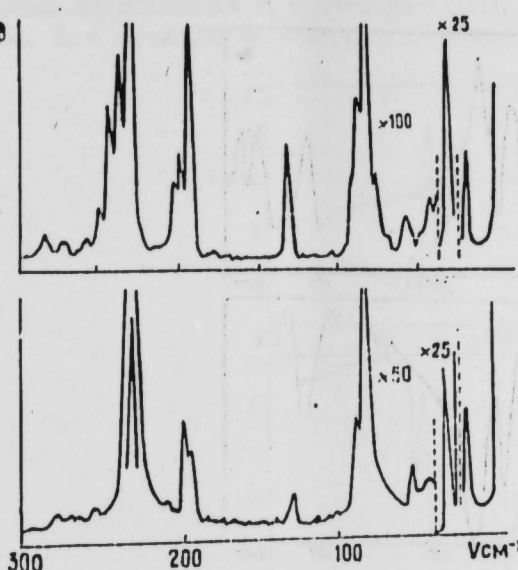


Рис. 1. Спектры КРС кристаллами $TiGaSe_2$ при различных температурах: 85 (а); 300° (б) в геометрии $x(yz)$.

ны температурные зависимости интенсивностей линий с частотами 46, 237, 243 cm^{-1} . Видно, что с понижением температуры заметное возрастание интенсивностей происходит в узком интервале температур ($95-86^{\circ}\text{K}$). При дальнейшем понижении температуры кристалла, по крайней мере, до 80°K интенсивность линий 237 и 243 cm^{-1} почти не

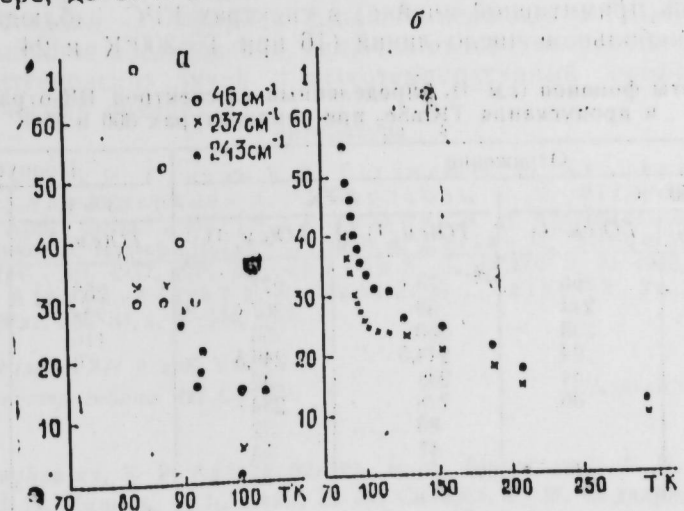


Рис. 2. а — температурные зависимости интенсивностей линий с частотами 243, 237 и 46 cm^{-1} ; б — температурная зависимость интенсивности линии для двух геометрий рассеяния.

зависит от температуры. Такое поведение интенсивности названных линий можно было бы объяснить существованием структурного фазового перехода у соединения $TiGaSe_2$ в интервале температур 95–86°К. Переход, очевидно, сопровождается понижением симметрии кристалла,

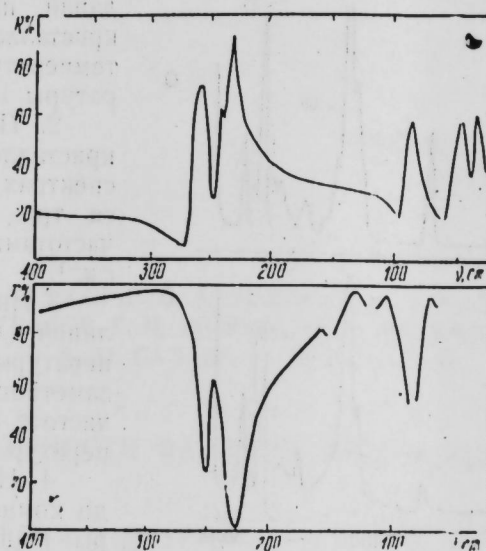


Рис. 3. Спектры отражения и пропускания $TiGaSe_2$ при комнатной температуре. Спектр пропускания приведен для кристалла толщиной ~1 мкм

что приводит к возникновению новых линий с частотами 46, 237, 243 см^{-1} . В пользу низкотемпературного фазового перехода $TiGaSe_2$ могут говорить также и температурные зависимости интенсивностей Релеевской линии, отснятые для двух поляризаций и приведенные на рис. 2б. Отметим, что несмотря на сложную структуру $TiGaSe_2$ [2] (64 атома в примитивной ячейке) в спектрах КРС наблюдается сравнительно небольшое число линий (16 при $T=300^\circ\text{K}$ и 24 при 80°K).

Частоты фононов (см^{-1}), определенные из спектров ИК-отражения и пропускания $TiGaSe_2$ при температурах 300 и 85°K

Отражение		Пропускание	
300°К		85°К	
$TO(\text{см}^{-1})$	$LO(\text{см}^{-1})$	$TO(\text{см}^{-1})$	$LO(\text{см}^{-1})$
252	266	273	277
241	214	258	267
228	233	250	253
86	94	244,5	246,5
43	54	238	242
31	36	228	234
		86	92
		47	53
		30	37
			88

Небольшое число линий в спектре можно объяснить с точки зрения развитых в последнее время представлений о том [3, 4], что энергетический спектр фононов в слоистых кристаллах формируется за счет взаимодействия атомов внутри одного слоя, а межслоевые взаимо-

действия приводят лишь в Давыдовскому расщеплению [5] линий этого спектра на число компонент, равное числу слоев в примитивной ячейке.

Возникновение нового числа линий при охлаждении кристалла также проявляется и в спектрах ДИК отражения и пропускания. На рис. 3, 4 приведены спектры отражения и пропускания кристаллов

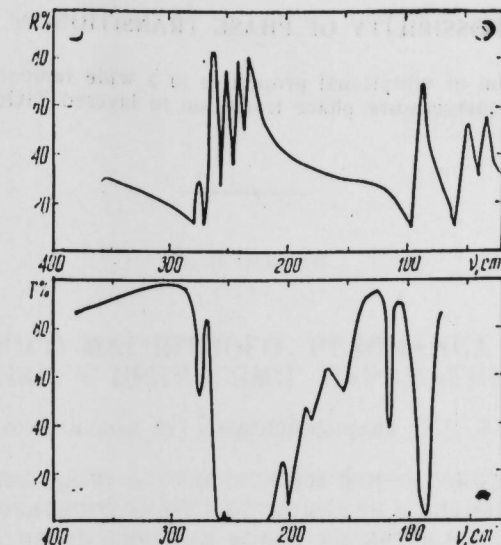


Рис. 4. Спектры отражения и пропускания $TiGaSe_2$ при температуре 85°K . Спектр пропускания приведен для кристалла толщиной ~1 мкм

$TiGaSe_2$ различной толщины при температуре 300 и 85°K . Мы обнаружили шесть полос отражения вместо четырех, о которых сообщалось ранее в [6]. В таблице приведены частоты фононов, определенные из измерений ИК-отражения и пропускания кристаллов $TiGaSe_2$ при $T=300$ и 85°K .

Для установления природы фазового перехода в $TiGaSe_2$ необходимы дальнейшие исследования, включая низкотемпературные по дифракции рентгеновских лучей и низкотемпературный дифференциальный термический анализ.

Литература

- Маврин Б. Н., Стерин Х. Е., Гасанлы Н. М., Халафов З. Д., Саляев Э. Ю., Аллахвердиев К. Р., Сардарлы Р. М. ФТТ, 1977. 2. Isaac T. G. J. Appl. Cryst. 6, 413, 1973. 3. Лазарев А. И. Колебательные спектры и строение силикатов, Изд-во „Наука“. Л., 1968. 4. Zallen R., Slade M. L., Ward A. T. Phys Rev., 3B, 4257, 1971. 5. Давыдов А. С. ЖЭТФ 2, 40, 1948. 6. Abdulлаев Г. В., Аллахвердиев К. Р., Нани Р. Kh., Салаев Е. Yu., Сардарлы R. M. Phys. Stat. Sol. 34 a, K 115, 1976.

Институт физики АН Азерб. ССР,
Институт спектроскопии АН СССР

Поступило 30.VI 1977

h. Б. Абдуллаев, К. Р. Аллахвердиев, Ё. А. Виноградов, Г. Н. Жижин,
Н. Н. Мелиник, Р. h. Нани, Е. Ju. Салаев, Р. М. Сардарлы

$TiGaSe_2$ -да ФАИЗ КЕЧИДИННИН МУМКҮНЛҮҮДҮ ҺАГГЫНДА

Мәгәләдә температуралы 300°, 80°К областинда кенишоналы јарымкечиричи бирләшмә $TiGaSe_2$ -нин оптика фононлары тәдгиг едилмишdir. Өлчү узуудаагалы инфрагырымызы вә ишығын комбинасијалы сәпэләнмәсі электроскопијасы методу иле анырылыштырылды.

Експериментал ынтымаларинан анализын табагаси бирлешмөш TiGaSe₂-ниң жана температурлук фаза кеңидинин мөвчудауғы гәрарынын чыхарылмасына көтирир.

G. B. Abdullaev, K. R. Allakhverdiev, E. A. Vinogradov, G. N. Zhizhin,
N. N. Melnick, R. Khi. Nani, E. Yu. Salaev, R. M. Sardarly

ON A POSSIBILITY OF PHASE TRANSITION IN TiGaSe₂

The investigation of vibrational properties in a wide temperature region revealed a possibility of low temperature phase transition in layered TiGaSe₂.

АЗЭРБАЙЖАН ССР ЕЛМЛЭР АКАДЕМИЯСЫНЫН МӘРҮЗӘЛӘРИ

ДОКЛАДЫ АКАДЕМИИ НАУК АЗЕРБАЙДЖАНСКОЙ ССР

ТОМ XXXIII ЧИЛД

№ 11

1977

11

УДК 539.143.43

ФИЗИКА ТВЕРДОГО ТЕЛА

М. Н. АЛИЕВ

ТЕОРИЯ ЯДЕРНОГО МАГНИТНОГО РЕЗОНАНСА В ДИАМАГНИТНЫХ КРИСТАЛЛАХ С ПРИМЕСЯМИ ПАРАМАГНИТНЫХ ИОНОВ

(Представлено академиком АН Азербайджанской ССР Л. М. Имановым)

Основным фактором, определяющим форму линии (ФЛ) ядерного магнитного резонансного (ЯМР) поглощения в диамагнитных кристаллах с примесями парамагнитных ионов является взаимодействие ядерных спинов с электронными спинами примесей. Это взаимодействие происходит следующим образом: электронные спины создают на месте расположения ядер флукутирующее магнитное поле, с которым взаимодействуют ядерные спины. Результат взаимодействия и как следствие ФЛ ЯМР будет сильно зависеть от скорости флюктуации локального магнитного поля. Это связано с тем обстоятельством, что в случае быстрой флюктуации электронных переменных ядерный спин "чувствует" среднее значение электронного спина, а при медленной флюктуации ядерной спин "чувствует" одно из двух значений проекции спина электрона. Естественно, и эффект воздействия локального магнитного поля на ядерные спины в этих двух случаях будет разным.

ФЛ магнитного резонанса на собственных ядрах парамагнитных ионов в диамагнетиках при произвольных флюктуациях локального поля была вычислена в работе [1] методом функций Грина (ФГ).

Целью данной работы является вычисление ФЛ магнитного резонанса на ядрах диамагнитных атомов в диамагнетиках с примесями парамагнитных ионов. Будем рассматривать произвольные флюктуации локального поля, полагая, что они обусловлены взаимодействием электронных спинов с кристаллической решеткой и между собой.

Вычисление ФЛ проводится методом ФГ. Согласно этому методу ФЛ поглощения определяется минимой частью соответствующей запаздывающей ФГ. Соответствующая нашей задаче ФГ имеет следующий вид

$$\langle\langle I_e^-(t)/I_e^+(t') \rangle\rangle = i\delta(t-t') \langle |I_e^-(+), I_e^+(t')| \rangle \quad (1)$$

Запаздывающую ФГ $\langle\langle I_e^-(t)/I_e^+(t') \rangle\rangle$ отыщем, составив цепочку зацепляющихся уравнений движения для антикоммутаторной ФГ (1). Для составления цепочки зацепляющихся уравнений движения необходимо записать гамильтониан системы

$$H = H_0 + H_{\text{я}} + H_{\text{р}} + H_{\text{сф}} + H_{\text{сг}} + H_{\text{сн}}, \quad (2)$$

здесь H_s , H_n , H_p , H_{eff} , H_{cc} , H_{ca} —гамильтонианы системы электронных и ядерных спинов во внешнем магнитном поле, поля фононов, спин-фононного, спин-спинового и электрон-ядерного спин-спинового взаимодействия, соответственно.

$$H_s = \hbar \omega_s \sum_i S_i^z \quad (3,1) \quad H_n = \hbar \omega_n \sum_j I_j^z \quad (3,2)$$

$$H_p = \sum_{q\sigma} \hbar \omega_{q\sigma} \theta_{q\sigma}^+ \theta_{q\sigma}^- \quad (3,3)$$

$$H_{\text{cc}} = \frac{1}{2} \sum_{i+i'} [A_{ii'} S_i^z S_{i'}^z + \frac{1}{2} B_{ii'} (S_i^+ S_{i'}^- + S_i^- S_{i'}^+)] \quad (3,4)$$

$$H_{\text{ca}} = \frac{1}{2} \sum_{k \neq k'} [a_{kk'} S_k^z I_{k'}^z + \frac{1}{2} B_{kk'} (S_k^+ I_{k'}^- + S_k^- I_{k'}^+)] \quad (3,5)$$

Здесь S^z , S^\pm —спиновые операторы, ω_s —ларморова частота, δ_e — ∂ —фактор, β_e —магнетон Бора*. Эти величины электронные. I^z , I^\pm , ∂_{zz} , β_n —соответствующие ядерные величины, $\omega_{q\sigma}$ —частота фона с волновым вектором q и поляризацией σ ; $\theta_{q\sigma}^+$, $\theta_{q\sigma}^-$ —операторы рождения и уничтожения фононов; $A_{ii'}$, $B_{ii'}$ —хорошо известные коэффициенты спин-спинового взаимодействия электронов [2], $a_{kk'}$, $b_{kk'}$ —коэффициенты взаимодействия электронных и ядерных спинов. Ядерный и электронный

спин $I = \frac{1}{2}$; $S = \frac{1}{2}$; постоянное внешнее магнитное поле $H//t$. H_{eff} —для случая $S = \frac{1}{2}$ записан в работе [3]

$$H_{\text{eff}} = i \sum_{q\sigma} q \left(\frac{\hbar}{2\rho V \omega_{q\sigma}} \right)^{1/2} e^{iqz} (\theta_{q\sigma} - \theta_{-q\sigma}) \\ (S^z \partial_{zz}^t + S^+ \partial_{zz}^- + S^- \partial_{zz}^+) \quad (4)$$

здесь ρ , V —плотность и объем кристалла, $\partial_{zz}^\pm = \frac{1}{2} (\partial_z^z \pm \partial_y^y)$

$$\partial_{zz}^\alpha = \frac{1}{2} \sum_{\beta\gamma} H_\beta G_{\alpha\beta\gamma} (x_\beta e_\gamma + x_\gamma e_\beta); \alpha = \frac{q}{q}$$

$G_{\alpha\beta\gamma}$ —тензор четвертого ранга, характеризующий спин-фононное взаимодействие, e —вектор поляризации фона, x —радиус-вектор узла, где находится парамагнитный ион.

Имея явный вид гамильтониана (1), легко записать цепочку зацепляющихся уравнений для антикоммутаторной ФГ $\langle\langle I_e^-(t)/I_e^+(t')\rangle\rangle$

$$(E - \omega_n) \langle\langle I_e^- / I_e^+ \rangle\rangle = -\sigma_{ee'} + \frac{1}{2h} \sum_k a_{ke} \langle\langle S_k^z I_e^- / I_e^+ \rangle\rangle - \\ - \frac{1}{2h} \sum_k b_{ke} \langle\langle S_k^- I_e^t / I_e^+ \rangle\rangle \quad (5)$$

* \hbar —здесь обозначает постоянную Планка, деленную на 2π .

Для корректного решения (5) будем пользоваться нестандартной теорией возмущения для ФГ. Вводим массовые операторы $M_1(E)$ и $M_2(E)$ и переписываем (5) в следующем виде

$$(E - \omega_n - M_1 - M_2) \langle\langle I_e^- / I_e^+ \rangle\rangle = -\sigma_{ee'} \quad (6)$$

После такой записи сложная процедура расцепления цепочки сводится к отысканию $M_1(E)$ и $M_2(E)$. Уравнения (5) и (6) дают

$$M_1(E) \langle\langle I_e^- / I_e^+ \rangle\rangle = \frac{1}{2h} \sum_k a_{ke} \langle\langle S_k^z I_e^- / I_e^+ \rangle\rangle \quad (7)$$

$$M_2(E) \langle\langle I_e^- / I_e^+ \rangle\rangle = -\frac{1}{2h} \sum_k b_{ke} \langle\langle S_k^- I_e^t / I_e^+ \rangle\rangle \quad (8)$$

Для отыскания $M_1(E)$ дифференцируем ФГ $\langle\langle S_k^z I_e^- / I_e^+ \rangle\rangle$ по второму временному аргументу

$$-(E - \omega_n) \langle\langle S_k^z I_e^- / I_e^+ \rangle\rangle = \langle\langle S_k^z \rangle\rangle \sigma_{ee'} - \frac{1}{2h} \sum_{k_1} a_{k_1 e'} \cdot \langle\langle S_k^z I_e^- / S_{k_1}^z I_e^+ \rangle\rangle \quad (9)$$

Из уравнений (7) и (9) получаем:

$$M_1(E) \langle\langle I_e^- | I_e^+ \rangle\rangle = \frac{-1}{E - \omega_n} \left(\frac{1}{2h} \langle\langle S^z \rangle\rangle \delta_{ee'} + \sum_k a_{ke} \right) - \\ - \frac{1}{4h^2} \sum_{k_1} a_{ke} a_{k_1 e'} \langle\langle S_k^z I_e^- | S_{k_1}^z I_e^+ \rangle\rangle \quad (10)$$

Для получения явного выражения $M_1(E)$ необходимо вычислить $\langle\langle S_k^z I_e^- | S_{k_1}^z I_e^+ \rangle\rangle$ с учетом взаимодействий

$$\left(E - \omega_n - \frac{1}{2h} \langle\langle S^z \rangle\rangle \sum_k a_{ke} \right) \langle\langle S_k^z I_e^- | S_{k_1}^z I_e^+ \rangle\rangle = -\delta_{ee'}^{-1} \langle\langle S_k^z S_{k_1}^z \rangle\rangle + \\ + \frac{i}{h} \sum_{q\sigma} q \left(\frac{\hbar}{2\rho V \omega_{q\sigma}} \right)^{1/2} e^{iqz} \left\{ g_{z\sigma}^- \langle\langle S_k^+ I_e^- (b_{q\sigma} - b_{-q\sigma}^+) | S_{k_1}^z I_e^+ \rangle\rangle - \right. \\ \left. - g_{z\sigma}^+ \langle\langle S_k^- I_e^- (b_{q\sigma} - b_{-q\sigma}^+) | S_{k_1}^z I_e^+ \rangle\rangle \right\} \quad (11)$$

Здесь и дальше мы опускаем нулевые в данном приближении ФГ. Вводим поляризационный оператор $P_1(E)$ и переписываем (11) в следующем виде:

$$\left(E - \omega_n - \langle\langle S^z \rangle\rangle \sum_k a_{ke} - P_1 \right) \langle\langle S_k^z I_e^- | S_{k_1}^z I_e^+ \rangle\rangle = -\delta_{ee'} \langle\langle S_k^z S_{k_1}^z \rangle\rangle \quad (12)$$

Здесь $P_1(E)$ —удовлетворяет уравнению

$$P_1(E) \langle\langle S_k^z I_e^- | S_{k_1}^z I_e^+ \rangle\rangle = \frac{i}{h} \sum_{q\sigma} q \left(\frac{\hbar}{2\rho V \omega_{q\sigma}} \right)^{1/2} e^{iqz}. \quad (12, 1)$$

$$\cdot \{ g_{\omega} \ll S_k^+ I_e^- (b_{q\omega} - b_{-q\omega}^+) | S_k^z I_e^+ \gg - g_{\omega}^+ \ll (b_{q\omega} - b_{-q\omega}^+) S_k^- I_e^- | S_k^z I_e^+ \gg \}$$

Если $P_1(E)$ считать известным, то уравнение (12) дает явное выражение для $\ll S_k^- I_e^- | S_k^z I_e^+ \gg$ (вычисление $P_1(E)$ нами было проведено в работе [1]).

Помножив (10) справа на обратную ФГ и используя (12), получаем

$$M_1(E) = a_z + \frac{a^2}{\omega_1^2 - P_1(E)} \quad (13)$$

$$a_z = \frac{1}{2h} \langle S^z \rangle \sum_k a_{ke} \quad (13.1)$$

где

$$a_z^2 = \frac{1}{4h^2} \left(\frac{1}{4} - \langle S^z \rangle^2 \right) \sum_k a_{ke}^2 \quad (13.2)$$

$$a^2 = a_z^2 + a_b^2 \quad (13.3)$$

$$\omega_1^2 = E - \omega_a - a_z \quad (13.4)$$

При помощи аналогичных вычислений находим выражения для $M_2(E)$

$$M_2(E) = \frac{b^2}{\omega_2^2 - P_2} ; \quad b^2 = \frac{1}{16h^2} \sum_k b_{ke}^2, \quad (14)$$

где $\omega_2^2 = E - \omega_a$, $P_2 = P_{21} + P_{22}$. Поляризационные операторы P_{21} и P_{22} найдены в работах [4,5].

Уравнения (6), (13) и (17) дают выражение для антикоммутаторной

$$\Phi \Gamma (1) \ll I_e^- / I_e^+ \gg = \frac{(\omega_1^2 - P_1)(\omega_2^2 - P_2)}{a^2(\omega_2^2 - P_2) + b^2(\omega_1^2 - P_1) - \omega_1^2(\omega_1^2 - P_1)(\omega_2^2 - P_2)} \quad (15)$$

Используя известные соотношения, связывающие антикоммутаторные ФГ с запаздывающими [6], находим запаздывающую ФГ, затем ее минимую часть, которая дает ФЛ резонансного поглощения

$$F(\omega) = \frac{a_2(\omega_2^2 + \gamma_2^2)\gamma_1 + b^2(\omega_1^2 + \gamma_1^2)\gamma_2}{(\omega_2^2 + \gamma_2^2)[(\omega_1^2 - a^2)^2 + \omega_1^2\gamma_1^2] + b^2(\omega_1^2 + \gamma_1^2)(b^2 - 2\omega_1\omega_2) + 2a^2b^2(\omega_1\omega_2 + \gamma_1\gamma_2)} \quad (16)$$

$$\text{здесь } \omega_1 = \omega - \omega_a - a_z \quad (16.1) \quad \omega_2 = \omega - \omega_a \quad (16.2) \quad \gamma_1 = I_m P_1(\omega) \quad (16.3)$$

$$\gamma_2 = I_m P_2(\omega).$$

Как видно из (16), для случая произвольных флюктуаций локального поля ФЛ получается достаточно сложной и ее трудно сравнивать с формой какой-либо хорошо известной кривой. Если считать, что электронное спин-спиновое взаимодействие слабо и не учитывать несекулярную часть электронно-ядерного взаимодействия $b=0$, $\gamma_2=0$ ФЛ получается следующей:

$$F(\omega) = \frac{a^2 \gamma}{(\omega_1^2 - a^2)^2 + \omega_1^2 \gamma_1^2} \quad (17)$$

Рассмотрим ФЛ в предельных случаях быстрой и медленной флюктуаций электронных переменных. Если электронные переменные флюктуируют достаточно быстро, то $\gamma_1^2 \gg a^2$, $\gamma_2^2 \gg b^2$ и для ФЛ имеем:

$$F(\omega) = \frac{\frac{a^2}{\gamma_1} + \frac{b^2}{\gamma_2}}{\omega_1^2 + \left(\frac{a^2}{\gamma_1} + \frac{b^2}{\gamma_2} \right)^2} \quad (18)$$

В этом случае ФЛ получается лоренцевой с полушириной на полувысоте, равной $\delta_1 = \frac{a^2}{\gamma_1} + \frac{b^2}{\gamma_2}$. В обратном предельном случае медлен-

$$\text{ных флюктуаций для ФЛ находим: } F_\omega = \frac{\frac{\gamma_1 + \gamma_2}{2}}{(\omega_1 - a)^2 + (\frac{\gamma_1 + \gamma_2}{2})^2} \quad (19)$$

Линия получается лоренцевой с полушириной на полувысоте, равной

$$\delta_2 = \frac{\gamma_1 + \gamma_2}{2}$$

Литература

1. Алиев М. Н. ФТТ, 11, 81, 1969.
2. Абрагам А. Ядерный магнетизм. ИЛ, 1961.
3. Коцелаев Б. И. Сб. «Парамагнитный резонанс». Казань, 1964.
4. Miller M. Mc. W. Opechowski. Canad. J. Phys., 51, 1168, 1973.
5. Алиев М. Н., Костюк Н. Д. Уч. зап. АГУ, № 3, 1973.
6. Таблица С. В. Квантовая теория магнетизма. Изд-во «Наука», М; 1975.

АГУ им. С. М. Кирова

Поступило 7. VII 1977

М. Н. Элиев

ПАРАМАГНИТ АШГАРЛЫ ДИАМАГНИТ КРИСТАЛЛАРДА НУВЭ МАГНИТ РЕЗОНАНСЫ НӘЗӘРИЈӘСИ

Мәғаләдә парамагнит ашгарлы диамагнит кристалларда нұвә магнит резонанс әрпесиниң формасы тәддигі едилменишdir. Айдын олмушшудур ки, резонанс әрпеси электронларын жараттырып локал магнит саһесинин сүр'етли вә јаваш флюктуациясында уғун оларға жарым ен жарым һүндүрлүккә

$$\left[\frac{1}{4h^2} \left(\frac{1}{4} - \langle S^z \rangle^2 \right) \sum_{k \neq k'} a_{ke} a_{k'e} \right] \frac{1}{\gamma_1} + \left[\frac{1}{16h^2} \sum_k b_{ke}^2 \right] \frac{1}{\gamma_2} \in \frac{\gamma_1 + \gamma_2}{2}$$

олан лоренс әрпесидир. Бурада a_{ke} , b_{ke} — нұвә-электрон гарышылыгы тәсір әмсалары, γ_1 вә γ_2 электрон спининин электрон-электрон вә электрон-фонон гарышылыгы тәсірін иәтичесинде кечид ентималларыдыр.

М. Н. Алиев

THEORY OF THE NUCLEAR MAGNETIC RESONANCE IN CRYSTALS WITH PARAMAGNETIC IMPURITIES

In this work the NMR line shape in diamagnetic crystals with paramagnetic impurities have been investigated. For general conditions a rather complicated curve is obtained. In the extreme cases of the fast and slow fluctuation of the electron variables, lorentzian lines are obtained, with the half width at half-amplitude, equal respectively

$$\left[\frac{1}{4h^2} \left(\frac{1}{4} - \langle S^z \rangle^2 \right) \sum_{k \neq k'} a_{ke} a_{k'e} \right] \frac{1}{\gamma_1} + \left[\frac{1}{16h^2} \sum_k b_{ke}^2 \right] \frac{1}{\gamma_2}$$

and to $\frac{\gamma_1 + \gamma_2}{2}$.

Here a_{ke} , b_{ke} are the coefficients of electron-nuclear spin-spin interaction while γ_1 , γ_2 is the electron spin reorientation probability, determined by spin-spin and spin-phonon interaction.

Чл.-корр. АН Азэрб. ССР М. И. АЛИЕВ, З. С. ГАСАНОВ

ОБ ЭФФЕКТИВНОЙ МАССЕ ЭЛЕКТРОНОВ В AgFeTe_2

Исследование электрических свойств тройного соединения AgFeTe_2 посвящен ряд работ [1, 2, 3, 4]. Это соединение существует в двух модификациях. Низкотемпературная фаза AgFeTe_2 имеет ширину запрещенной зоны $Eg=0,28 \text{ эВ}$, а высокотемпературная — $Eg=0,56 \text{ эВ}$. Электроны в нем обладают высокой подвижностью. Однако никаких сведений об эффективной массе m^* и законе дисперсии $\epsilon(k)$ электронов в AgFeTe_2 не имеется.

В данной работе поставлена задача, исследуя кинетические эффекты получить некоторые данные об m^* и $\epsilon(k)$ для электронов AgFeTe_2 .

С этой целью проведено комплексное исследование электропроводности (σ), коэффициента Холла (R), термоэдс (α), магнетотермоэдс ($\Delta\alpha$), поперечного термомагнитного эффекта. Нериста-Эттинггаузена ($H - \dot{\varphi}$) в низкотемпературной фазе $n\text{-AgFeTe}_2$.

Эффективная масса определялась по экспериментальным данным концентрации электронов и термоэдс в сильном магнитном поле [5]:

$$m^* = \frac{e}{\pi^2 k_0 T} \left(\frac{3h^2}{8\pi e R_\infty} \right)^{2/3} \alpha_{\text{п}} \quad (1)$$

На рис. 1, 2 представлены полевые зависимости $\Delta\alpha$, коэффициента Холла R для образцов с $n=9 \cdot 10^{17}$ и $1,8 \cdot 10^{18} \text{ см}^{-3}$. Видно, что $\Delta\alpha$ не достигает насыщения, а R от H почти не зависит.

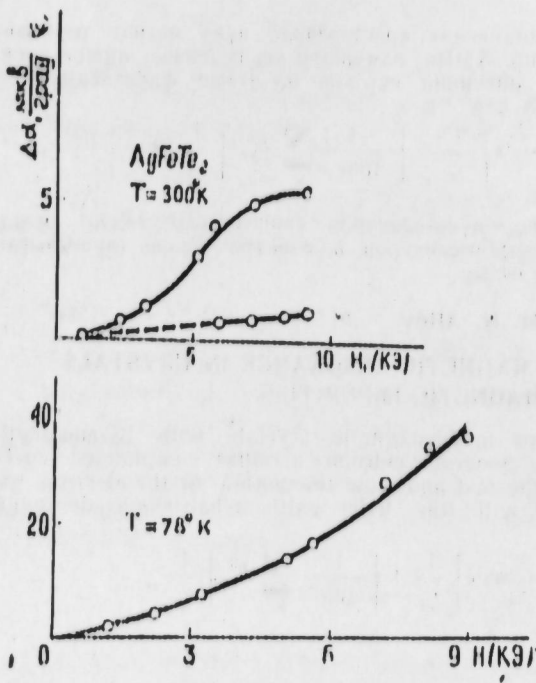


Рис. 1. Зависимость R от магнитного поля.

Это указывает на участие в проводимости, в основном, электронов. Определение предельного значения $\Delta\alpha_\infty$ производилось методом графической экстраполяции и по данным Q_1 в слабом магнитном поле, хорошо опробированным в работах [5, 6]. В образце с $n=3 \cdot 10^{16} \text{ см}^{-3}$ измерение Q_1 удалось произвести при 200° К . Эти данные позволили определить уровень химического потенциала и эффективную массу электронов. Результаты эксперимента и вычислений на их основе приведены в таблице.

Следует отметить, что неточности, допущенные при определении m^* и μ^* не позволяют утверждать об однозначности этих данных, однако можно с уверенностью сказать, что с ростом концентрации электронов их эффективная масса растет и что закон дисперсии имеет неквадратичную форму.

Можно по аналогии Ag_2Te и Ag_2Se [8, 9] полагать, что в

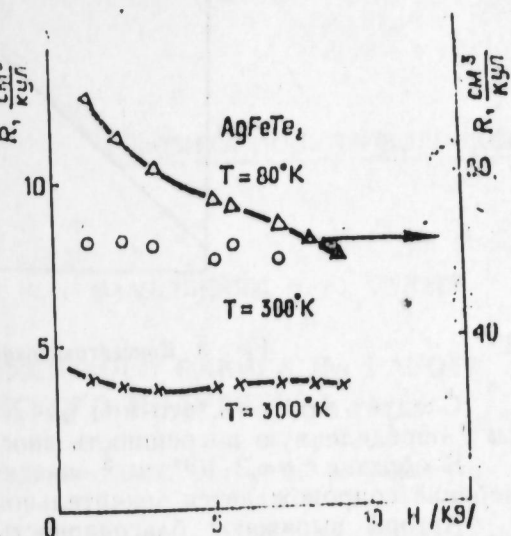


Рис. 2. Зависимость коэффициента Холла от магнитного поля.

AgFeTe_2 закон дисперсии подчиняется модели Кейна [7]. Тогда, построив зависимость $\left(\frac{m^*}{1-m^*}\right)^2$ от $n^{2/3}$ и проэкстраполировав прямую до пересечения оси ординат, можно по формуле,

$$\frac{m^*}{1-\frac{m^*}{m_0}} = \frac{m_0^*}{m_0} \sqrt{1 + \frac{8(h/2\pi)^2 k^2}{\epsilon_g} \frac{m_0 - m_0^*}{m_0 + m_0^*}} \quad (2)$$

(где m_0^* — масса электронов, $K=3\pi^2 n$) найти значение эффективной массы на дне зоны проводимости m_0^* (рис. 3). Помимо этого m_0^* можно найти по данным n и μ^* из формулы:

$$n = \frac{(2m_0^* K_0 T)^{3/2}}{3\pi^2 (h/2\pi)^3} I_{3/2, 0}(\mu^*, \mu)$$

По обоим формулам получены согласующиеся значения для $m_0^* = 0,03$.

* Ввиду отсутствия специального знака, постоянная Планка заменена ее значением.

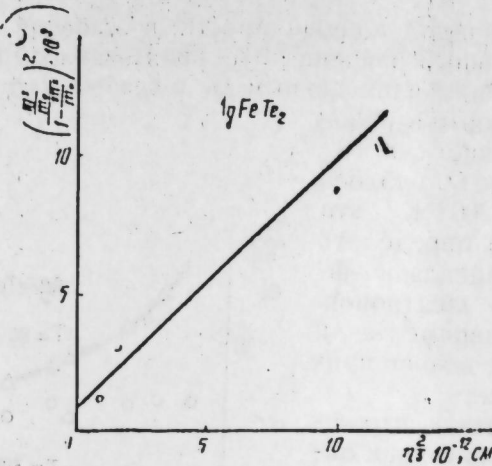


Рис. 3. Концентрационная зависимость m^*

Следует заметить, что при вычислении m^* в образце с $n=17 \cdot 10^{17} \text{ см}^{-3}$ определенную погрешность вносят экстраполяции.

В образце с $n=3 \cdot 10^{19} \text{ см}^{-3}$ значение термоэдс небольшое и ее измерение сопровождается значительной погрешностью.

Авторы выражают благодарность С. А. Алиеву за участие в обсуждении результатов.

Литература

1. Жузе В. П., Сергеева В. М., Штрум Е. Л. ЖТФ, т. XXVIII, вып. 2, 233, 1958.
2. Жузе В. П., Сергеева В. М., Штрум Е. Л. ЖТФ, т. XXVIII, вып. 10, 2093, 1958.
3. Алиев М. И., Гасанов З. С., Гусейнов Ф. З., „Неорганические материалы“, т. X, № 10, 1974.
4. Гасанов З. С., Гусейнов Ф. З., Расулов А. И., Рзаев К. И. Труды Азерб. с/х ин-та им. С. Агамалиоглы, № 3, 33, 1976.
5. Алиев С. А. Докт. дисс. Баку, 1974.
6. Алиев С. А., Кесаманлы Ф. П. Изв. АН Азерб. ССР, серия ФТМН, № 4, 75, 1971.
7. Капе Е. О. Phys. Chem. Solids, 1, 249, 1957.
8. Алиев С. А., Суюнов У. Х., Алиев М. И. Изв. АН Азерб. ССР, серия ФТМН, 1, 63, 1973.
9. Алиев С. А., Вердиева Н. А., Алиев М. И. Сб. ВИМИ „РИПОРТ“, № 9, 1974.

Институт физики

Поступило 24. VI 1977

М. И. Алиев, З. С. Гасанов

Ag Fe Te₂-да ЕЛЕКТРОНЛАРЫН ЕФФЕКТИВ КҮТЛЭСИ ҮАГГЫНДА

n -Ag Fe Te₂-нин ашагы температур фазасында термо-eig., магнит саңасында термо-еиг., Нерист-Еттингхаузен эффекти, электриккечирмә вә һолл әмсалы тәлдигүр едилшишdir. Бу мәлumatтардан үүкдашыјычылардын эффектив күтләси вә кимjәви потенциалы һесабланыштыр.

Мүәжжән едилшишdir ки, n -AgFeTe₂-да 300° K үүкдашыјычыларын $\approx 10^{18} \text{ см}^{-3}$ гијматындык электрон газы чырлашыштыр вә концентрасијаның артмасы илә электронлардын эффектив күтләси артыр. Эффектив күтләсін концентрасијадан белә асылы олмасы кечиричилк золағының гејри-параболик олдугуны көстәрір.

M. I. Aliev, Z. S. Gasanov

ABOUT THE EFFECTIVE MASS OF ELECTRONS IN AgFeTe₂

The complex investigation of thermoelectric, magnetic, magneto-thermoelectric, Hall effect, thermal-magnetic effect of Nernst-Ettinghausen, electrical conductivity and Hall coefficient has been taken in low temperature phase of n -AgFeTe₂.

It was shown, that the electron gass in AgFeTe₂ at 300K, beginning from $n=10^{18} \text{ cm}^{-3}$, was degenerated and the effective mass of electrons was increased with increase the concentration of electrons. It is assumed that the dependence of $m^*(n)$ show on nonparabolical zone of conductivity.

УДК 537.311.5

ФИЗИКА ПОЛУПРОВОДНИКОВ

Ч. О. КАДЖАР, В. А. КУЛИЕВ, И. А. МАМЕДБЕЙЛИ, Э. Ю. САЛАЕВ

ВЛИЯНИЕ ПОСТОЯННОГО ФАЗОВОГО СДВИГА НА РАБОТУ ЭЛЕКТРООПТИЧЕСКОГО МОДУЛЯТОРА

(Представлено академиком АН Азербайджанской ССР Г. Б. Абдуллаевым)

Электрооптический эффект широко применяется при модуляции и сканировании света. Промышленностью освоено серийное производство электрооптических модуляторов излучения различных длин волн, обеспечивающих модуляцию в широком диапазоне частот. Теория электрооптического эффекта хорошо известна [1, 2]. Однако практические рекомендации по выбору режима работы серийных модуляторов отсутствуют. Как правило, при выборе рабочей точки не учитывается тот факт, что многие электрооптические кристаллы обладают естественной анизотропией, некоторой степенью деполяризации связанный с неперпендикулярным падением излучения на входную грань кристалла, температурными эффектами, что проявляется даже в промышленных модуляторах, в которых предусмотрены меры для их компенсации. Кроме того, используемые в паре с модуляторами поляризаторы излучения обладают остаточным пропусканием. Все это приводит к тому, что между обычными и необычными лучами появляется некоторая постоянная разность фаз и наблюдается немодулируемое остаточное излучение. Частично такую разность фаз φ_0 можно скомпенсировать, приложив к кристаллу постоянное электрическое поле или используя фазосдвиги пластины. В данной работе изучается влияние на параметры электрооптических модуляторов постоянного фазового сдвига. Учет его необходим, особенно при работе в режиме малых модулирующих напряжений, когда соблюдается условие $u_m \ll u_{\lambda/2}$ и когда фазовый сдвиг $\Delta\varphi = \frac{\pi}{2} \frac{u_m}{u_{\lambda/2}}$, по-

лученный от приложения к модулятору внешнего источника с напряжением u_m , одного порядка со сдвигом φ_0 . Если излучение, пройдя систему поляризатор-модулятор-анализатор, попадает на фотоприемник, то интенсивность на входной апертуре с учетом сдвига фазы описывается выражением

$$I_{\text{вых}} = I_0 \sin^2(\varphi_0 + \Delta\varphi) + \gamma I_0, \quad (1)$$

здесь I_0 — интенсивность излучения на входе модулятора,

γ —коэффициент, характеризующий остаточное пропускание. Пусть модуляция осуществляется гармоническим сигналом

$$u_m = u_0 \sin \Omega t \quad (2)$$

После простых преобразований выражение (1) запишем в виде

$$I_{\text{max}} = I_0 (1 - \cos 2\varphi_0 \cdot \cos 2\Delta\varphi + \sin 2\varphi_0 \cdot \sin 2\Delta\varphi) + \gamma I_0 \quad (3)$$

Подставив в выражение (3) гармоническую функцию (2) и используя разложение по Бесселевским функциям, получим

$$I_{\text{max}} = \frac{1}{2} I_0 \left[1 - J_0 \left(\pi \frac{u_0}{u_{\lambda/2}} \right) \cos 2\varphi_0 + 2 \cos 2\varphi_0 \sum_{k=1}^{\infty} J_{2k} \left(\pi \frac{u_0}{u_{\lambda/2}} \right) \cos 2k\Omega t + 2 \sin 2\varphi_0 \sum_{k=1}^{\infty} J_{2k-1} \left(\pi \frac{u_0}{u_{\lambda/2}} \right) \sin (2k-1)\Omega t + 2\gamma \right], \quad (4)$$

Отсюда видно, что при выбранных нами условиях в спектре фотосигнала будут содержаться компоненты с частотой равной частоте модуляции и кратной ей частотами. Если $\varphi_0 = 0$, то выражение (4) переходит в известное соотношение, характеризующее работу модулятора в нулевой точке статической характеристики пропускания, а если $\varphi_0 = \frac{\pi}{2}$, то в выражение, характеризующее работу модулято-

ра на линейном участке [1]. В первом случае выражение (4) будет содержать только четные, а во втором—только нечетные гармоники частоты модуляции. Исходя из выражения (4) для напряжения фотосигнала можно записать соотношения

$$u_{\varphi}^0 = A (\sin 2\varphi_0) \cdot J_1 \left(\pi \frac{u_0}{u_{\lambda/2}} \right) \quad (5)$$

$$u_{\varphi}^{20} = A (\cos 2\varphi_0) \cdot J_2 \left(\pi \frac{u_0}{u_{\lambda/2}} \right), \quad (6)$$

здесь A —коэффициент пропорциональности,

u_{φ}^0 —напряжение фотоответа на частоте Ω ,

u_{φ}^{20} —напряжение фотоответа на частоте 2Ω ,

J_1, J_2 —функции Бесселя I и II порядка соответственно.

Если выполняется условие $u_0 \ll u_{\lambda/2}$, функции Бесселя можно заменить их приближенными значениями, тогда

$$\left. \begin{aligned} u_{\varphi}^0 &= A \cdot \left(\frac{\pi u_0}{u_{\lambda/2}} \right) \sin 2\varphi_0 \\ u_{\varphi}^{20} &= A \cdot \left(\frac{\pi u_0}{u_{\lambda/2}} \right)^2 \cos 2\varphi_0 \end{aligned} \right\} \quad (7)$$

Из соотношений (7) видно, что в режиме малых напряжений фотосигнал на основной частоте модуляции будет пропорционален первой степени амплитуды модулирующего напряжения, а фотосигнал на удвоенной частоте пропорционален квадрату амплитуды модулирующе-

го напряжения (4), как уже отмечалось, следует, что несмотря на отсутствие внешнего постоянного смещения на модуляторе, при скрепленных поляризаторах и наличии фазового сдвига φ_0 , в спектре фотосигнала содержится сигнал с частотой Ω и кратной ей частотами. Между ними имеется вполне определенное соотношение. Так, для фотооткликов на частотах Ω и 2Ω из формул (5)–(7) можно найти

$$\frac{u_{\varphi}^{20}}{u_{\varphi}^0} = \frac{J_2 \left(\pi \frac{u_0}{u_{\lambda/2}} \right)}{J_1 \left(\pi \frac{u_0}{u_{\lambda/2}} \right)} \operatorname{ctg} 2\varphi_0 \approx \frac{\pi u_0}{u_{\lambda/2}} \operatorname{ctg} 2\varphi_0$$

Отсюда видно, что при модулирующих напряжениях, меньших, чем $u_0^{\min} = \frac{u_{\lambda/2}}{\pi} \operatorname{tg} 2\varphi_0$ фотосигнал u_{φ}^0 на частоте Ω будет всегда больше, чем

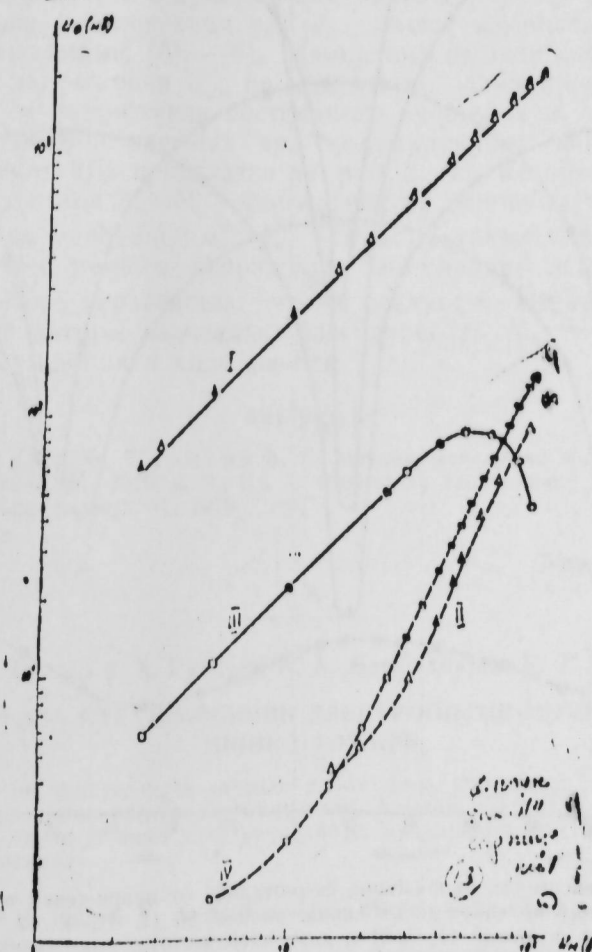


Рис. 1. Зависимость напряжения фотоотклика от амплитуды модулирующего напряжения для модуляторов с кристаллами KTP (I, II) и LiNbO₃ (III, IV) на основной (I, III) и удвоенный (II, IV) частотах модуляции.

фотосигнал u_{φ}^{22} . Таким образом, при скрещенных поляризаторах и наличии φ_0 , в режиме малых модулирующих напряжений в отсутствии постоянного смещения фотосигнал следует регистрировать на основной частоте модуляции. Так, при измерениях на $\lambda=10,6 \text{ мкм}$ и $u_0=4\text{v}$ (модулятор имел $u_{\lambda/2}=2500\text{v}$) фотосигнал на удвоенной частоте обнаружить не удивалось. Естественно, что для каждого конкретного модулятора величина u_0^{\min} будет своя, определяемая фазовым сдвигом φ_0 и может задаваться как характеристический параметр модуляторов.

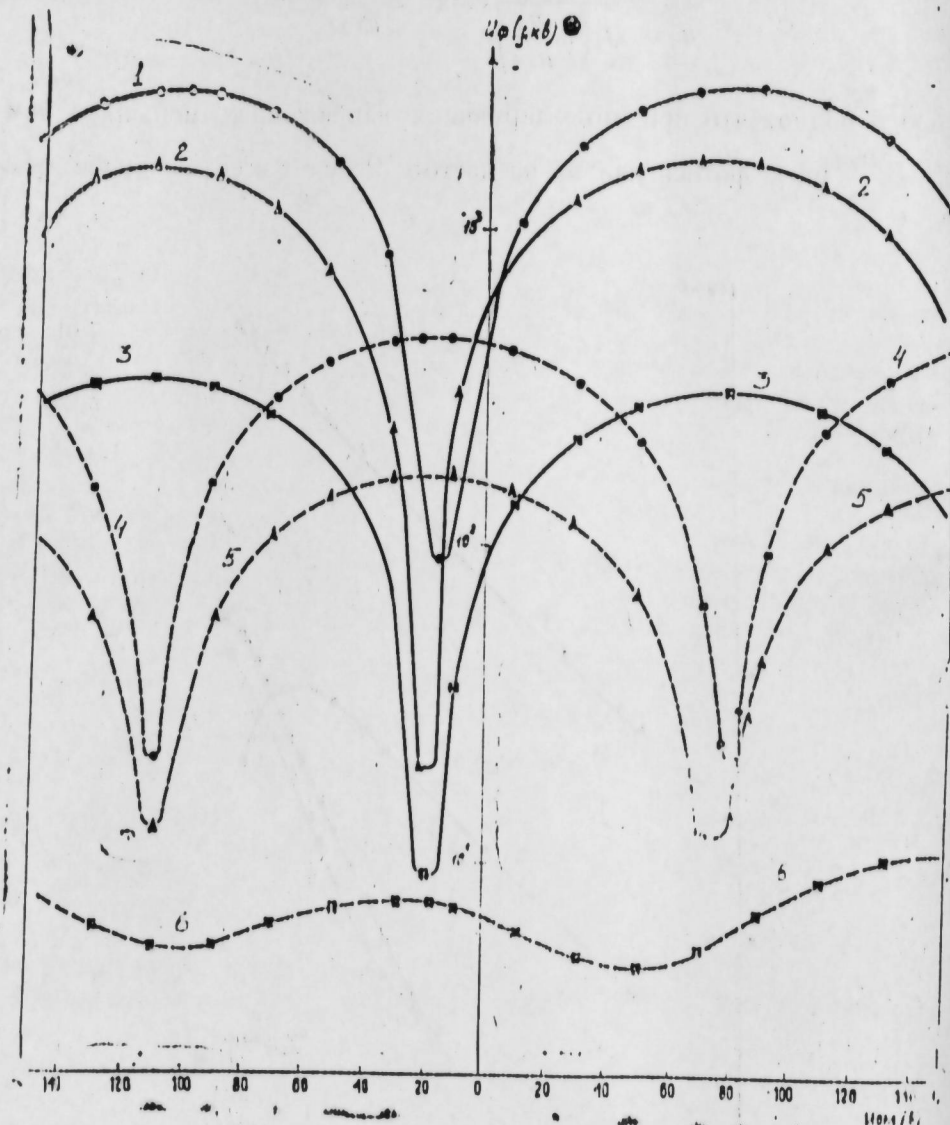


Рис. 2. Зависимость напряжения фотоотклика от напряжения постоянного смещения при модулирующем напряжении, равном 90 (1, 4), 50 (2, 5), 10 в. (3, 6) на основной (1, 2, 3) и удвоенной частотах модуляции.

Для проверки соотношения (7), а косвенно и (4), экспериментально измерялась зависимость фотоотклика от амплитуды модулирующего напряжения $u_{\varphi} = f(u_0)$. На длине волны $\lambda=0,63 \text{ мкм}$ использовались модуляторы с кристаллом дигидрофосфата калия KH_2PO_4 , никеля LiNbO_3 0°-среза и 90°-среза. В качестве фотоприемни-

ков применялись ФЭУ-ЗЛ, фотоэлементы Ф-4 и Ф-5, охлаждаемое фотосопротивление InSb . На длине волны $10,6 \text{ мкм}$ применялся электрооптический модулятор на кристалле арсенида галлия, GaAs [III]-среза. Вследствие идентичности полученных результатов на рис. 1 приводится зависимость $u_{\varphi} = f(u_0)$ только для ФЭУ-ЗЛ, измеренная на модуляторах с кристаллами KH_2PO_4 и LiNbO_3 0°-среза для основной и удвоенной частот. Поскольку масштаб логарифмический, то по наклону графиков можно судить о справедливости соотношений (7) в пределах условия малости модулирующих напряжений. На рис. 1 для модулятора с кристаллом LiNbO_3 , имеющим $u_{\lambda/2}=180\text{v}$ на графике виден максимум в области $70-80\text{v}$ модулирующего напряжения. Это связано с тем, что условие малости модулирующих напряжений нарушается и следует оперировать соотношениями (5) — (6). В области напряжений $70-80\text{v}$ функция Бесселя I порядка имеет максимум $J_1^{\max}(x)=0,5815$, т. е. фотосигнал на частоте Ω должен иметь максимум, соответствующий максимуму на рис. 1. Для модулятора с кристаллом KH_2PO_4 с полуволновым напряжением $u_{\lambda/2}=640\text{v}$ этот максимум должен наблюдаться при модулирующем напряжении $u_m=270\text{v}$. Гармоники фотосигнала с изменением φ_0 и u_0 должны изменяться в соответствии с выражениями (5) — (6). Изменение имитировалось подачей постоянного напряжения $u_{\text{сн}}$ на модулятор. Измерялась зависимость фотосигнала от напряжения постоянного смещения $u_{\varphi} = f(u_{\text{сн}})$ на основной и удвоенной частотах при модулирующих напряжениях 90, 50, 10 в. Результаты приводятся на рис. 2, из которого видно, что при $u_{\text{сн}}=0$ уже при $u_m=50 \text{ v}$ фотосигнал на основной частоте больше фотосигнала на удвоенной $u_{\varphi}^2 > u_{\varphi}^{22}$. Из рис. 2 также следует, что чем меньше φ_0 , тем меньше напряжение модуляции, необходимое для выполнения этого неравенства. Это же следует из выражения для u_0^{\min} . В заключение авторы выражают благодарность М. А. Мехтиеву за полезные обсуждения в ходе работы.

Литература

- Мустель Е. Р., Парыгин В. Н. Методы модуляции и сканирования света. Изд-во «Наука». М., 1970. 2. Ярик А. Квантовая электроника и нелинейная оптика. Изд-во «Сов. радио». М., 1973.

Поступило 27.VII 1977

Ч. О. Гачар, В. А. Гулиев, И. А. Мамедбэли, Е. Ю. Салаев

САБИТ ФАЗА СҮРҮШМЭСИННИН ЕЛЕКТРООПТИК МОДУЛЯТОРУН ИШИНЭ ТЭ'СИРИ

Електрооптик кристалларда яранан сабит фаза сүрүшмэси фотогабуледицид алынан сигналын төзлиг синтетрия тэ'сир едир. Алынан инсебатлар, модулясијадици кэркинилгийн ва оптик шүүшний күчү верилдикдээ, модулятору оптималь иш режимиин сечмэжэ имкан иерир.

Ch. O. Qajar, V. A. Guliev, I. A. Mamedbelly, E. Yu. Salaev

THE INFLUENCE OF CONSTANT PHASE DISPLACEMENT ON THE WORK ELECTROOPTIC MODULATOR

A constant phase displacement carried by electrooptic crystal exerts influence on the frequency spectrum of signal in a photodevice. Obtained correlations enable us to choose the optimal work regime of modulator under the given values of modulating voltage and power of optical beam.

Г. А. АЛЕКПЕРОВ

К ВОПРОСУ О МЕХАНИЗМЕ РАЗЛОЖЕНИЯ ЦИКЛОГЕКСАНА В ТЛЕЮЩЕМ РАЗРЯДЕ В СМЕСИ ЦИКЛОГЕКСАНА—АРГОН

(Представлено академиком АН Азербайджанской ССР Т. Н. Шахтахтиным)

Для осуществления направленного плазмохимического синтеза сложных, органических соединений (включая и полимерные) в неравновесной плазме и, в частности, в плазме разрядов пониженного давления, необходимо в первую очередь изучение механизмов реакций органических соединений в этих условиях. Первым шагом в этом направлении является изучение механизмов разложения органических соединений в неравновесной плазме.

Данная работа предпринята с целью установления механизма разложения циклогексана (как модельного органического соединения) в неравновесной плазме тлеющего разряда в смеси циклогексан—аргон.

Эксперименты проводились на проточной установке тлеющего разряда в следующем диапазоне изменения параметров разряда: давление смеси в реакторе $P=0,57 \pm 2,5$ тор; сила разрядного тока $I=0,5 \pm 2,0$ мА; концентрация циклогексана в смеси $[Ц-C_6H_{12}] = 0,01 \pm 1,0$ об.%; время пребывания в реакционной зоне $\tau = 9 \times 10^{-3} \pm 5 \times 10^{-1}$ сек. Схема плазмохимического реактора приведена на рис. 1. В экспериментах определялись напряженность электрического поля E (двумя зондами), температура тяжелых частиц плазмы T (термопарой), степень разложения циклогексана и продукты разложения (хроматографически). Из полученных значений E , T и P с помощью уравнения состояния рассчитывался параметр E/N (где N —число частиц в cm^3 плазмы), по значению которого устанавливались концентрация n_e , средние энергии \bar{e} и функция распределения электронов по энергиям (ФРЭ). Подробно методика измерения и расчета параметров плазмы описана в [1]. Погрешность в определении параметра E/N составляла $\pm 5\%$, в определении $n_e \pm 15-20\%$. Используя статистическую обработку результатов удалось снизить относительную погрешность определения количества циклогексана в пробе до $\pm 1,5-2,0\%$.

В [2] было высказано предположение, что при малых $[Ц-C_6H_{12}]$ его разложение обусловлено столкновениями с метастабильными атомами аргона и скорость его разложения не зависит от концентрации

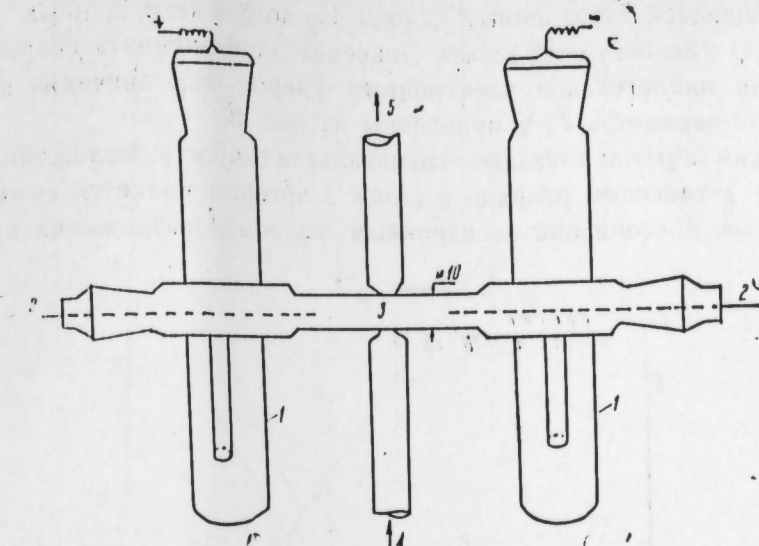


Рис. 1. Схема плазмохимического реактора: 1 — охлаждаемые ловушки с электродами; 2 — электростатические зонды или термопара; 3 — реакционная зона; 4 — подача смеси; 5 — откачка.

циклогексана в смеси. Экспериментально было обнаружено, что при малых добавках циклогексана к аргону (вплоть до 0,05 об. %) скорость его разложения (имеется ввиду начальная скорость разложения, когда вторичными процессами можно пренебречь) можно считать, в пределах экспериментальной погрешности, не зависящей (при постоянстве параметров плазмы) от концентрации циклогексана в смеси. Однако при дальнейшем повышении концентрации циклогексана в смеси скорость его разложения растет с ростом концентрации циклогексана, что указывает на смену преимущественного канала разложения. Экспериментально полученные скорости разложения циклогексана удалось описать как сумму двух процессов: диссоциации циклогексана электронным ударом и его разложение при столкновениях с метастабильными атомами аргона. Таким образом разложение циклогексана можно описать простой формулой:

$$\frac{dC}{dt} = -(K_d n_e C + \Lambda),$$

где: C — концентрация циклогексана, K_d — коэффициент скорости разложения циклогексана электронным ударом, Λ — член, описывающий разложение циклогексана при столкновениях с метастабильными атомами аргона. Как показано в [1], коэффициент Λ пропорционален скорости возбуждения метастабильных атомов аргона электронным ударом и не зависит от концентрации циклогексана в смеси, если параметры плазмы постоянны. На рис. 2 приведена зависимость скорости разложения циклогексана от его концентрации в смеси (параметры плазмы при этом постоянны) для одного из режимов. Там же приведен расчет скорости диссоциации циклогексана электронным ударом по сечению фотодиссоциации циклогексана и ФРЭ. Видно, что при концентрации циклогексана в смеси до 0,05 об. % его разложение в основном обусловлено столкновениями с метастабильными атомами аргона, и при концентрации циклогексана в смеси 1,0 об. %

—диссоциацией электронным ударом. Из полученных данных (по уравнению 1) удалось определить значение коэффициента скорости диссоциации циклогексана электронным ударом. Его значения в зависимости от параметра E/N приведены на рис. 3.

Таким образом показано, что начальная скорость разложения циклогексана в тлеющем разряде в смеси с аргоном является суммой двух процессов: диссоциации электронным ударом и разложения при стол-

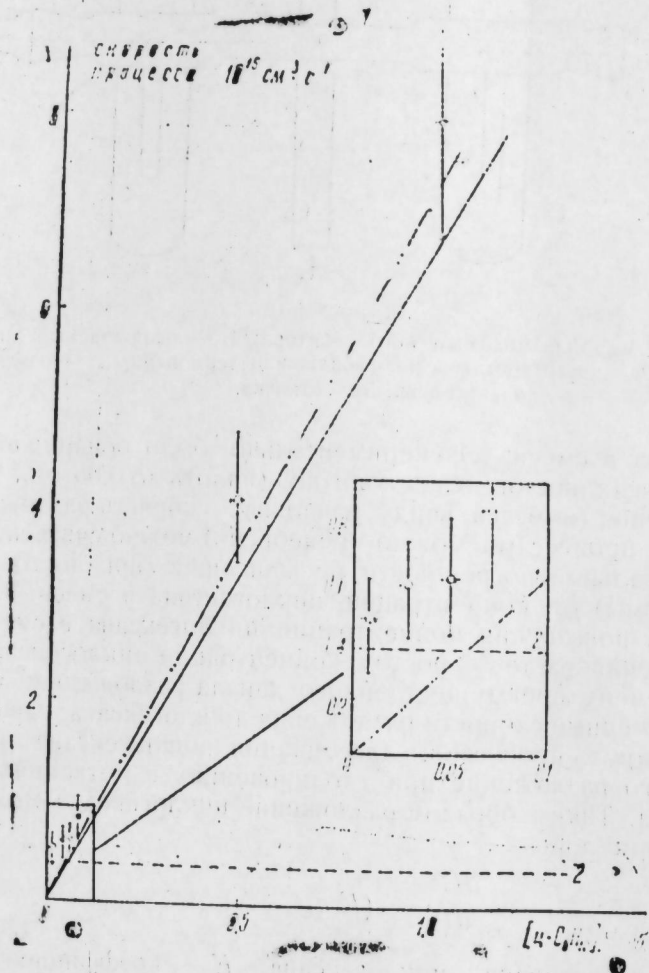


Рис. 2. Зависимость скорости разложения циклогексана от его концентрации в смеси.

Φ — скорость разложения циклогексана (эксперимент):
1 — кэпс (см. формулу); 2 — А (см. формулу); 3 — скорость диссоциации циклогексана электронным ударом (расчет).

кновениях с метастабильными атомами аргона. В интервале изменения параметра E/N от 6×10^{-17} до $2,4 \times 10^{-16} \text{ В} \cdot \text{с} \cdot \text{м}^2$ определен коэффициент скорости диссоциации циклогексана электронным ударом.

Автор считает приятным долгом выразить благодарность сотруднику лаборатории плазмохимии ИНХС АН СССР Д. И. Словецкому за чрезвычайно полезные консультации и обсуждение работы.

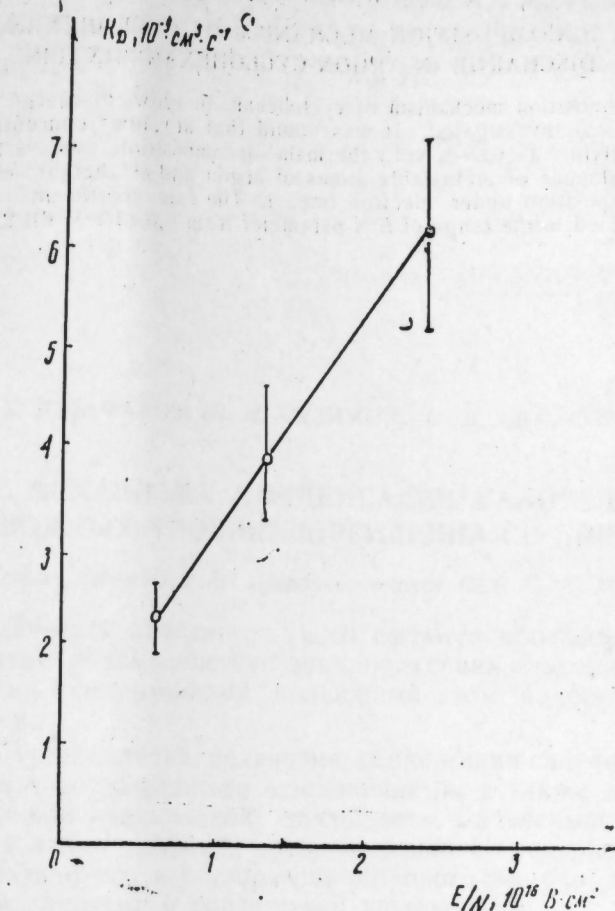


Рис. 3. Зависимость коэффициента диссоциации циклогексана электронным ударом от параметра E/N

Литература

- Алекперов Г. А. Труды конференции молодых ученых ИНХС АН СССР. М., 1977.
- Полак Л. С., Черняк Н. Я. В сб. «Экспериментальные и теоретические исследования неравновесных физико-химических процессов». М., 1974, стр. 468.

Сектор радиационных исследований

Поступило 14. II 1977

И. Э. Эләкбәров

ТСИКЛОХЕКСАНЫН, ТСИКЛОХЕКСАН—АРГОН ГАРЫШЫНЫДАҚЫ ПТИЛДӘЈЕН БОШАЛМАДА ПАРЧАЛАНМАСЫ

Тсиклохексан—аргон гарышының птилдәјен башалмада, тсиклохексанын парчаланмасы процессинин механизми башалманның параметрларинин ашагыда көстәрилән интервалында тәдгиг едилмишиdir: тәэжіг $0,57 \pm 2,5 \text{ тор}$; башалма чәрәҗанының шиддәти $0,5 \pm 2,0 \text{ мА}$; тсиклохексанын гарышындакы гатылығы $0,01 \pm 1,0 \text{ нәчм \%}$.

Мүәжжән едилмишиdir ки, тсиклохексанын парчаланмасы ики процессин тә'сирин иәтичесинде баш верири: электроиларын зәrbасила диссоциасија және метастабил аргон атомлары ила тоггушмада баш верең парчаланма.

E/N параметринин $6 \cdot 10^{-17}$ -дан $2,4 \cdot 10^{-16} \text{ В} \cdot \text{с} \cdot \text{м}^2$ -дәк дәжишмә интервалында электроиларын зәrbеси иәтичесинде тсиклохексанын парчаланмасының сүр'эт әмсалы тә'зин едилмишиdir.

G. A. Alekperov

TO THE DECOMPOSITION MECHANISM OF CYCLOHEXAN IN GLOW
DISCHARGE IN ARGON-CYCLOHEXAN MIXTURE

The decomposition mechanism of cyclohexan in glow discharge in argon-cyclohexan mixture was investigated. It was found that at "low" concentrations of cyclohexan in the mixture (<0,5 % vol.) the main decomposition process is the decomposition under influence of metastable atoms of argon and at "height" one (>0,5 % vol.) It is the decomposition under electron impact. The rate coefficient of the latter process was calculated in the range of E/N parameter from $6,0 \times 10^{-17}$ till $2,4 \times 10^{-16} V \times cm^2$.

АЗЭРБАЙЧАН ССР ЕЛМЛЭР АКАДЕМИЯСЫНЫН МЭРҮЗЭЛЭРИ

ДОКЛАДЫ АКАДЕМИИ НАУК АЗЕРБАЙДЖАНСКОЙ ССР

ТОМ XXXIII ЧИЛД

№ 11

1977

УДК 66. 095. 3:547

ОРГАНИЧЕСКАЯ ХИМИЯ

В. А. ДЖАФАРОВ, Ш. К. КЯЗИМОВ, С. Д. АББАСОВА

ИЗУЧЕНИЕ МЕХАНИЗМА КОНДЕНСАЦИИ ГАЛОГЕНАЛКОКСИ ПРОИЗВОДНЫХ ТИОЭПИХЛОРГИДРИНА СО СПИРТАМИ

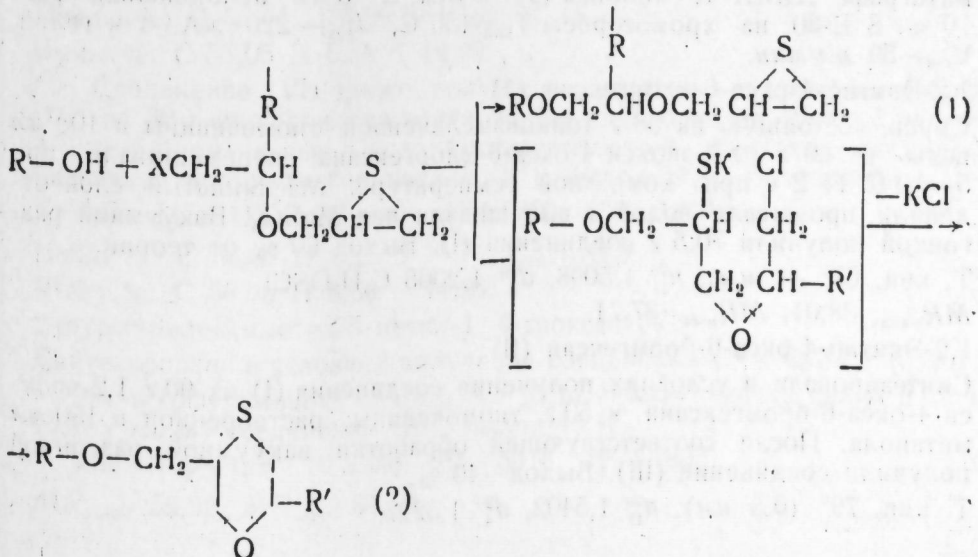
(Представлено академиком АИ Азербайджанской ССР С. Д. Мехтиевым)

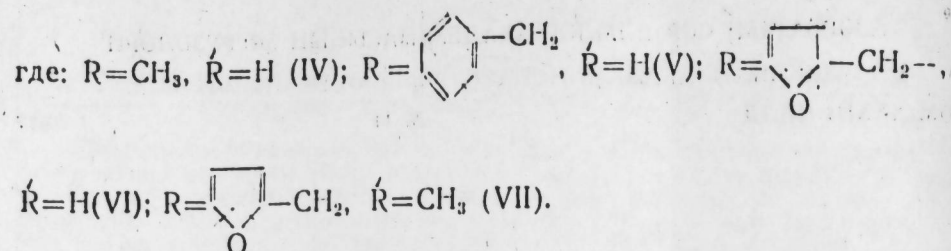
В периодической литературе [1, 2] имеются противоречивые данные о механизме взаимодействия эпихлоргидрина и тиоэпихлоргидрина с соединениями, содержащими подвижный атом водорода в присутствии щелочей.

С целью установления механизма конденсации спиртов с галогенсодержащими эписульфидными соединениями, а также для изучения их относительной реакционной способности в зависимости от месторасположения атома галоида, изучена реакция конденсации β -хлорэтил-, β -бромуэтолового и β -хлоризопропилового эфиров тиоглицидола с различными спиртами в присутствии щелочей [3].

Исследование показало, что указанные тиоглицидные эфиры, также как тиоэпихлоргидрин [4], легко конденсируются со спиртами, что приводит к образованию аддуктов с 45–59 %-ным выходом.

Данные реакции могут протекать по двум направлениям с образованием эписульфидного или 1,4-тиоксанового соединений по схеме:



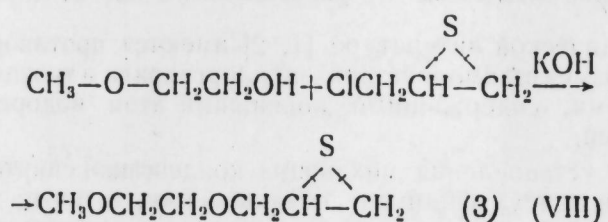


С целью изучения направления указанной реакции, а также установления строения полученного аддукта, последний подвергался физико-химическим исследованиям.

В ИК-спектре полученного аддукта (IV—VII) частоты, характерные для трехчленного эписульфидного цикла отсутствовали, а найденные частоты 1140, 1210, 1270 см^{-1} характерны для циклического тиоэфира.

Газожидкостная хроматограмма показала наличие одного типа в соединении (IV).

Кроме того, одно из предполагаемых трехчленных эписульфидных соединений получено встречным синтезом по реакции:



Физико-химические свойства, в том числе ИК-спектры соединений (VIII), полученных по схеме (3), резко отличались от свойств соединений (IV), полученных взаимодействием β -хлорэтилового эфира тиоглицидола с метиловым спиртом по схеме (2).

ЭКСПЕРИМЕНТАЛЬНАЯ ЧАСТЬ

Хроматограммы полученных соединений (IV) были сняты на хроматографе "ЦВЕТ-1," колонка (J_k =3 Мм, d =3 мм неподвижная фаза 10 %, S E-30 на хромосорбе. $T_{\text{кип}}$ =150°C, $J_{\text{дет.}}$ =220 мА, г-и гелий, $V_{\text{газ.}}$ =50 мл/мин.

1,2-Эпитио-4-окса-6-хлоргексан (I)

Смесь, состоящую из 58 г тонкоизмельченной тиомочевины в 100 мл воды и 60 г 1,2-эпокси-4-окса-6-хлоргексана перемешивали при 5—10°C 1—2 ч при комнатной температуре. Маслянистый слой отделяли, промывали водой и высушивали над MgSO₄. Вакуумной разгонкой получили 70,5 г соединения (I). Выход 60 % от теории.

Т. кип. 67° (1 мм), n_D^{20} 1,5098, d_4^{20} 1,2005 C₆H₉OSCI.

$MR_{\text{найд.}}$ 38,01, $MR_{\text{выч.}}$ 37,71.

1,2-Эпитио-4-окса-6-бромгексан (II)

Синтезировали в условиях получения соединения (I) из 90 г 1,2-эпокси-4-окса-6-бромгексана и 50 г тиомочевины, растворенной в 150 мл метанола. После соответствующей обработки вакуумной разгонкой получили соединение (III). Выход—40 %.

Т. кип. 79° (0,5 мм), n_D^{20} 1,5402, d_4^{20} 1,5227.

C₆H₉OSBr. $MR_{\text{найд.}}$ 40,61, $MR_{\text{выч.}}$ 40,61.

1,2-Эпитио-4-окса-5-метил-6-хлоргексан (III)

Получили в условиях синтеза соединения (I) из 73 г 1,2-эпокси-4-окса-5-метил-6-хлоргексана и 52 г тиомочевины в 100 мл воды. Выход—56 % от теории.

Т. кип. 81—82° (1 мм), n_D^{20} 1,4960, d_4^{20} 1,1535 C₆H₁₁OSCI

$MR_{\text{найд.}}$ 42, 24, $MR_{\text{выч.}}$ 42,33.

2-Метоксиметил-1,4-тиоксан (IV)

К смеси, состоящей из 16 г (0,5 г-молль) свежеперегнанного метилового спирта, 12 г (0,21 г-молль) порошкообразного едкого калия, перемешиванием при комнатной температуре по порциям подавали 32,2 г (0,21 г-молль) соединения (I) в течение 1 ч. Перемешивание продолжали 2 ч при 60—65°C. Затем продукт реакции промывали водой, сушили и вакуумной разгонкой выделили 10,65 г соединения (IV). Выход—30 % от теории.

Т. кип. 108—110° (12,5 мм), n_D^{20} 1,4965, d_4^{20} 1,0891.

$MR_{\text{найд.}}$ 38,69, $MR_{\text{выч.}}$ 39,27.

Найд., %: С 48,21 Н 8,01 S 21,13

48,43 8,32 21,50

C₆H₁₂O₂S. Выч., %: С 48,60 Н 8,16 S 21,62

2-Бензилоксиметил-1,4-тиоксан (V)

Получили в условиях синтеза соединения (IV) из 43,2 г (0,4 г-молль) бензилового спирта, 14,15 г (0,25 г-молль) едкого калия и 38,25 г (0,25 г-молль) соединения (I). Выход—50 % от теории.

Т. кип. 139—141° (1 мм), n_D^{20} 1,5653, d_4^{20} 1,0825

$MR_{\text{найд.}}$ 67,51, $MR_{\text{выч.}}$ 67,83

Найд., %: С 64,50 Н 6,91 S 14,03. C₁₂H₁₆O₂S.

Выч., %: С 64,25 Н 7,18 S 14,29.

2-Фурфурилоксиметил-1,4-тиоксан (VI)

Получили в условиях соединения (IV) из 40 г (0,5 г-молль) фурфурилового спирта, 6,3 г (0,1 г-молль) едкого калия и 16,85 г соединения (I). Выход—45 %.

Т. кип. 117—118° (1 мм), n_D^{20} 1,5308, d_4^{20} 1,1843

$MR_{\text{найд.}}$ 55,76, $MR_{\text{выч.}}$ 56,49.

Найд., %: С 56,41 Н 6,30 S 14,62. C₁₀H₁₄O₃S.

Выч., %: С 56,05 Н 6,58 S 14,96

Соединение (VI) также получили в условиях синтеза соединения (IV) из 30 г фурфурилового спирта, 8 г едкого калия, 20 г 1,2-эпитио-4-окса-6-бромгексана. После соответствующей обработки вакуумной разгонкой получили соединение (VI). Выход—59 % от теории.

Т. кип. 117—118°C (1 мм); n_D^{20} 1,5306, d_4^{20} 1,1840.

Найд. %: С 56,32 Н 6,25 S 14,71. C₁₀H₁₄O₃S.

Выч., %: С 56,05 Н 6,58 S 14,96.

2-Фурфурилоксиметил-5-метил-1,4-тиоксан (VII)

Синтезировали в условиях получения соединения (IV) из 30 г (0,375 г-молль) фурфурилового спирта, 8 г (0,14 г-молль) едкого калия и 23,4 г (0,14 г-молль) соединения (III). Выход—48 %.

Т. кип. 120—122° (0,5 мм), n_D^{20} 1,5318, d_4^{20} 1,1803

$MR_{\text{найд.}}$ 59,92, $MR_{\text{выч.}}$ 60,12.

Найд., %: С 57,64 Н 6,86 S 13,80. $C_{11}H_{10}O_3S$.

Выч., %: С 57,87 Н 7,063 S 14,043

1,2-эпитио-4,7-диоксаоктан (VIII).

К смеси, состоящей из 60,8 г-моль метоксиэтанола и 67,1 г (0,6 г-моль) тиоглицидрина, при перемешивании по порциям подавали: 3 г (0,4 г-моль) KOH. Далее к содержимому колбы добавляли 200 мл эфира и нагревали при 35–36°C еще 3 ч. Продукт реакции промывали водой, сушили над $MgSO_4$ и вакуумной разгонкой выделили 35,6 г соединения (VIII). Выход 46 % от теории.

T. кип. 65–66°C (2 ми), n_D^{20} 1,4750, d_4^{20} 1,060,

$MR_{\text{нод}}$ 39, 36, $MR_{\text{вир}}$ 39,27.

Найд., %: С 48,13 Н 8,01 S 21,17.

48,51 8,33 21,46. $C_6H_{12}O_2S$.

Выч., %: С 48,62 Н 8,16 S 21,62

Выводы

Изучена реакция конденсации β -хлорэтил-, β -бромэтил-, β -хлоризопропилового эфиров тиоглицидола со спиртами в присутствии едкого калия. Установлено, что конденсация названных соединений протекает не прямым обменом атома галогена, а сопровождается раскрытием трехчленного эписульфидного цикла с последующим замыканием образующегося промежуточного продукта и приводит к образованию производных 1,4-тиоксаны.

Литература

1. Sander M. Monatsch. chim., 96, 896, 1965.
2. Пакен А. М. Эпоксидные соединения и эпоксидные смолы. Госхимиздат, 1962.
3. Джагаров В. А., Садыхзаде С. И. Тез. докл. Второй Всесоюз. конф. по эпоксидным мономерам и эпоксидным смолам. Днепропетровск, 1974.
4. Джагаров В. А., Садыхзаде С. И. Материалы научной конференции ленинград. АН Азерб. ССР. Баку, 1973; Фокин А. В., Коломин А. Ф. "Усп. химии", т. X, IV, 1975, стр. 328.

Сумг. фил. ИИХП

Поступило 1. IV 1977

В. Э. Чәфәров, Ш. К. Қазымов, С. Ч. Аббасова

ТИОЕПИХЛОРЫДРИНИН ҲАЛЛОКЕНАЛКОКСИ ТӨРӘМӘЛӘРИНИН СПИРТЛӘРЛӘ КОНДЕНСЛӘШМӘ РЕАКСИЯСЫ МЕХАНИЗМИНИН ТӘДГИГИ

Мәгаләдә тиоепихлорыдринин β -хлорэтил, β -бромэтил, β -хлоризопропил эфиры, тиоглицидол и спиртының иштиракы илә конденсләшмә реаксијасы өзәнилмиң пәмүәҗәи едилинишdir ки, реаксија һаллокенин бирбаша әвәз олуимасы илә кетмир, үчүзүүлүү әпісүлфид һәлгәсендүү түрлөлөр аралыг мәңсүл алымагла 1,4-тиоксан тәрәмәләри эмәлә көлир.

V. A. Dzhafarov, Sh. K. Kyazimov S. D. Abbasova

STUDY OF CONDENSATION MECHANISM OF HALOALKOXY DERIVATIVES OF THIOEPICHLOROHYDRINE WITH ALCOHOLS

The condensation reaction of β -chloroethyl, β -bromoethyl, β -chloroisopropyl ethers of thioglycidol with alcohols in the presence of potassium hydroxide was studied. It was established that the condensation of abovementioned compounds proceeds not by direct exchange of halogen atom but is accompanied by opening of three-membered episulphide cycle with following closing of formed intermediate and leads to the formation of 1,4-thioxane derivatives.

АЗЭРБАЙЧАН ССР ЕЛМЛӘР АКАДЕМИЈАСЫНЫН МӘРҮЗӘЛӘРИ

ДОКЛАДЫ АКАДЕМИИ НАУК АЗЕРБАЙДЖАНСКОЙ ССР

ТОМ XXXIII ЧИЛД

№ 11

1977

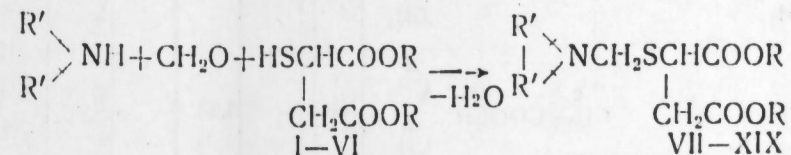
УДК 547. 279+547. 461. 4

ОРГАНИЧЕСКАЯ ХИМИЯ

Акал. А. М. КУЛИЕВ, К. З. ГУСЕЙНОВ, Н. А. АЛИЕВ, А. К. ИБАД-ЗАДЕ,
Н. Ю. ИБРАГИМОВ

СИНТЕЗ ДИАЛКИЛОВЫХ ЭФИРОВ МЕРКАПТОЯНТАРНОЙ КИСЛОТЫ И КОНДЕНСАЦИЯ ИХ С ФОРМАЛЬДЕГИДОМ И ВТОРИЧНЫМИ АМИНАМИ

Продолжая исследование производных янтарных кислот [1–2], в настоящей работе осуществлен синтез ряда диалкиловых эфиров меркаптоянтарной кислоты и изучена реакция последних с формальдегидом и вторичными аминами. Указанныя реакция экзотермична и приводит к образованию ди (алкоксикарбонил) сукцинил-диалкиламино-метилсульфидов.



R = CH_3 (I), C_2H_5 (II), $(\text{CH}_3)_2\text{CH}$ (III), C_4H_9 (IV),
 $\text{C}_2\text{H}_5\text{OCH}_2\text{CH}_2$ (V), $\text{C}_4\text{H}_9\text{CH}(\text{C}_2\text{H}_5)\text{CH}_3$ (VI);

R = CH_3 : R' = C_2H_5 (VII), N-пиперидил (VIII), N-морфорил (IX);

R = C_2H_5 ; R' = CH_3 (X), C_2H_5 (XI), N-пиперидил (XII), N-морфорил (XIII);

R = $(\text{CH}_3)_2\text{CH}$: R' = CH_3 (XIV), C_2H_5 (XV), N-пиперидил (XVI),
N-морфорил (XVII);

R = C_4H_9 ; R' = CH_3 (XVIII), C_2H_5 (XIX).

Соединения (I–VI) синтезированы этерификацией меркаптоянтарной кислоты с соответствующими спиртами в присутствии хлористого водорода.

Диалкиловые эфиры меркаптоянтарной кислоты и их аминометильные производные представляют собой бесцветные жидкости, хорошо растворимые в органических растворителях и нерастворимые в воде.

Состав и строение синтезированных соединений подтверждены данными элементного анализа, а также методами ИК-и ПМР-спектроскопии.

В ИК-спектрах соединений (I–VI) имеются полосы поглощения в области 2575–2570 и 1750–1745 cm^{-1} , характерные для колебаний

Таблица 1
Спектры ПМР эфиров меркаптояントарной кислоты (I—VI) и их аминометильных производных (XIII—XVII)

№ сое- дине- ния	Соединение	Химические сдвиги δ , м. д.							
		α	β	γ	δ	ϵ	δ	ϵ	η
I	HS—CH—COOCH ₃	3,68	—	—	—	3,73	2,47	2,31	
	CH ₂ —COOCH ₃	3,77	—	—	—	3,3	—	—	
II	HS—CH—COOCH ₂ CH ₃	1,25	4,07	—	—	3,6	2,3	2,1	
	CH ₂ —COOCH ₂ CH ₃	1,28	4,13	—	—	3,2	—	—	
III	HS—CH—COOCH ₂ CH ₃	1,21	4,92	—	—	3,58	2,3	2,1	
	CH ₂ —COOCH ₂ CH ₃	1,24	—	—	—	3,17	—	—	
IV	HS—CH—COOCH ₂ CH ₂ CH ₂ CH ₃	0,93	1,1	1,1	4,00	3,63	2,3	2,1	
	CH ₂ —COOCH ₂ CH ₂ CH ₂ CH ₃	—	1,97	1,97	4,07	3,2	—	—	
V	O N—CH ₂ —S—CH—COOCH ₂ CH ₃	1,18	3,66	3,56	2,2	3,3	2,2	3,3	
	CH ₂ —COOCH ₂ CH ₃	1,21	4,3	4,3	2,6	3,66	3,1	3,66	
VI	CH ₃ N—CH ₂ —S—CH—COOCH ₂ CH ₃	1,18	4,9	3,93	2,27	3,53	2,1	—	
	CH ₂ —COOCH ₂ CH ₃	1,21	—	4,13	—	—	—	—	
VII	CH ₃ CH ₂ N—CH ₂ —S—CH—COOCH ₂ CH ₃	1,18	4,9	4,13	2,57	3,5	2,1	1,05	
	CH ₂ —COOCH ₂ CH ₃	1,21	—	4,27	—	—	—	—	
VIII	CH ₃ CH ₂ N—CH ₂ —S—CH—COOCH ₂ CH ₃	1,18	4,9	4,08	2,2	3,53	2,2	1,2	
	CH ₂ —COOCH ₂ CH ₃	1,21	—	4,11	2,7	—	3,1	1,85	
IX	CH ₃ CH ₂ N—CH ₂ —S—CH—COOCH ₂ CH ₃	1,18	4,9	3,83	2,25	3,4	2,25	3,4	
	CH ₂ —COOCH ₂ CH ₃	1,21	—	4,04	2,7	3,7	3,1	3,7	

Таблица 2

Диалкиловые эфиры меркаптояントарной кислоты HS—CH—COOR
CH₂—COOR

№ сое- дине- ния	R	Выход, %	T , кип. (P , мм)	d_4^{20}	ρ_D^{20}	M/R_D			Формула	Вычислено, %
						найдено	вычис- лено	С		
I	CH ₃	63	83—84* (1,5)	1,2159	1,2159	40,5	41,3	40,56	C ₆ H ₁₀ O ₄ S	40,44
II*	C ₂ H ₅	61	89—90 (1,2)	1,12,9	1,4593	50,26	56,72	59,93	C ₉ H ₁₄ O ₄ S	46,56
III	нзо-C ₂ H ₅	56	90—91 (0,8)	1,0565	1,4504	59,64	51,22	51,50	C ₁₀ H ₁₅ O ₄ S	51,56
IV	C ₄ H ₉	53	136—138 (1,2)	1,0513	1,4602	68,38	68,73	65,13	C ₁₂ H ₂₂ O ₄ S	54,93
V	CH ₂ CH ₂ OC ₂ H ₅	58	152—153 (0,8)	1,1335	1,1652	71,79	72,02	79,16	C ₁₂ H ₂₂ O ₅ S	48,96
VI	C ₄ H ₉ —CH—CH ₂ C ₂ H ₅	69	178—180 (0,6)	0,978	1,4622	105,63	105,21	10,37	C ₂₂ H ₃₅ O ₄ S	64,12

* Литературные данные [4]: т. кип. 15°C (9 мм).

Ди(алоксикарбонил) сукцинил-диалкиламинометилсульфиды

Таблица 3

$R'>NCH_2SCH_2COOR$

№ соединения	R	$R'>N$	Выход, %	T, кип. (P, мм)	d_4^{20}	n_D^{20}	MRD		Найдено, %			Формула	С	Н	N	S	Вычислено, %
							най- вычис- лено	най- вычис- лено	С	Н	N						
VII	CH ₃	C ₂ H ₅	75	127—128° (0,9)	1,1056	1,4817	67,64	68,25	50,42	8,16	5,29	12,11	C ₁₁ H ₂₁ NO ₂ S	50,17	8,04	5,32	12,17
VIII	CH ₃	N-пиперидил	86	142—143 (0,8)	1,1450	1,4979	70,47	70,66	52,46	7,73	5,11	11,59	C ₁₂ H ₂₁ NO ₂ S	52,34	7,63	5,9	11,61
IX	CH ₃	N-морфолил	88	148—149 (0,8)	1,2031	1,4992	67,70	67,69	47,72	6,98	5,00	11,37	C ₁₁ H ₁₉ NO ₂ S	47,63	6,91	5,05	11,56
X	C ₂ H ₅	CH ₃	77	112—113 (0,7)	1,0849	1,4731	68,37	68,25	50,27	8,21	5,16	12,00	C ₁₁ H ₂₁ NO ₂ S	50,17	8,04	5,2	12,17
XI	C ₂ H ₅	C ₂ H ₅	74	132—133 (0,9)	1,4503	1,4721	77,72	77,48	53,63	8,71	4,69	10,89	C ₁₃ H ₂₅ NO ₂ S	53,58	8,65	4,81	11,01
XII	C ₂ H ₅	N-пиперидил	89	153—156 (0,8)	1,0918	1,4856	79,63	79,90	55,58	8,14	4,42	10,18	C ₁₄ H ₂₅ NO ₂ S	55,42	8,31	4,61	10,55
XIII	C ₂ H ₅	N-морфолил	91	154—156 (0,7)	1,1435	1,4884	77,04	76,93	51,46	7,63	4,47	10,22	C ₁₃ H ₂₃ NO ₂ S	51,13	7,59	4,58	10,49
XIV	i-C ₃ H ₇	CH ₃	75	1,8—1,9 (1,0)	1,0306	1,4632	77,50	77,48	53,49	8,71	4,67	11,13	C ₁₃ H ₂₅ NO ₂ S	53,58	8,65	4,81	11,40
XV	i-C ₃ H ₇	C ₂ H ₅	80	138—139 (0,9)	1,0103	1,642	87,27	86,73	56,56	9,33	4,12	9,89	C ₁₅ H ₂₅ NO ₂ S	56,59	9,15	4,38	10,03
XVI	i-C ₃ H ₇	N-пиперидил	86	1,6—1,48 (0,8)	1,0465	1,4787	89,50	89,14	57,81	8,98	4,9	4,32	C ₁₆ H ₂₉ NO ₂ S	57,97	8,82	4,22	9,67
XVII	i-C ₃ H ₇	N-морфолил	84	163—164 (0,9)	1,0936	1,4800	86,39	86,18	54,25	8,19	4,16	9,63	C ₁₅ H ₂₇ NO ₂ S	54,03	8,16	4,20	9,61
XVIII	C ₄ H ₉	CH ₃	72	149—151 (0,9)	1,0223	1,4685	6,97	86,72	56,50	9,31	4,18	10,00	C ₁₅ H ₂₅ NO ₂ S	56,39	9,15	4,38	10,3
XIX	C ₄ H ₉	C ₂ H ₅	78	170—172 (1,2)	1,0141	1,4699	95,61	95,95	58,89	9,53	4,11	9,08	C ₁₇ H ₃₁ NO ₂ S	58,75	9,57	4,03	9,22

групп SH и C=O соответственно [3]. Отсутствие полосы с частотой 2575—2570 с^{-1} в ИК-спектрах соединений (VII—XIX) указывает на участие группы SH эфиров меркаптоитарной кислоты в реакции аминометилирования.

В спектрах ПМР соединений (I—VI) имеются сигналы протонов SH группы при 2,1—2,31 м. д. (табл. 1), которые проявляются в виде дублета с $J=9 \text{ Гц}$ в процессе взаимодействия с метиновыми протонами.

В спектрах ПМР соединений (VII—XIX) исчезает сигнал от протона SH группы и наблюдаются сигналы от протонов метиленовой группы фрагмента $>\text{N}-\text{CH}_2-\text{S}-$, которые неэквивалентны (23,56—4,13 и 4,04—4,3 м. д.) и проявляются в виде AB-спектра с $J_{AB}=12 \pm 0,2 \text{ Гц}$.

ЭКСПЕРИМЕНТАЛЬНАЯ ЧАСТЬ

ИК-спектры веществ сняты на приборе UR-10 в тонком слое. Спектры ПМР записаны на спектрометре Varian T=60 с рабочей частотой 60 МГц в растворе CCl_4 , внутренний стандарт—TMC.

Дибутиловый эфир меркаптоитарной кислоты (IV). В смесь 30 г (0,2 г—мол) меркаптоитарной кислоты и 296 г (4 г—мол) бутилового спирта пропускали хлористый водород до насыщения. Затем смесь кипятили в течение 10 ч, после чего продукт экстрагировали бензолом, промывали водой до нейтральной реакции и высушивали над безводным сернокислым натрием. После отгонки бензола и избытка спирта, продукт перегоняли под вакуумом.

Аналогично получили соединения (I—III, V—VI), характеристика которых приведена в табл. 2.

Ди(метоксикарбонил)сукинил-диэтиламинометилсульфид (VII). К 9 г 36%-ного водного раствора формальдегида при 25—30°C постепенно прибавляли 8 г диэтиламина. Затем к этой смеси при комнатной температуре добавляли 17,8 г (0,1 г—мол) диметилового эфира меркаптоитарной кислоты. При этом наблюдается повышение температуры реакционной смеси. Содержимое колбы нагревали при 70—80°C в течение 4—5 ч, затем продукт экстрагировали эфиром, промывали водой, высушивали над безводным сернокислым натрием. Эфир отгоняли, а продукт перегоняли под вакуумом.

Аналогично получили и другие аминометильные производные диалкиловых эфиров меркаптоитарной кислоты.

Характеристика соединений (VII—XIX) приведена в табл. 3.

Выводы

Осуществлен синтез ряда диалкиловых эфиров меркаптоитарной кислоты и изучена реакция последних с формальдегидом и вторичными аминами. Установлено, что указанная реакция экзотермична и приводит к образованию ди(алоксикарбонил)сукинил-диалкиламинометилсульфидов.

Литература

- Кулиев А. М., Алиев Н. А., Гусейнов К. З., Алиев З. Э., Ибрагимов Н. Ю., ЖОРХ, 10, 180, 1974.
- Кулиев А. М., Алиев Н. А., Гусейнов К. З., Алиев З. Э., Ибрагимов Н. Ю., ДАН Азерб. ССР, 32, № 2, 21, 1976.
- Беллами Л. Инфракрасные спектры сложных молекул. ИЛ, 1963. 4. Чехосл. пат. 85677, 1956; РЖХим., № 15, 51363 П, 1959.

Институт химии присадок

Поступило 23. V 1977

Ә. М. Гулиев, Г. З. Гусейнов, Н. А. Элиев, А. Г. Ибадзадә,
Н. І. Ибраһимов

МЕРКАПТОАНТАР ТУРШУСУНУН ДИАЛКИЛ ЕФИРЛӘРИНИН
АЛЫНМАСЫ ВӘ ОИЛАРЫН ФОРМАЛДЕЙИД ВӘ ИКИЛИ АМИНЛӘРЛӘ
КОНДЕНСЛӘШМӘСИ

Мәгәләдә меркаптоантар туршусунун диалкил ефирләринин алымасындан вә
оипарын формалдеиндән вә икили аминләрдә конденсләшмәсі реaksiясындан бәнс
олуулар. Көстәрилән реaksiя экзотермикләр вә ди(алкокенкарбонил)суксениил-диалкил
аминометилсульфидләрин алымасы илә пәтичәләнип.

А. М. Kuliev, K. Z. Guseinov, N. A. Aliev, A. K. Ibad-zade, N. Yu. Ibragimov

SYNTHESIS OF DIALKYL ESTERS OF MERCAPTOSUCCINIC ACID AND
THEIR CONDENSATION WITH FORMALDEHYDE AND SECONDARY AMINES

A series of dialkyl esters of mercaptosuccinic acid was synthesized and the reaction of the latter with formaldehyde and secondary amines was studied.

It was established that the reaction was exothermic and resulted in the formation of succinyl dialkylaminomethyl sulphides.

АЗЭРБАЙЧАН ССР ЕЛМЛӘР АҚАДЕМИЈАСЫНЫН МӘРҮЗӘЛӘРИ
ДОКЛАДЫ АКАДЕМИИ НАУК АЗЕРБАЙДЖАНСКОЙ ССР

ТОМ XXXIII ЧИЛД

№ 11

1977

УДК 622. 279. 1/4

РАЗРАБОТКА ГАЗОВЫХ И
ГАЗОКОНДЕНСАТНЫХ МЕСТОРОЖДЕНИЙ

Чл.-корр. М. Т. АБАСОВ, Ф. Г. ОРУДЖАЛИЕВ, А. А. АХМЕДОВ,
Н. М. ДЖАФАРОВА

К СОВЕРШЕНСТВОВАНИЮ МЕТОДОВ ПРОЕКТИРОВАНИЯ
РАЗРАБОТКИ ГАЗОКОНДЕНСАТНЫХ МЕСТОРОЖДЕНИЙ

Бурное развитие газовой промышленности страны в значительной степени связано с разработкой газоконденсатных месторождений. Ввод в промышленную разработку большого числа новых и эффективное освоение запасов, находящихся в эксплуатации газоконденсатных месторождений диктует необходимость дальнейшего повышения качества проектных решений.

Для удовлетворения возросших требований к проектно-изыскательским работам необходимо наличие надежного прогноза сложных процессов в газоконденсатных пластах с различными природными условиями при учете воздействия на них различных технологических предпосылок; обоснованность экономических оценок каждого предлагаемого варианта разработки в условиях многовариантного рассмотрения поставленной задачи; объективности принимаемого решения по данному месторождению с обеспечением интересов всего района.

В Институте проблем глубинных нефтегазовых месторождений АН Азерб. ССР в течение ряда лет выполнялись исследования по созданию и совершенствованию теоретических основ проектирования разработки газоконденсатных месторождений. Результатом этих исследований явилось создание эффективных гидродинамических расчетных схем проектирования и анализа разработки газоконденсатных месторождений, учитывающих специфику течения углеводородных жидкостей в пористой среде и притока ее к скважинам, неоднородность пластов по основным параметрам.

На основании изучения опыта разработки многих, в том числе и морских газоконденсатных месторождений, обобщения опыта экономических исследований в различных нефтегазодобывающих районах подготовлены расчетные методы оценок экономической эффективности разработки газоконденсатных месторождений с обеспечением уравнивания вариантов по объему продукции, приведения экономических показателей всех периодов к начальному году и др. Специальными экономическими исследованиями установлен эффективный способ определения предельного минимального запаса, приходящегося на одну скважину, который в различных природных условиях обеспечивает рентабельную разработку месторождения.

Сказанное позволило приступить к решению принципиально нового класса задач, направленного на автоматизацию процесса проектирования разработки газоконденсатных месторождений, что может быть достигнуто путем создания пакета программ для решения этих задач в различных режимах. Нами описываются возможности первой из разработанных в ИПГНГМ АН Азерб. ССР таких программ.

Задача заключается в определении оптимального варианта разработки газоконденсатного месторождения на газовом режиме при заданных ограничениях. Оптимум ищется в заданном интервале изменения количества скважин путем многовариантных расчетов показателей процесса. Каждому варианту ставится в соответствие вычисленная величина суммарных приведенных затрат.

Задача может решаться для случаев планового задания на добычу газа и с учетом ввода скважин по годам, с восстановлением истории разработки или без нее. Плановое задание на добычу газа при этом может быть задано и в виде темпа отбора в период нарастающей добычи с уровнем отбора газа в период постоянной добычи.

Назовем общим расчет, который ведется с нарастающим числом скважин от начального момента времени до момента, когда срабатывает один из следующих критериев, останавливающих общий расчет:
— достигнут заданный уровень исчерпания запасов,
— приведенные затраты в текущем году превысили допустимый уровень (экономический критерий).

В зависимости от задания значений управляющих параметров программа осуществляет такой расчет для одного из указанных случаев. В обоих случаях общий расчет сначала идет с нарастающим числом скважин, пока оно не достигнет некоторого заданного числа скважин. Начиная с этого момента производится расчет подвариантов с фиксированным числом скважин, что соответствует периоду падающей добычи. Остановка расчетов осуществляется на основании отмеченных критериев. Каждый следующий по времени подвариант отличается от предыдущего на какое-то заранее заданное число, а при необходимости и на одну скважину. При выходе на подвариант программа обеспечивает запоминание текущего состояния, к которому возвращается по завершении расчетов в данном подварианте. Таким образом полный цикл расчетов обеспечивает рассмотрение всех вариантов разработки в интересующем нас интервале изменения таких параметров, как продолжительность периода постоянной добычи, максимальное количество потребных скважин, общий срок разработки и т. д.

И общий расчет, и каждый подвариант завершаются формированием следующих таблиц:

- таблица основных технологических показателей (вычисленных на конец каждого месяца),
- таблица интегральных показателей (по годам разработки),
- таблица нарастающей добычи,
- таблица технико-экономических показателей.

На основании данных последней таблицы производится оценка текущего варианта разработки. На печать выводятся результаты варианта разработки с минимальными приведенными суммарными затратами и заданного количества близких к нему вариантов. Результаты таких оценок по всем рассмотренным вариантам служат основанием для выбора оптимального с технико-экономической точки зрения варианта.

Таким образом, на основании целенаправленных исследований по теории фильтрации газоконденсатных смесей, серьеziных обобщений в области практики разработки месторождений и специальных экономических исследований, в Институте проблем глубинных нефтегазовых месторождений АН Азерб. ССР созданы экономико-математическая модель и соответствующие алгоритмы и программа решения на ЭВМ БЭСМ-6 задач разработки газоконденсатных месторождений, впервые обеспечившие автоматизацию процесса проектирования их разработки на газовом режиме при задании в более общем виде условий решения.

ИПГНГМ

Поступило 20. VII 1977

М. Т. Абасов, Ф. Г. Оруджалиев, А. А. Эхмедов, Н. М. Чәфәрова

ГАЗ-КОНДЕНСЭ ІАТАГЛАРЫ ИШЛӘНМӘСИНИН ЛАЙНӘЛӘШДИРМӘ
МЕТОДЛАРЫНЫН ТӘКМИЛЛӘШДИРИЛМӘСИНӘ ДАИР

Мәгәләдә газ-конденсэ йатагларынын ишләнмәси мәсәләләрини һМ БСМ-6 да һәлл етмәк үчүн иғтисади-ријази модел, она иштән алган алгоритмләр вә һесабат программынын йарадылмасы илә багыт мәсәләнни гојулушу вә һәллү көстәрилүр. Бу һәлл илк дәфә йатагларын газ режиминде ишләнмәсинин лайнәләшдирмә просесинин автоматлаштырылышына имкан бермишилдир.

M. T. Abasov, F. G. Orudjaliev, A. A. Akhmedov, N. M. Jafarova

TO THE IMPROVEMENT OF METHODS OF PROJECTING OF THE
DEVELOPMENT OF GAS CONDENSATE FIELDS

The article gives the statement and solution of an important problem on the building of an economico-mathematical model and corresponding algorithms and programmes of solution of development problems of gas condensate fields on the computer BESM-6, have first provided the automation of the projecting process of their development at gas drive.

УДК 59.313.7

МИНЕРАЛОГИЯ

С. Ф. ВЕЛИЗАДЕ, Э. Н. ЭФЕНДИЕВА, И. Ф. НАГИЕВ

О ВИВИАНИТЕ ИЗ КАЦДАГСКОГО МЕСТОРОЖДЕНИЯ

(Представлено академиком АН Азербайджанской ССР А. Д. Султановы м.)

Кацдагское колчеданно-полиметаллическое месторождение расположено в азербайджанской части южного склона Большого Кавказа и представлено линзо- и жилообразными рудными телами, залегающими среди песчано-глинистых отложений нижнего аалена [6]. Сульфидные залежи месторождения сложены массивной и полосчатой текстурой сплошными рудами, сопровождающимися ореолом прожилково-вкрашенного оруденения. По качественному соотношению главных минералов здесь выделяются четыре типа руд: колчеданно-полиметаллические, медно-пирротиновые, "смешанные" и кварц-полиметаллические. В первичных рудах помимо главных сульфидов — пирротина, пирита, сфалерита, галенита и халькопирита, обнаружен целый ряд второстепенных и редко встречающихся минералов [1, 3, 4]. Особый интерес представляет зона окисления месторождения, где установлены различные окислы и гидроокислы железа, марказит, мельникит, мелантерит, розенит, ярозит, славикит, галотрихит, самородная медь, ковеллин, борнит, куприт, халькантит, малахит, азурит, англезит, церуссит, смитсонит и каолинит [1].

Авторам настоящей статьи удалось этот список пополнить еще одним, ранее не отмеченным на этом месторождении, минералом — вивианитом — $\text{Fe}_3(\text{PO}_4)_2 \cdot 8\text{H}_2\text{O}$ — водным фосфатом залиси железа.

Вивианит встречается в виде небольших гнезд и неправильной формы выделений в трещинах, полостях кварцевых жил и магматических образований, а также на плоскостях рассланцевания рудовмещающих песчано-глинистых пород. Он представлен синего и зеленого цвета призматическими кристаллами длиной до 2–3 см, легко распадающимися на отдельные бесцветные и прозрачные пластинки толщиной не более 0,5 мм.

Основная масса вивианиита слагает кристаллические корочки на стеках трещин и на плоскостях рассланцевания песчано-глинистых сланцев. Реже наблюдаются его друзообразные обособления. Помимо хорошо выраженных кристаллов встречается также землистая разновидность минерала, которая пятнисто окрашивает породы в синий цвет.

Упругие кристаллы вивианиита имеют стеклянный блеск и легко пропечиваются медицкой иглой, что указывает на низкую твердость минерала. Он легко растворяется в HCl.

Под бинокулярным микроскопом в кристаллах вивианиита довольно часто отмечаются глобулярные агрегаты пирита, образующие, в основном, небольшие скопления, а иногда и одиночные обособления. Примечательно, что в ряде случаев глобулы пирита непосредственно не наблюдаются, хотя отпечатки скульптуры их поверхности, обнаруживаемые на плоскостях спайности вивианиита, однозначно свидетельствуют о том, что кристаллы водного фосфата залиси железа освободились от них в процессе дробления.

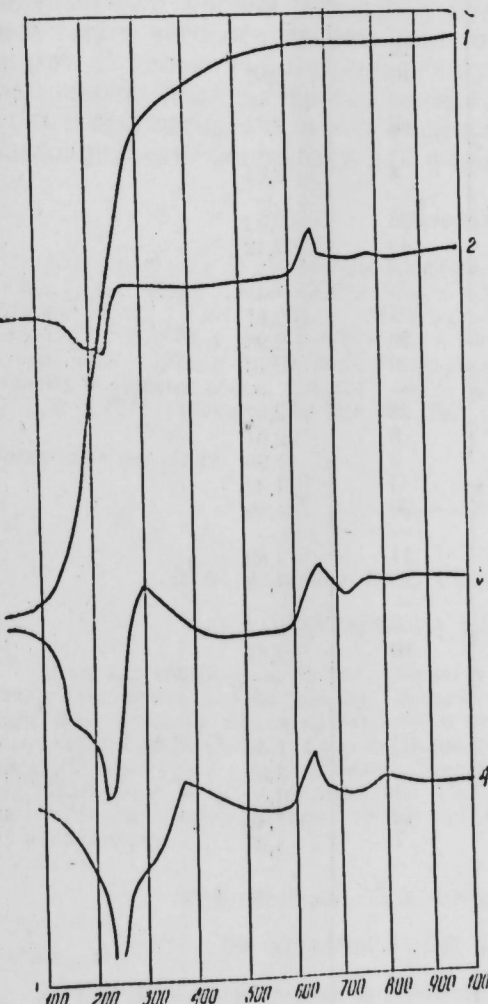
Под микроскопом вивианит бесцветный, обладает высокой интерференционной окраской, оптически двуосный, положительный, удлинение отрицательное, $cNg=28^\circ$, $Ng=1,613$, $Np=1,609$, $Ng-Np=0,04$.

Для точной диагностики вивианиита его мономинеральная фракция, тщательно отобранныя под бинокулярным микроскопом, нами была подвергнута спектральному, термическому и рентгено-структурному анализам.

Спектроскопически в минерале, помимо основных компонентов вивианиита — железа (>1%) и фосфора (>1%) зафиксированы также марганец (0,04%), магний (0,01%), цинк (0,01%), алюминий (0,006%)

и кремний (0,303%). Обнаруженные элементы примеси в минерале присутствуют в различной форме. Очевидно, в силу близости размеров ионных радиусов Mn^{2+} (0,91 Å), Mg^{2+} (0,78 Å), возможно также Zn^{2+} (0,83 Å) изоморфно замещают Fe^{2+} (0,82 Å), а Si^{4+} (0,39 Å) — P^{5+} (0,35 Å) в кристаллической решетке вивианиита. Наличие же алюминия, по-видимому, обусловлено механическим загрязнением анализированной пробы.

Термограмма исследованного нами минерала (рисунок), на которой фиксируются два эндо- и два экзотермических эффекта, хорошо согласуется со справочными данными вивианиита [5]. Сближенные эндотермические эффекты с максимумами при 200 и 230°C обусловлены стадийным удалением конституционной воды, содержание которой в минерале по кривой потери веса, составляет 25%. Так как теоретически в вивианите содержится 28,73% воды, то можно сказать, что изученный нами вивианит, в этом отношении характеризуется некоторым дефицитом. Что же касается экзотермических эффектов, то, по всей вероятности, первый



Кривые нагревания вивианиита: 1, 2 — кр. потери веса и ДТА исследованного вивианиита; 3, 4 — кр. ДТА вивианиита по В. П. Ивановой и др. (1974).

Результаты расчета рентгенограмм вивианита

Вивианит из Кацдагского месторождения		Вивианит (ASTM 1960) №№ 100 67 67 3-0070			
1		2			
J	d _a /n	J	d _a /n		
4	8,02	27	8,00		
3	7,60	—	—		
10	6,79	100	6,80		
1	5,85	—	—		
3	5,66	—	—		
6	4,91	40	4,91		
1	4,52	13	4,50		
1	4,29	4	4,32		
7	4,06	13	4,09		
3	3,85	40	3,84		
1	3,63	5	3,65		
3	3,53	—	—		
3	3,44	—	—		
3	3,34	3	3,33		
8	3,19	53	3,20		
1	3,09	—	—		
1	3,04	—	—		
6	2,97	67	2,97		
1	2,86	—	—		
6	2,72	67	2,71		
7	2,69	—	—		
1	2,65	8	2,64		
5	2,57	—	—		
6	2,52	33	2,52		
3	2,41	40	2,42		
1	2,37	—	—		
1	2,34	—	—		
6	2,31	27	2,31		
5	2,22	20	2,23		
5	2,17	20	2,19		
1	2,15	—	—		
5	2,07	23	2,07		
3	2,01	8	2,01		
—	—	8	1,96		
2	1,91	33	1,92		
2	1,89	20	1,89		
3	1,87	—	—		
1	1,83	11	1,82		
1	1,78	13	1,78		
1	1,76	—	—		
1	1,72	—	—		
9	1,676	40	1,67		
1	1,648	—	—		
1	1,626	—	—		
1	1,611	—	—		
4	1,578	23	1,59		
1	1,556	7	1,55		
3	1,524	11	1,52		
1	1,497	12	1,49		
1	1,475	7	1,47		
1	1,442	—	—		
1	1,431	—	—		
1	1,413	—	—		
1	1,400	—	—		
1	1,371	—	—		
1	1,353	—	—		
6	1,341	—	—		
1	1,333	—	—		
1	1,317	—	—		
1	1,295	—	—		

Условия съемки. ДРОН-1; напряжение — 35 кв; анодный ток — 12 мА, скорость вращения образца 1, мин. СиКа-излучение с фильтром. Аналитик И. Дж. (Институт геологии).

из них (с максимумом при 655°C) вызван кристаллизацией безводного фосфата залеси железа — $\text{Fe}_3(\text{PO}_4)_2$, а второй (с максимумом при 775°C) — окислением Fe^{2+} в Fe^{3+} с образованием — FePO_4 .

Результаты рентгенометрического исследования минерала, проведенного на дифрактометре ДРОН-1, приводятся в таблице. Сравнение полученных рентгеновских данных с имеющимися в литературе не вызывает сомнений в том, что изученный минерал является вивианитом [7]. При этом следует отметить, что на рентгенограмме вивианита из Кацдагского месторождения получен целый ряд дополнительных линий, отсутствующих у эталона: 7,60 (3) 5,66 (3), 3,44 (3), 3,57 (5), 1,41 (6) и т. д.

В заключение отметим, что район Кацдагского месторождения характеризуется хорошо развитым лесным покровом, служившим источником фосфора. При разложении растений циркулирующие на поверхности содержащие углекислоту воды, обладая значительной растворяющей способностью, очевидно, извлекли из них определенное количество фосфора. Они по многочисленным трещинам пород, проникая до уровня первичных руд, обусловили их разрушение, в результате чего обогатились железом и приобрели сернокислую реакцию. В дальнейшем по мере миграции в различных типах пород кислотность этих минерализованных вод понизилась, что препятствовало транспортировке в них фосфора и железа и тем самым создало благоприятную обстановку для формирования вивианита.

Литература

1. Велизаде С. Ф. Мат-лы Юбилейной научной сессии. Баку, 1972.
2. Велизаде С. Ф. ДАН Азерб. ССР, 1975, т. XXXI, № 3.
3. Велизаде С. Ф., Эфендиева Э. Н., Алиев А. А., Мустафазаде Б. В., Покидин А. К. ДАН Азерб. ССР, 1976, т. XXXII № 8.
4. Керимов Г. И., Велизаде С. Ф. ДАН Азерб. ССР, 1974, т. XXX, № 5.
5. Иванова В. П. и др. Термический анализ минералов и горных пород. "Недра", 1974.
6. Романов В. И. Автореф. канд. дисс., 1975.
7. ASTM. Powder diffraction file. Soc. thechn. Philadelphia, 1966.

Институт геологии

Поступило 21.VI 1977

С. Ф. Велизаде, Е. Н. Эфендиева, Н. Ф. Нагиев

КАСДАГ ІАТАҒЫНДА ВИВИАНІТ ҺАГГЫНДА

Мәгәләдә вивианиттин Касада жатагының оксидләшмә зонасында илк дәфә оларға ашкар енгизмәсендән бәһс едилir. Вивианит минерал гүмлү, килли шистләрин вә кварц дамарларының мұхтәлиф чат вә бошлугларында кичик өлчүлү жувачыглар шәклинде гејд олунур. О, адәттан көй вә яшайләрнән кристаллар тәшкىл едир, бә'зән исә друза шәкилле агрегаттар әмәлә кәтирир.

Минералдың оптикалық сүсүсүлжетләре микроскопия васитәси илә дәғиг өјрәнилмиш, диагностикасы спектрал, термик вә рентгенометрик тәhlил үсуллары васитәсилә тәсдиг едилмишидир.

S. F. Velizade, E. N. Efendieva, N. F. Nagiev

ON VIVIANITE FROM KATSAG DEPOSIT

Vivianite on Katsdag deposit is revealed for the first time by the authors of the article. It is met as small nests and irregular form of segregation in fractures and in cavities of quartz-reefs and magmatic rocks as well as on shist formation planes of ore enclosing sandy-argillaceous shales. Vivianite diagnostics, besides microscopic investigation is determined by the methods of spectral, thermal and roentgenostructural analyses. Condition of vivianite formation is adduced in conclusion.

УДК 55 (1)

ГЕОЛОГИЯ

Чл.-корр. Э. Ш. ШИХАЛИБЕЙЛИ, В. В. КОРОБАНОВ, С. С. МУСТАФАЕВ

НОВЫЕ ДАННЫЕ О НАЛИЧИИ ААЛЕНСКИХ ОТЛОЖЕНИЙ
В ВОСТОЧНОЙ ЧАСТИ ЮЖНОГО СКЛОНА (ЛАГИЧСКИЕ ГОРЫ)
БОЛЬШОГО КАВКАЗА

В литературе по южному склону Б. Кавказа наличие Дуруджинского антиклиниория подтверждено работами ряда исследователей (1, 2, 3, 4, 5, 6) на отрезке, охватывающем междуречье Белоканчая и Дамирапаранчая; восточнее же меридиана с. Куткашен упомянутый антиклиниорий не выделяется. Поэтому на всех имеющихся геологических картах данного района Азербайджана, в междуречье Гирдыманчая и Дамирапаранчая и западнее, севернее Вандамской зоны, показано наличие палеоген-нижнемиоценовых отложений. В связи с этим полоса распространения палеогеновых отложений получила наименование (в литературе) Лагичского прогиба. Некоторые исследователи ошибочно считают, что он на западе соединяется с Дарагильским синклиниорием Вандамской зоны и именуется ими Лагич-Дарагильским прогибом.

Наши исследования 1974 г. показали, что на всем протяжении от Дамирапаранчая на западе до верховьев правого притока Гирдыманчая на востоке, севернее Вандамской зоны выступают песчано-сланцевые отложения ааленского возраста, слагающие Дуруджинский антиклиниорий и до настоящего времени принимающие всеми исследователями этой части южного склона Большого Кавказа за майкопские. В действительности, нижние течения правых притоков Геокчая (Ширванчай, Сангерчай, Джангучай) сложены отложениями аалена, а не майкопа, и ширина полосы их выходов здесь достигает 3—4 км. Восточнее отложения аалена, постепенно погружаясь, прослеживаются до верховьев Ахоччая и Гирдыманчая и перекрываются майкопскими отложениями, занимающими в среднем течении Гирдыманчая все пространство между Вандамской зоной на юге и Ковдаг-Сумгантской—на севере. Здесь, как и на западе, отложения аалена с юга приведены в тектонический контакт с вулканогенными отложениями Вандамской зоны по крупному разлому, именуемому нами Ниалдагским.

С севера отложения аалена ограничены крупным Зангинским надвигом, установленным В. Е. Ханиным [5], западным продолжением которого является Кайнарский надвиг, установленный Э. Ш. Шихалибейли [6]. Таким образом, эту единую систему надвигов следует именовать Кайнаро-Зангинской.

В силу того, что Дуруджинский антиклиниорий разделяет две структурно-формационные зоны: Дибрарскую на севере и Вандамскую на юге и резко отличается историей своего тектонического развития, его следует отнести к шовной зоне южного склона Большого Кавказа.

Повсеместно на отложения аалена Дуруджинского антиклиниория по пологим поверхностям скольжения с севера надвинуты отложения кимериджа, титона и валанжина. Надо полагать, что здесь, как и на западе, под надвинутой серией верхнеюрско-нижнемиоценовых отложений на некоторых глубинах имеются недостающие толщи осадков средней и верхней юры. Косвенным доказательством этого может служить наличие крупных глыб хинаулугских песчаников в элювии у слияния рек Сангерчай и Ширванчай-правых притоков Геокчая.

В среднем течении Геокчая, южнее Зангинского надвига, на отложения аалена с севера надвинуты отложения кимериджа-титона и валанжина, собранные в ряд изоклинально-чешуйчатых складок.

В районе г. Шакамдаг осевая полоса Дуруджинского антиклиниория срезана двумя параллельно протягивающимися разломами-взбросами СВ—ЮЗ простирации, благодаря которым Дуруджинский антиклиниорий ступенчато погружается в восточном направлении. Именно здесь выступают майкопские отложения, получающие все более широкое распространение по мере продвижения на восток.

В структурном отношении Дуруджинский антиклиниорий на исследуемом участке представляет горст-антиклиналь, ядро которой сложена отложениями глинисто-сидеритовой свиты, собранной в ряд наклонных складок с пологим северным и крутым южным крыльями при северном падении обоих. Крылья горст-антиклинали сложены отложениями песчано-сланцевой свиты и ограничены с севера и с юга разрывами. Подобное строение Дуруджинского антиклиниория можно прочесть в ряде сечений: по Геокчая, в притоках Ахоччая, в районе г. Шакамдаг. Но в сечениях по рек Ширванчай, Сангерчай оно не просматривается из-за широко развитых оползневых явлений. Несколько западнее, по левому притоку Вандамчая, можно отметить в строении антиклиниория наличие двух антиклинальных складок, разделенных небольшой синклиналью, что свидетельствует о погружении шарнира Дуруджинского антиклиниория в восточном направлении.

В строении Дуруджинского антиклиниория принимают участие отложения двух свит: глинисто-сидеритовой и песчано-сланцевой.

Глинисто-сидеритовая свита характеризуется преобладанием серых, почти черных листоватых звонких оскольчатых сланцев с характерными включениями железистых конкреций и спорадическими пропластками серых песчаников, мощность которых варьирует от 0,05 до 0,1 м. Мощность пакетов глинистых сланцев достигает 1,5—2 м, мощность всей толщи—не менее 150—200 м.

Песчано-сланцевая толща характеризуется ритмичным чередованием песчаников и сланцев (50 на 50). Песчаники темно-серые, с многочисленными прожилками кальцита и углистого вещества; мощность пропластков 0,2—0,3 м. Сланцы темно-серые до черного цвета, мощность пакетов—0,2—0,3 м. Мощность толщи не менее 600—700 м.

Микрофауна: *TolyrammIn cf. tortonisa Ma k.*
Reinholdella cf. antiqua (Kapt.)

определенная Г. К. Касимовой в образце, взятом нами из глинисто-сидеритовой толщи в районе г. Шакамдаг в 1974 г., указывает на среднеюрский возраст этой толщи.

Микрофауна: Двустворчатые:
Lima sp. indet—юра—голоцен

Spondylopecten sp. indet—палеозой—ные
стебли морской лилии:

Pentacrinus sp. indet—в. триас-юра,
найденная и определенная Т. А. Гасановым, В. Б. Агаевым в песча-
но-сланцевых отложениях по Ширванчау у с. Каладжик (1975), так-
же указывает на юрский возраст толщи.

На фаунистически охарактеризованные отложения аалена Дуруд-
жинского антиклиниория надвинуты пестроцветная и карбонатотерри-
генные толщи, которые, на основании сопоставления с фаунистически
охарактеризованными отложениями верхней юры—нижнего мела южно-
го склона Б. Кавказа относятся соответственно: к земчайской свите
кимериджа, илисуйской свите титона и дюзсыртовской фации валанжина.

Пестроцветная толща в нижней части представлена серо-зелеными
известковистыми песчаниками (мощность пропластков 0,3—0,4 м) и
серыми аргиллитами. Эту часть толщи мы относим к кимериджу (зем-
чайская свита). В верхней части преобладает тонкоритмичное чере-
довование зеленых и бордовых (доминируют) известковистых аргиллитов
(мощность пропластков 0,03—0,05 м). Эту часть толщи относим к
титону (илисуйская свита), а всю толщу—к кимеридж-титону. Общая
мощность толщи—100—120 м.

Карбонатно-терригенная толща. Ее можно разделить на две час-
ти. В нижней она представлена ритмичным чередованием аргиллитов,
мергелей, песчаников, известковистых песчаников, известняков. Для
отложений этой части толщи характерно увеличение известковистости,
мощности пропластков вверх по разрезу и слабая кремнистость. Верх-
няя часть толщи представлена исключительно толстослоистыми (2—2,5 м
мощности пропластков) известковистыми песчаниками и мощность ее
достигает 35—40 м. Общая мощность толщи 300—350 м и мы относим
ее к дюзсыртовской фации валанжина.

На основании проведенных исследований в междуречье Дамира-
паранчая и правых притоков Гирдыманчая выделяется восточное про-
должение Дуруджинского антиклиниория. Последний сложен песчано-
сланцевыми отложениями аалена и представляет собой горст-анти-
клиниаль, на северное крыло которой надвинуты отложения кимериджа,
титона и валанжина. С севера она ограничена Кайнаро-Зангинским
надвигом, отделяющим ее от Закатало-Ковдагского синклиниория, с
юга—Ниалдагским надвигом, отделяющим ее от Вандамского анти-
клиниория. Она является типично шовной структурой южного склона
Б. Кавказа, сильно отличающейся историей своего развития на про-
тяжении мезо-кайнозоя.

Литература

1. Агаев В. Б., Гасанов Т. А. „ДАН Азерб. ССР“, №8. Изд-во „Элм“. Баку.
1975. 2. Агаев В. Б., Исаев Б. М., Елчиев М. Н., Мамедов А. И. „Уч. зап.
Геология СССР“, т. XVII. Изд-во „Недра“. М., 1972. 3. Агаев В. Б., Шихалибейли Э. Ш,
бейли Э. Ш. „Уч. зап. АГУ, серия геол.-геогр.“, № 2, 1973. 5. Хани В. Е. Геотек-
ническое развитие юго-восточного Кавказа. Азнефтепиздат. Баку, 1950. 6. Шихали-
бейли Э. Ш. Геологическое строение Азербайджанской части южного склона
Б. Кавказа. Изд-во АН Азерб. ССР. Баку, 1956.

Институт геологии

Поступило 27. VI 1977

E. Sh. Shikhalibeyli, V. V. Korobanov, S. S. Mustafaev

NEW DATA ABOUT THE PRESENCE OF AALEN SEDIMENTS IN THE
EASTERN PART OF THE SOUTH SLOPE (LAGICH MOUNTAINS) OF THE
MAJOR CAUCASUS

In the southern slope of the Major Caucasus In Lagich Mountains the eastern con-
tinuation of Duruja anticlinorium stand out presenting the typical structure and dif-
fering much by its evolution history during the Mesocenozoic.

АЗЭРБАЙЧАН ССР ЕЛМЛЭР АКАДЕМИЯСЫНЫН МӘРҮЗӘЛӘРИ

ДОКЛАДЫ АКАДЕМИИ НАУК АЗЕРБАЙДЖАНСКОЙ ССР

ТОМ XXXIII ЧИЛД

№ 11

1977

ЭСТЕТИКА

И. Н. РЗАЕВ

РОЛЬ АЗЕРБАЙДЖАНСКОЙ СКАЗКИ В ФОРМИРОВАНИИ ЭСТЕТИЧЕСКОГО ИДЕАЛА

(Представлено академиком АН Азербайджанской ССР М. З. Джабаровым)

Сказка—как жанр устного народного творчества своеобразно отра-
жает творческую и практическую деятельность человека, события
общественной жизни. Несмотря на то, что сказка зародилась еще в
эпоху распада первобытнородовой общины¹, своего расцвета она дос-
тигла гораздо позднее. Возникшая одновременно с проявлениями
классовой борьбы, сказка, спустя столетия, расцвела вновь именно в
период обострения этой борьбы. Обе эти исторические ситуации ха-
рактеризуются сильнейшими общественными катаклизмами, в ходе
которых выкристаллизовывались определенные эстетические и этичес-
кие ценности, вырисовывались идеальные нормы. Располагая богатыми
выразительными и изобразительными возможностями и художествен-
ными средствами, сказка в указанные исторические периоды, т. е. в
период распада первобытной общины и в период существования ка-
питалистической общественно-экономической формации, выходит в
первый ряд среди жанров фольклора, пропагандируя и изображая всю
гамму самых благородных передовых человеческих идеалов.

Став ареной идеологической борьбы, сказка художественно во-
площает различные идеальные образы, среди которых ведущими были
образы „благородного“ и „низкого“ героев. Неотвратимо усиливаю-
щаяся поляризация классовых сил отнюдь не способствовала созда-
нию единого идеала, потому что „всякий идеал является представле-
нием о том, какой должна быть действительность с точки зрения тех
или иных общественных сил.“²

Однако мы имеем возможность анализировать причины возник-
новения этих идеальных образов, т. к. „идеалы вообще являются
порождением реальных противоречий действительности, когда эти
противоречия представлены в их желаемом и окончательном разре-
шении“.³

¹ В. Я. Пропп. Исторические корни волшебной сказки, Л., 1946, стр. 334;
Е. М. Мелетинский. Герой волшебной сказки, М., 1958, стр. 148.

² Л. Н. Столович. Категория прекрасного и общественный идеал. М., 1969,
стр. 10.

³ Г. Пенчев. Эстетический идеал и общественные противоречия. „Современ-
ная прогрессивная эстетическая мысль“, М., 1974, стр. 22.

Вполне приемлемые условия для формирования общественного и эстетического идеалов созданы в сказке, где в сжатой концентрированной форме даны общественные, эстетические, морально-этические противоречия общества, а также показаны результаты, к которым могло бы прийти общество в процессе разрешения этих противоречий.

Сказка, на первый взгляд уводящая от решения реальных проблем, становится "своеобразной формой осознания социальных сил, формой выделения их из конкретности жизненных явлений и тем самым их обобщения".⁴ Подобные сказки упорно изображают одни и те же социальные причины невзгод и несчастий народа.

Объективно эти причины сводятся к незнанию правящими классами жизни трудящихся масс, к нежеланию и неумению облегчить непосильный груз условий простого человека, сводятся к эксплуатации человека человеком. И потому, так гневно звучат народные слова в финале сказки "Мальчик—богатырь": "О люди, для шаха не может быть кары лютее. У него отняли его власть и трон. Теперь пусть он живет, как простая чернь, пусть познает все тяготы жизни, голод и холод, пусть воочию увидит, что справедливо, а что нет. Пусть вспоминает он о содеянном зле. И тогда не единожды он умрет, а сто крат на дню, мучимый совестью своей".⁵

"Благородные" герои в азербайджанских сказках представлены, главным образом, "анонимными" шахами, которые повинуясь народному желанию, отрекаются от дурных поступков и становятся на путь праведный. В сказке "Шах и визирь" шах велел построить караван-сарай на всех дорогах, перекинуть мосты через все большие реки, беднякам и сиротам раздать деньги и хлеб. Он сам выслушивал все жалобы и судил справедливо виновных. Сказка "Добрый шах" кончается предложением шаха: "Соберем воедино свои богатства и все раздадим беднякам".

Как результат борьбы народа против социального неравенства рождались сказки и о воцарении "низких" героев.⁶ В сказке "Добрый шах" шахиня рассказывает, что она была дочерью бедного человека, потом разбогатела и все раздала беднякам. О самом процессе воцарения она не говорит ни слова. В сказке "Шах и старик" старик идет на верную смерть, защищая жителей своего города, за что немедленно воцаряется, правит справедливо и честно, всю казну раздает беднякам, старикам, сиротам. Это происходит несколько неожиданно по историческим меркам, но весьма логично по законам жанра сказки. Неожиданно потому, что такие народные идеалы, как равенство между людьми, материальная независимость от власти имущих, духовная свобода не были и не могли быть реализованы, пока существовала эксплуатация одних классов другими, исключающая в первую очередь какое-либо равенство в распределении материальных благ.

В азербайджанской сказке дилемма о двух способах социальных революций также решается очень своеобразно: тирания несправедливого шаха может быть свергнута как "сверху", другим, справедливым шахом, так и "снизу", возмущенными народными массами. Учитывая, что и в этом, втором случае непременно выбирается новый шах и только тот находит средства осчастливить весь народ, отметим, что сказочная философия признает возможным решение противоречий действительности только "сверху", даже если ведущую, основную роль в свержении тиарии играют трудовые массы. Именно потому, что

⁴ К. С. Давлетов. Фольклор как вид искусства. М., 1966, стр. 145.

⁵ Азербайджанские сказки. Баку, 1968, стр. 125.

⁶ Е. М. Мелетинский. Герой волшебной сказки. М., 1958, стр. 253.

"практическое осуществление и выражение эстетического идеала предполагает в качестве необходимой предпосылки свободу во всей жизнедеятельности общественного человека",⁷ следует предположить, что такой предпосылкой в сказке служил царский сансказочный идеал власти.

Воплощение общественного эстетического идеала в образе царя свойственно не только азербайджанским сказкам. В. П. Аникин, говоря о русской сказке, отмечает, что и там "поэтизация принимает интересную форму дарования героям царского сана. В волшебной сказке действуют не просто Иван да Марья, а Иван-царевич и Марья-царевна. Сказка поселяет их во дворцах. Однако в поступках, речах и обычаях они остаются простыми людьми".⁸

Необходимо отметить, что в азербайджанских сказках существует и довольно необычный, колоритный образ царя плеших, как, например, в сказке "Салех и Валех",⁹ который правит наравне с настоящим шахом и учит его вершить правый суд. Несмотря на внешнюю безобразность, царь плеших является истинным воплощением общественного эстетического идеала. Этот герой не царского происхождения, но народ считает его достойным царского сана. И очень символично, что шах, имеющий все возможности разрешить назревшие противоречия—глупость судей, коррупцию, лжесвидетельство—и таким образом стать идеальным героем, не справляется со своими обязанностями и уступает преимущество герою низкого происхождения. В большинстве сказок шах, олицетворяющий антиобщественные, античеловеческие черты, заменяется новым шахом, воплощающим в себе прекрасные черты человеческого характера. Других форм правления, кроме восточного деспотизма, в азербайджанских сказках не встречается, потому что идеалы разрешают жизненные противоречия ровно настолько, насколько позволяет уровень человечества на данном этапе и опираются на объективные возможности своего времени. Такие сказки, как "Золотой подсвечник" вновь и вновь подчеркивают, что образ шаха сам по себе еще не противопоставляется народному идеалу, а, напротив, носит в себе характерные черты этого идеала. "В образах прекрасных царевичей и королевичей народ "освобождался" от тяготевшей над ним бедности, серости, тусклости повседневного быта. Это было очищение и вместе с тем напоминание о той идеальной норме, о которой недостаточно только мечтать, но за которую нужно и бороться, как это делает сказочный герой".¹⁰ Вместе с тем народная традиция всячески подчеркивает, что придворная знать, и даже шах, несмотря на свое нынешнее величие, происходит из простой народной среды. В сказке "Ильяс" выясняется, что шах был сыном пекаря, в сказке "Шах и визирь" два визиря оказались сыновьями мясника и погонщика мулов.

Слушая сказку трудно уловить, что в ней сплелись представления времен первобытных и самых недавних, что сказка, описывая современные персонажи в современной ситуации, продолжает идеализировать времена патриархально-родовой общины. Даже образы шахов, зачастую, более напоминают главу большой патриархальной семьи, чем despотов, известных нам по историческим хроникам. В этих условиях нетрудно было оценить "семейно-родовые идеалы в качестве нормы понимания социальных отношений, как это и делает сказка. Проявления чисто классовых отношений, обусловленных

⁷ В. М. Муриаш. Эстетический идеал. М., 1966, стр. 104.

⁸ В. П. Аникин. Русская народная сказка. М., 1959, стр. 179.

⁹ Азербайджанские сказки. Баку, 1951, стр. 405.

¹⁰ В. Е. Гусев. Эстетика фольклора. Л., 1967, стр. 278.

имущественными и социально-групповыми различиями, рассматриваются сказкой как отступления от нормальных человеческих отношений, как социальное зло".¹¹ Ясно, что изучение эстетического идеала не может быть полным без учета совпадающих и не совпадающих интересов различных классов и групп, в различных экономических условиях, при смене политических ситуаций. В сказке, охватывающей весь многовековой путь, проийденный человечеством, провести подобные разграничения между идеалами разных эпох особенно трудно. Однако уже одно выявление этих идеалов будет ценно, что объясняется "обусловленной народностью этих идеалов, т. к. именно выражение в идеалах коренных народных интересов и потребностей способствует правильному отражению в них генеральной тенденции исторического развития".¹²

Институт литературы

Поступило 12. I 1977

Н. Н. Рзаев

ЕСТЕТИК ИДЕАЛЫН ФОРМАЈА САЛЫНМАСЫНДА АЗӘРБАЙЧАН НАҒЫЛЛАРЫНЫҢ РОЛУ

Естетик идеал ләјагәт вә көзәллик нағында олан тәсәввүр кими реал зиддијәтләрдән дөгмүшдүр. Бу зиддијәтләр Азәрбајчан нағылларында арзу едилән тәрәзә вә гәти бир шәкилдә һәлл едилүр. Естетик идеалын башлыча категоријасы олан "көзәллик", ejни заманда, ичтимай идеалы да әһәтә едир. Азәрбајчан нағыллары бу иккى идеалы өзүндә бирләшdirir вә ичтимай зиддијәтләри арадан галдыран персоналларын тәдгиг едилмәси учун реал имканлар җарадыр.

I. N. Rzayev

ROLE OF AZERBAIJAN TALE IN FORMING AESTHETICS IDEAL

Aesthetic ideal being a notion of a proper thing as a beauty was born from real contradictions which in fairy tales are presented in their desired and final solution. The leading category of aesthetic ideal of beauty fulfilled also in a social ideal joins these two ideals and gives real possibilities for researching numerous personages who remove social contradictions.

This article is founded on the examples of social idealization of a governer in the azerbaijanian fairy-tales.

МҮНДӘРИЧАТ

Ријазијјат

Р. А. Шәфијев. Үмумиләшмиш тәрс оператору һесабlamаг учун дүстурлар 3

Функционал анализ

Н. Н. Агајев, В. С. Һәмидов. Аналитик функцијалар фәзасында бир хәтти интеграл тәнлиjin тәгриби һәллү нағында 7

Ријазијјат

Раһа Мәһәммәд Баһа Эл-дин Агами. Мүнтәзәм вә јахыныг Бул чәбрләри 11

С. J. Jagubov, B. B. Шәмурев. Абстракт анизороти фәзада дахилолма вә из нағында 16

Механика

К. С. Йагвердиев. Шип вә подшипник арасында өзлүлү-пластик пластик мајенин гәрарлашмамыш һәрәкәтинин гејри-хәтти мәсәләси 19

Ярымкечиричиләр вә диелектрикләр физикасы

Н. Б. Абдуллаев, К. Р. Аллаһвердиев, Је. А. Виноградов, Г. Н. Жижин, Н. Н. Мелик, Р. Н. Напи, Е. Ju. Салајев, Р. M. Сәрдарлы. TiGaSe₂-дә фаза кечидинин мүмкүнлүjү нағында 26

Бәрк чисимләрин физикасы

М. Н. Элијев. Парамагнит ашгарлы диамагнит кристалларда нүвә магнит резонансы һәзәрләйәси 31

Физика

М. И. Элијев, З. С. Һәсанов. AgFeTe₂-дә электронларын эффектив күтләсү нағында 36

Ярымкечиричиләр физикасы

Ч. О. Гачар, В. А. Гүлијев, И. А. Мәммәдбәјли, Е. J. Салајев. Сабит фаза сүрүшмәсиини електрооптик модулјаторун ишинә тә'сири 39

Үмуми вә физики кимја

Н. Э. Эләкберов. Тиклохексанын, тиклохексан—аргон гарышыгындакы птилдәјен бошалмада парчаланмасы 44

Үзви кимја

В. Э. Чәфәров, Ш. К. Қазымов, С. Ч. Аббасова. Тиоепихлоридринин һаллокеналкоксин тәрәмәләrinин спиртләрлә конденсләшмә реаксијасы механизминин тәдгиги 49

Э. М. Гулијев, Г. З. Һүсейнов, Н. А. Элијев, А. Г. Ибадзадә, Н. J. Ибраһимов. Меркаптојантар туршусуну диалкил ефирләrinин алымасы вә онларын формалденид вә икили аминләрлә конденсләшмәси 53

Газ вә газ-конденсат ятагларынын ишләнмәси

М. Т. Абасов, Ф. Н. Оручәлијев, А. А. Әмадов, Н. М. Чәфәров. Газ-конденсә ятаглары ишләнмәсиини лајиһәләшdirme методларынын тәкмилләшdirilmәсии дайр 59

73

¹¹ К. С. Давлетов. Фольклор как вид искусства, стр. 154.

¹² Л. Н. Столович. Категория прекрасного и общественный идеал, стр. 330

Минералокија	
С. Ф. Вәлизадә, Е. Н. Эфәдијева, Н. Ф. Нағыјев. Қасдағ жатағында вивианиттагында	62
Кеолокија	
Ә. Ш. Шыхәлибәјли, В. В. Коробанов, С. С. Мустафаев. Бенжүк Гафгазын чәңуб јамачынын шәрг һиссәсіндә (Лаңыч дағлары) Аален чөкүнгүләринин олмасы тагында жени мә'лumatлар	66
Естетика	
Н. Н. Рзаев. Естетик идеалын формаја салымасында Азәрбајҹан нағылларынын ролу	69

СОДЕРЖАНИЕ

Математика	
Р. А. Шафиев. Формулы для вычисления псевдообратного оператора	3
Функциональный анализ	
Г. Н. Агаев, В. С. Гамидов. О приближенном решении одного линейного интегрального уравнения в пространстве аналитических функций	7
Математика	
Рага Мухаммед Баха Эль—Дин Агами. Близостные и равномерные булевы алгебры	11
С. Я. Якубов, В. Б. Шахмурод. Теоремы вложения и теоремы о следах в анизотропных пространствах вектор—функций	16
Механика	
К. С. Ахвердиев. Нелинейная задача о неуставновившемся движении вязко-пластичной жидкости между шилом и подшипником	19
Физика полупроводников и диэлектриков	
Г. Б. Абдуллаев, К. Р. Аллахвердиев, Е. А. Виноградов, Г. Н. Жижин, Н. М. Мельник, Р. Х. Нани, Э. Ю. Салаев, Р. М. Сардарлы. О возможности фазового перехода в $TiCaSe_2$	26
Физика твердого тела	
М. Н. Алиев. Теория ядерного магнитного резонанса в диамагнитных кристаллах с примесями парамагнитных ионов	31
Физика	
М. И. Алиев, З. С. Гасанов. Об эффективной массе электронов в $AgFeTe_2$	36
Физика полупроводников	
Ч. О. Қаджар, В. А. Кулиев, И. А. Мамедбейли, Э. Ю. Салаев. Влияние постоянного фазового сдвига на работу электрооптического модулятора	39
Общая и физическая химия	
Г. А. Алекперов. К вопросу о механизме разложения циклогексана в тлеющем разряде в смеси циклогексан-argon	44
Органическая химия	
В. А. Джапаров, Ш. К. Қязимов, С. Д. Аббасова. Изучение механизма конденсации галогеналкокси производных тиоэпихлоридрина со спиртами	49
А. М. Кулиев, К. З. Гусейнов, Н. А. Алиев, А. К. Ибадзаде, Н. Ю. Ибрагимов. Синтез диглициловых эфиров меркаптоянтарной кислоты и конденсация их с формальдегидом и вторичными аминами	53
Разработка газовых и газоконденсатных месторождений	
М. Т. Абасов, Ф. Г. Оруджалиев, А. А. Ахмедов, Н. М. Джапарова. К совершенствованию методов проектирования разработки газоконденсатных месторождений	59

Минералогия

С. Ф. Велизаде, Э. Н. Эфендиева, Н. Ф. Нагиев. О гипсах из кацдагского месторождения 62

Геология

Э. Ш. Шихалибейли, В. В. Коробанов, С. С. Мустафаев. Новые данные о наличии палеозойских отложений в восточной части южного склона (Лагичские горы) Большого Кавказа 66

Эстетика

И. Н. Раев. Роль азербайджанской сказки в формировании эстетического идеала 69

ПРАВИЛА ДЛЯ АВТОРОВ

1. В «Докладах Академии наук Азербайджанской ССР» помещаются краткие сообщения, содержащие законченные, еще не опубликованные результаты научных исследований, имеющих теоретическое или практическое значение.

В «Докладах» не публикуются крупные статьи, механически разделенные на ряд отдельных сообщений, статьи полемического характера без новых фактических данных, статьи с описанием промежуточных опытов без определенных выводов и обобщений, работы непринципиальные, описательного или обзорного характера, чисто методические статьи, если предлагаемый метод не является принципиально новым, а также статьи по систематике растений и животных (за исключением описания особо интересных для науки находок).

Статьи, помещаемые в «Докладах», не лишают автора права последующей публикации того же сообщения в развернутом виде в других изданиях.

2. Поступающие в «Доклады» статьи рассматриваются Редакционной коллегией только после представления их академиком по специальности. Каждый академик может представить из более 5-ти статей в год.

Статьи членов-корреспондентов Академии наук Азербайджанской ССР принимаются без представления.

Редакция просит академиков при представлении статьи указывать дату получения ее от автора, а также наименование раздела, в котором статья должна быть помещена.

3. В «Докладах» публикуются не более трех статей одного автора в год.

4. В «Докладах» помещаются статьи, занимающие не более четверти авторского листа—около 6—7 страниц машинописи (10 000 печатных знаков), включая рисунки.

5. Все статьи должны иметь резюме на английском языке; кроме того, статьи, написанные на азербайджанском языке, должны иметь: резюме на русском языке и наоборот.

6. В конце статьи должны быть указаны название научного учреждения, в котором выполнена работа, и номер телефона автора.

7. Опубликование результатов работ, проведенных в научных учреждениях должно быть разрешено дирекцией научного учреждения.

8. Статьи (включая и резюме), должны быть напечатаны на машинке через два интервала, на одной стороне листа и представляются в двух экземплярах. Формулы должны быть вписаны четко и ясно, при этом прописные буквы должны быть подчеркнуты (черным карандашом) двумя черточками снизу, а строчные — сверху, букву греческого алфавита надо обводить красным карандашом.

9. Цитируемая в статье литература должна приводиться не в виде подстрочных сносок, а общим списком (вподбор), в алфавитном порядке (по фамилии автора), в конце статьи с обозначением ссылки в тексте порядковой цифрой. Список литературы должен быть оформлен следующим образом:

а) для книг: фамилия и инициалы автора, полное название книги, номер тома, город, издательство и год издания;

б) для статей в сборниках (трудах): фамилия и инициалы автора, название статьи, название сборника (трудов), том, выпуск, место издания, издательство, год, страница;

в) для журнальных статей: фамилия и инициалы автора, название статьи, название журнала, год, том, номер, (выпуск), страница.

Ссылки на неопубликованные работы не допускаются (за исключением отчетов и диссертаций, хранящихся в научных учреждениях).

10. На обороте рисунков должны быть указаны фамилия автора, название статьи и номер рисунка. Отпечатанные на машинке подписи к рисункам представляются на отдельном листе.

11. Авторы статей должны указывать индекс статьи по Унифицированной десятичной классификации (УДК) и прилагать реферат для «Реферативного журнала».

12. Авторы должны избегать повторения одинаковых данных в таблицах, графиках и в тексте статьи.

Ввиду небольшого объема статей выводы помещаются лишь в необходимых случаях.

13. В случае представления двух или более статей одновременно необходимо указать желательный порядок их помещения.

14. Корректура статей авторам как правило не посыпается. В случае посылки корректуры допускается лишь исправление ошибок типографии.

15. Редакция выдает автору бесплатно 15 отдельных оттисков статьи.

Сдано в набор 24/X 1977 г. Подписано к печати 22/XII 1977 г. Формат бумаги 70×108^{1/16}. Бум. лист. 2,38. Печ. лист. 6,65. Уч.-изд. лист. 5,8. ФГ 19891.

Заказ 1030. Тираж 695. Цена 40 коп.

Издательство «Элм».

370073, Баку-73, проспект Нариманова, 31, Академгородок, Главное здание.
Типография АН Азерб. ССР. Баку, проспект Нариманова, 31.



ДОЧОРЫА ГЭЛГҮҮСЭН

Индекс
76355

40 гэп.
коп.